

การเปรียบเทียบคุณลักษณะการทำงานและสมรรถนะของอุปกรณ์ดักผู้น
แบบเปียกชนิดอีเจ็คเตอร์กับชนิดคงคอด

อธิบดี พล กุлагวศ์

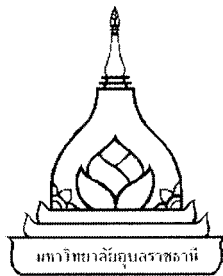
วิทยานิพนธ์นี้เป็นส่วนหนึ่งของการศึกษาตามหลักสูตรปริญญาวิศวกรรมศาสตรมหาบัณฑิต
สาขาวิชาวิศวกรรมเครื่องกล คณะวิศวกรรมศาสตร์
มหาวิทยาลัยอุบลราชธานี
ปีการศึกษา 2558
ลิขสิทธิ์เป็นของมหาวิทยาลัยอุบลราชธานี



COMPARISON OF THE CHARACTERISTIC AND PERFORMANCE OF EJECTOR VENTURI SCRUBBER AND THE VENTURI SCRUBBER.

ITTHIPOL KULLAWONG

A THESIS SUBMITTED IN PARTIAL FULFILLMENT OF THE REQUIREMENTS
FOR THE DEGREE OF MASTER OF ENGINEERING
MAJOR MECHANICAL ENGINEERING
FACULTY OF ENGINEERING
UBON RATCHATHANI UNIVERSITY
ACADEMIC YEAR 2015
COPYRIGHT OF UBON RATCHATHANI UNIVERSITY



บรังสิทธิ์
มหาวิทยาลัยอุบลราชธานี
ปริญญาศิวกรรมศาสตรมหาบัณฑิต
สาขาวิชาศิวกรรมเครื่องกล คณะศิวกรรมศาสตร์

เรื่อง การเปรียบเทียบคุณลักษณะการทำงานและสมรรถนะของอุปกรณ์ดักฝุ่นแบบเปียก
ชนิดอี้เจ็คเตอร์กับชนิดคอกอด

ผู้วิจัย นายอิทธิพล กุลวงศ์

คณะกรรมการสอบ

ผู้ช่วยศาสตราจารย์ ดร.บัณฑิต กฤตากม

ประธานกรรมการ

รองศาสตราจารย์ ดร.กุลเชษฐ์ เพียรทอง

กรรมการ

ผู้ช่วยศาสตราจารย์ ดร.ประชาสันติ ไตรยสุทธิ์

กรรมการ

อาจารย์ที่ปรึกษา

(รองศาสตราจารย์ ดร.กุลเชษฐ์ เพียรทอง)

(รองศาสตราจารย์ ดร.กุลเชษฐ์ เพียรทอง)

คณบดีคณะศิวกรรมศาสตร์

(รองศาสตราจารย์ ดร.อธิยาภรณ์ พงษ์รัตน์)

รองอธิการบดีฝ่ายวิชาการ

ลิขสิทธิ์เป็นของมหาวิทยาลัยอุบลราชธานี

ปีการศึกษา 2558

กิตติกรรมประกาศ

ผู้วิจัยขอขอบพระคุณ รองศาสตราจารย์ ดร.กุลเชษฐ์ เพียรทอง ที่ให้คำปรึกษาในการทำวิจัย
จนสามารถสำเร็จลุล่วงไปด้วยดี รวมทั้งช่วยตรวจทานและแก้ไขข้อบกพร่องต่างๆ ในบทความวิชาการ
และวิทยานิพนธ์เล่มนี้จนสำเร็จลุล่วงตามวัตถุประสงค์ด้วยดี

ขอขอบคุณ นายธนกฤต นนท์ชนะ วิศวกรประจำศูนย์วิจัยและบริการด้านพลังงาน ในการ
ให้คำแนะนำในการเขียนบทความวิชาการ และการออกแบบการทดลอง และตรวจทานบทความ
วิชาการ ขอขอบคุณภาควิชาวิศวกรรมเครื่องกล คณะวิศวกรรมศาสตร์ มหาวิทยาลัยอุบลราชธานี
ศูนย์วิจัยและบริการด้านพลังงาน คณะวิศวกรรมศาสตร์ มหาวิทยาลัยอุบลราชธานี และศูนย์ทดลอง
วิชาการพลังงานทดแทนและอนุรักษ์พลังงาน กรมพัฒนาพลังงานทดแทนและอนุรักษ์พลังงาน
กระทรวงพลังงาน จังหวัดปทุมธานี ที่ได้ให้การสนับสนุนอุปกรณ์ เครื่องมือ รวมทั้งสถานที่สำหรับ
ทำงานวิจัย

ท้ายสุดขอกราบขอบพระคุณ คุณพ่อค้ำพอง กุลวงศ์ คุณแม่เพบูรณ์ กุลวงศ์ และนางสาวคณึงนุช
วงศ์เย็น ที่คอยให้กำลังใจและสนับสนุนในการทำงานวิจัยนี้จนประสบความสำเร็จ


 อิทธิพล กุลวงศ์
 ผู้วิจัย

บทคัดย่อ

เรื่อง : การเปรียบเทียบคุณลักษณะการทำงานและสมรรถนะของอุปกรณ์ดักฝุ่นแบบเบี่ยกชนิดอี้เจ็คเตอร์กับชนิดคอกออด
ผู้วิจัย : อิทธิพล กุลวงศ์
ชื่อปริญญา : วิศวกรรมศาสตรมหาบัณฑิต
สาขาวิชา : วิศวกรรมเครื่องกล
อาจารย์ที่ปรึกษา: รองศาสตราจารย์ ดร.กุลเชษฐ์ เพียรทอง
คำสำคัญ : อุปกรณ์ดักฝุ่นแบบเบี่ยกชนิดอี้เจ็คเตอร์, อุปกรณ์ดักฝุ่นแบบเบี่ยกชนิดคอกออด,
 ประสิทธิภาพในการดักจับฝุ่น, ประสิทธิภาพในการดักจับน้ำมันดิน
 และสารปนเปื้อน

วิทยานิพนธ์นี้เป็นการศึกษาเปรียบเทียบคุณลักษณะการทำงานและสมรรถนะของอุปกรณ์ดักฝุ่นแบบเบี่ยกชนิดอี้เจ็คเตอร์กับชนิดคอกออด ในระบบแก๊สซิฟิเคชั่น ขนาด $200 \text{ kW}_{\text{th}}$ ใช้เตาแบบ Double throat downdraft gasifier ใช้น้ำเป็นตัวกลางในการดักจับฝุ่น น้ำมันดินและสารปนเปื้อน โดยอุปกรณ์ดักฝุ่นทั้ง 2 แบบ จะทำงานที่ช่วงความดันน้ำ汽ที่เหมาะสมสำหรับอุปกรณ์เอง ใช้ปั๊มน้ำแบบ Multi stage centrifugal pump ในการจ่ายน้ำในช่วงอัตราการไหล 7-45 ลิตรต่อนาที โดยควบคุมอุณหภูมิน้ำให้อยู่ที่ 30°C ช่วงความดันน้ำ汽ของอุปกรณ์ดักฝุ่นแบบเบี่ยกชนิดอี้เจ็คเตอร์และชนิดคอกออด คือ 1-6 bar และ 0.25-1.00 bar ตามลำดับ จากผลการทดลองพบว่า ประสิทธิภาพในการดักจับฝุ่นของอุปกรณ์ดักฝุ่นชนิดอี้เจ็คเตอร์และชนิดคอกออด มีแนวโน้มแปรผันกับความดันน้ำ汽 โดยมีประสิทธิภาพสูงสุดร้อยละ 46.7 ที่ความดันน้ำ汽 1 bar สำหรับอุปกรณ์ชนิดอี้เจ็คเตอร์ และร้อยละ 88.5 ที่ความดันน้ำ汽 0.25 bar สำหรับอุปกรณ์ชนิดคอกออด ส่วนประสิทธิภาพในการดักจับน้ำมันดินและสารปนเปื้อนของอุปกรณ์ดักฝุ่นชนิดอี้เจ็คเตอร์และชนิดคอกออด มีแนวโน้มแปรผันกับความดันน้ำ汽 เช่นเดียวกันกับประสิทธิภาพในการดักจับฝุ่น โดยมีประสิทธิภาพสูงสุดร้อยละ 57.2 ที่ความดันน้ำ汽 1 bar และร้อยละ 70.5 ที่ความดันน้ำ汽 0.25 bar ตามลำดับ ในส่วนของความดันต่ำร่องมันนี่ อุปกรณ์ดักฝุ่นชนิดอี้เจ็คเตอร์แปรผันกับความดันน้ำที่หัวฉีด ส่วนอุปกรณ์ดักฝุ่นชนิดคอกออดแปรผันตามความดันน้ำที่หัวฉีด โดยความดันต่ำร่องต่ำสุดของอุปกรณ์ทั้ง 2 แบบ คือ 8 Pa ที่ความดันน้ำ汽 6 bar และ 73 Pa ที่ความดันน้ำ汽 0.25 bar ตามลำดับ และเมื่อคิดปริมาณฝุ่น น้ำมันดินและสารปนเปื้อนที่อุปกรณ์ดักฝุ่นทั้ง 2 แบบ ดักจับได้ต่อพลังงานที่ใช้ พบร้าอุปกรณ์ดักฝุ่นชนิดคอกออดมีค่าความสามารถดักจับฝุ่น น้ำมันดินและสารปนเปื้อนต่อพลังงานสูงกว่า หรือใช้พลังงานน้อยกว่าในการดักจับฝุ่น น้ำมันดินและสารปนเปื้อนที่ปริมาณเท่ากัน จากการศึกษานี้สรุปได้ว่า อุปกรณ์ดักฝุ่นชนิดอี้เจ็คเตอร์ เป็นอุปกรณ์ที่มีความสามารถดันต่ำร่องในอุปกรณ์น้อย แต่ใช้พลังงานสูง และให้ประสิทธิภาพในการดักจับฝุ่น น้ำมันดินและสารปนเปื้อนต่ำ เนื่องจากพื้นที่ในการสัมผัสกันของน้ำกับกระแทกน้อย และเกิดขึ้นอย่างรวดเร็ว ส่วนอุปกรณ์ดักฝุ่นชนิดคอกออดถึงแม้เป็นอุปกรณ์ที่มีความสามารถดันต่ำร่องในอุปกรณ์สูงกว่า แต่ใช้พลังงานน้อย และให้ประสิทธิภาพในการดักจับฝุ่น น้ำมันดินและสารปนเปื้อนที่สูงกว่า โดยประสิทธิภาพการดักจับฝุ่นและความดันต่ำร่องของอุปกรณ์ดักฝุ่นชนิดคอกออด มีความสอดคล้อง

กันกับงานวิจัยที่ผ่านมา ส่วนการเพิ่มอัตราส่วนน้ำต่ออัตราการไหลของก๊าซในอุปกรณ์ที่มากนั้น ไม่มีผลต่อประสิทธิภาพในการดักจับฝุ่น ในขณะที่การสเปรย์น้ำไดที่ดี หรือเป็นละอองขนาดเล็ก จะให้ประสิทธิภาพในการดักจับฝุ่นที่สูงกว่า

ABSTRACT

TITLE : COMPARISON OF THE CHARACTERISTIC AND PERFORMANCE OF EJECTOR VENTURI SCRUBBER AND THE VENTURI SCRUBBER
AUTHOR : ITTHIPOL KULLAWONG
DEGREE : MASTER OF ENGINEERING
MAJOR : MECHANICAL ENGINEERING
ADVISOR : ASSOCIATE PROFESSOR KULACHATE PIANTHONG, PhD
KEYWORDS : EJECTOR VENTURI SCRUBBER, VENTURI SCRUBBER, PARTICLE COLLECTING EFFICIENCY, TAR COLLECTING EFFICIENCY

This thesis is a comparison study on the characteristic and performance of ejector venturi scrubber and the venturi scrubber operated in the 200 kW_{th} downdraft gasification system. Both scrubber use water as scrubbing fluid and operate at their optimum pressure ranges. The multi stage centrifugal pump is employed to supply high pressure water at flow rate of 7-45 liter/min and the water temperature is controlled at 30 °C. The ejector venturi scrubber and the venturi scrubber are tested in pressure range of 1-6 bar and 0.25-1.00 bar, respectively. Results show that the particle collecting efficiency is reversed to the water pressure. The maximum efficiency of the ejector venturi scrubber and the venturi scrubber are 46.7% at water pressure 1 bar and 88.5% at water pressure 0.25 bar, respectively. The tar collecting efficiency is reversed to the water pressure similar to the particle collecting efficiency. The maximum tar collecting efficiency of the ejector venturi scrubber and the venturi scrubber are 57.2% at water pressure 1 bar and 70.5% at water pressure 0.25 bar, respectively. The pressure drop across the ejector venturi scrubber is reversed to the water pressure, however the pressure drop across the venturi scrubber are proportional to the water pressure. The minimum pressure drop of both scrubber are 8 Pa at water pressure 6 bar and 73 Pa at water pressure 0.25 bar, respectively. For the specific collection per energy consumption of dust particle and tar, the venturi scrubber has higher specific collection per energy consumption or therefore use lower energy consumption at the same amount of the collection. From this study, it can be concluded that the ejector venturi scrubber usually operates with lower pressure drop but consumes higher energy, and has lower efficiency of dust particle and tar removal, because of having small gas-water contact areas and short scrubbing time. The venturi scrubber has higher pressure drop but it has higher efficiency of dust particle and tar removal and consume lower energy. These results agree well with other previous studies. However, in this study, the

increase of water to gas ratio does not affect to the dust removal efficiency, while the better spray or finer water droplet is more significant and can provide higher dust removal efficiency.

สารบัญ

	หน้า
กิตติกรรมประกาศ	ก
บทคัดย่อภาษาไทย	ข
บทคัดย่อภาษาอังกฤษ	ง
สารบัญ	ฉ
สารบัญตาราง	ຈ
สารบัญภาพ	ມ
บทที่ 1 บทนำ	
1.1 ที่มาและความสำคัญของงานวิจัย	1
1.2 วัตถุประสงค์ของงานวิจัย	2
1.3 ขอบเขตของงานวิจัย	2
1.4 ประโยชน์ที่คาดว่าจะได้รับ	3
บทที่ 2 ทฤษฎีและงานวิจัยที่เกี่ยวข้อง	
2.1 พลังงานชีวมวล	4
2.2 เทคโนโลยีการผลิตพลังงานจากชีวมวล	10
2.3 ปัญหาที่พบจากการกระบวนการผลิตก๊าซชีวมวล	16
2.4 ความสำคัญของการทำความสะอาดก๊าซชีวมวล	26
2.5 งานวิจัยที่เกี่ยวข้อง	32
บทที่ 3 อุปกรณ์และวิธีวิจัย	
3.1 อุปกรณ์การทดลอง	40
3.2 วิธีการทดลอง	51
บทที่ 4 ผลการทดลองและวิเคราะห์	
4.1 ประสิทธิภาพการตักผุน	64
4.2 ประสิทธิภาพการตักจับน้ำมันดินและสารปนเปื้อน	66
4.3 ความตันตกคร่อม	68
4.4 การใช้พลังงานไฟฟ้า	69
บทที่ 5 สรุปผลและข้อเสนอแนะ	
5.1 ประสิทธิภาพการตักผุน	72
5.2 ประสิทธิภาพการตักจับน้ำมันดินและสารปนเปื้อน	73
5.3 ความตันตกคร่อม	74
5.4 การใช้พลังงานไฟฟ้า	74
5.5 ข้อเสนอแนะและปัญหาที่ควรวิจัยต่อไป	75

สารบัญ (ต่อ)

	หน้า
เอกสารอ้างอิง	76
ภาคผนวก	
ก ผลงานทางวิชาการ	83
ข แบบอุปกรณ์ตักผุน	93
ค แบบหัวฉีดอุปกรณ์ตักผุนชนิดอี้เจ็คเตอร์	102
ประวัติผู้วิจัย	104

สารบัญตาราง

ตารางที่	หน้า
2.1 คุณสมบัติโดยทั่วไปของก๊าซชีวมวล	8
2.2 องค์ประกอบและค่าความร้อนของก๊าซเชื้อเพลิงจากชีวมวล ก๊าซชีวภาพ และก๊าซธรรมชาติ	9
2.3 ค่าพลังงานความร้อนเฉลี่ยจากการเผาไหม้เชื้อเพลิงประเภทต่างๆ	12
2.4 ส่วนประกอบของก๊าซดิบที่ผลิตจากเครื่องผลิตก๊าซเชื้อเพลิงแบบต่างๆ ที่ใช้อากาศเป็นสารตัวกลาง	17
2.5 การจำแนกระดับน้ำมันดิน	18
2.6 บริมาณน้ำมันดินจากเตาผลิตก๊าซชีวมวลแบบ Downdraft แบบต่างๆ	19
2.7 บริมาณสารองค์ประกอบต่างๆ ในน้ำมันดิน	22
2.8 บริมาณน้ำมันดินที่ผลิตจากเครื่องผลิตก๊าซเชื้อเพลิงแบบต่างๆ	22
2.9 บริมาณสารปนเปื้อนสูงสุดในก๊าซเชื้อเพลิงที่ยอมรับได้ในการนำไปประยุกต์ใช้งานในด้านต่างๆ	26
2.10 ระดับของน้ำมันดินที่ยอมรับได้ในการใช้งานในเครื่องยนต์สันดาปภายใน และเครื่องยนต์กังหันก๊าช	26
2.11 ช่วงความดันน้ำมันดินของอุปกรณ์ตักผุนแบบเบิกชนิดคงอด	30
2.12 ช่วงความดันน้ำมันดินของอุปกรณ์ตักผุนแบบเบิกชนิดอี้เจ็คเตอร์	31
3.1 ข้อมูลทางเทคนิคเตา Gasifier	42
3.2 ขนาดและวัสดุของหัวสเปรย์น้ำมัน	44
3.3 ข้อมูลทางเทคนิคของอุปกรณ์วัดความดันต่ำคร่อม	49
3.4 ข้อมูลทางเทคนิคของอุปกรณ์วัดพลังงานไฟฟ้า	49
3.5 เงื่อนไขการทดลองช่วงความดันของน้ำมัน	52
3.6 คุณสมบัติทางกายภาพและเคมีสารละลายไออกโซพานอล (C_3H_8O)	61

สารบัญภาพ

ภาพที่	หน้า
2.1 กระบวนการแปรรูปชีวมวลเพื่อผลิตพลังงาน	5
2.2 กระบวนการผลิตกําชีวมวลโดยใช้อากาศหรือออกซิเจนเป็นสารตัวกลาง	7
2.3 แนวทางการใช้พลังงานชีวมวล	10
2.4 กลไกการเผาไหม้ชีวมวลและชั้นอุณหภูมิ	11
2.5 ขั้นตอนการเกิดกําชีวมวล	12
2.6 ลักษณะเตาเผาเชื้อเพลิงกําชีวมวลแบบอากาศไหลลง	15
2.7 แนวคิดการกำจัดน้ำมันดินแบบทุติยภูมิ	20
2.8 แนวคิดการกำจัดน้ำมันดินแบบปฐมภูมิ	20
2.9 ความสัมพันธ์ของช่วงอุณหภูมิและการทำความสะอาดสิ่งปนเปื้อนในกําช นอกจากการกำจัดน้ำมันดิน	21
2.10 ปริมาณที่ใช้ในการวิเคราะห์องค์ประกอบของเชื้อเพลิงแข็งโดยการประมาณค่า ตามเกณฑ์ต่างๆ	25
2.11 ตัวอย่างกราฟแสดงประสิทธิภาพย่อยของอุปกรณ์ดักฝุ่นแบบต่างๆ	28
2.12 ความสัมพันธ์ระหว่างขนาดของอนุภาคกับประสิทธิภาพในการจับฝุ่น	28
2.13 แรงกระแทบที่กระทำกับอนุภาคฝุ่นและละอองน้ำ	29
2.14 กลไกการดักจับอนุภาคฝุ่นโดยการพร่อง	29
2.15 ลักษณะการสเปรย์น้ำฉีดของอุปกรณ์ดักฝุ่นแบบเปียกชนิดคอกอด	30
2.16 ลักษณะการสเปรย์น้ำฉีดของอุปกรณ์ดักฝุ่นแบบเปียกชนิดอี้เจ็คเตอร์	31
2.17 ตัวอย่างในการศึกษาการกำจัดกําชพิษโดยเวนจูรี	33
2.18 กราฟแสดงการสูญเสียความดันในระบบสเปรย์น้ำในเวนจูรี	33
2.19 ลักษณะการทำงานของเครื่องดักอนุภาค	34
2.20 สรุปเบอร์แบบเวนจูรี	35
2.21 ลักษณะการผสมกันระหว่างอากาศกับน้ำภายในคอกอด	37
2.22 การเปลี่ยนแปลงความดันและความเร็วของของเหลวที่ภายใน Ejector	38
3.1 ระบบผลิตกําชเชื้อเพลิงชีวมวล แบบ Double throat downdraft gasifier ขนาด 200 กิโลวัตต์ความร้อน รุ่น UBU-DTG-003	41
3.2 ผังระบบแก๊สซิฟิเคชั่น ขนาด 200 กิโลวัตต์ความร้อน	42
3.3 ขนาดของอุปกรณ์ดักฝุ่นแบบเปียกชนิดคอกอด (a) และอุปกรณ์ดักฝุ่นแบบเปียก ชนิดอี้เจ็คเตอร์ (b)	43
3.4 ลักษณะของการสเปรย์น้ำฉีดและลักษณะของหัวฉีดสำหรับอุปกรณ์ดักฝุ่นแบบเปียก ชนิดคอกอด	44

สารบัญภาพ (ต่อ)

ภาพที่	หน้า
3.5 ลักษณะของการสเปรย์น้ำฉีดและลักษณะของหัวฉีดสำหรับอุปกรณ์ดักฝุ่นแบบเบี้ยกชนิดอีเจ็คเตอร์	44
3.6 ผังชุดอุปกรณ์เก็บตัวอย่างฝุ่น น้ำมันดินและสารปนเปื้อน	46
3.7 ชุดอุปกรณ์เก็บตัวอย่างฝุ่น น้ำมันดินและสารปนเปื้อน	46
3.8 ชุดอุณหภูมิและส่วนติดตั้งกระดาษกรอง	47
3.9 ตู้อบ Hot Air Oven (Model TS8000)	47
3.10 เครื่องซั่งน้ำหนักเทคนิค 4 ตำแหน่ง Mettler-Toledo รุ่น AB204-S	48
3.11 อุปกรณ์วัด Digital micro manometer	48
3.12 อุปกรณ์วัด Digital Clamp Multimeters รุ่น UT200	49
3.13 ผังทิศทางการโหลดของกระถางก้าชในการทดลอง	52
3.14 ตำแหน่งเก็บตัวอย่างการทดลอง	53
3.15 ตัวอย่างการดูดความชื้นกระดาษกรอง	54
3.16 ตัวอย่างการซั่งน้ำหนักกระดาษกรอง	54
3.17 การเชื่อมต่อนุกรมด้วยสายซิลิโคนทวนความร้อนของชุดเก็บตัวอย่างน้ำมันดิน และสารปนเปื้อน	55
3.18 ผังชุดอุปกรณ์ดักฝุ่น	56
3.19 ตัวอย่างการเชื่อมต่อชุดอุปกรณ์วัดปริมาณฝุ่น น้ำมันดินและสารปนเปื้อน หลังเข้าอุปกรณ์ดักฝุ่น	56
3.20 ตัวอย่างการวัดกระแสไฟฟ้าปั๊มน้ำ	57
3.21 ตัวอย่างการดูดความชื้นกระดาษกรอง	58
3.22 ตัวอย่างการซั่งน้ำหนักกระดาษกรอง	58
3.23 ตัวอย่างบริมาณฝุ่นที่ติดบนกระดาษกรองก่อนเข้าอุปกรณ์	59
3.24 ตัวอย่างการดูดความชื้นถ้วยระเหย	59
3.25 ตัวอย่างการซั่งน้ำหนักถ้วยระเหย	60
3.26 ตัวอย่างถ้วยระเหยบรรจุสารละลายไฮโดรฟานอล (C_3H_8O)	62
3.27 ตัวอย่างการอบระเหยสารละลายไฮโดรฟานอล (C_3H_8O)	62
3.28 นำถ้วยระเหยที่มีน้ำมันดินและสารปนเปื้อนซั่งน้ำหนัก	63
3.29 ตัวอย่างน้ำมันดินและสารปนเปื้อนในถ้วยระเหย	63
4.1 ปริมาณฝุ่นที่ดักจับได้เมื่อผ่านอุปกรณ์ดักฝุ่นแบบเบี้ยกชนิดคอกอด กับชนิดอีเจ็คเตอร์ที่ความดันน้ำฉีดต่างๆ	65

สารบัญภาพ (ต่อ)

ภาพที่	หน้า
4.2 ประสิทธิภาพการตักจับผู้นของอุปกรณ์ตักผู้นแบบเปียกชนิดคอกอด กับชนิดอีจีคเตอร์ที่ความดันน้ำฉีดต่างๆ	66
4.3 ปริมาณน้ำมันดินและสารปนเปื้อนที่ตักจับได้เมื่อผ่านอุปกรณ์ตักผู้นแบบเปียก ชนิดคอกอดกับชนิดอีจีคเตอร์ที่ความดันน้ำฉีดต่างๆ	67
4.4 ประสิทธิภาพการตักจับน้ำมันดินและสารปนเปื้อนของอุปกรณ์ตักผู้นแบบเปียก ชนิดคอกอดกับชนิดอีจีคเตอร์ที่ความดันน้ำฉีดต่างๆ	68
4.5 ความดันต่ำคร่อมของอุปกรณ์ตักผู้นแบบเปียกชนิดคอกอดกับชนิดอีจีคเตอร์ ที่ความดันน้ำฉีดต่างๆ	69
4.6 ค่าพลังงานไฟฟาร์มที่ใช้ไปของอุปกรณ์ตักผู้นแบบเปียกชนิดคอกอด กับชนิดอีจีคเตอร์ที่ความดันน้ำฉีดต่างๆ	70
4.7 ปริมาณผู้นที่ตักจับได้ต่อพลังงานของอุปกรณ์ตักผู้นแบบเปียกชนิดคอกอด กับชนิดอีจีคเตอร์ที่ความดันน้ำฉีดต่างๆ	71
4.8 ปริมาณน้ำมันดินและสารปนเปื้อนที่ตักจับได้ต่อพลังงานของอุปกรณ์ตักผู้นแบบเปียก ชนิดคอกอดกับชนิดอีจีคเตอร์ที่ความดันน้ำฉีดต่างๆ	71
5.1 ปริมาณผู้นหลังออกของอุปกรณ์ตักผู้นแบบเปียกชนิดคอกอดกับชนิดอีจีคเตอร์ ที่ความดันน้ำฉีดต่างๆ	73
5.2 ปริมาณน้ำมันดินและสารปนเปื้อนหลังออกของอุปกรณ์ตักผู้นแบบเปียกชนิดคอกอด กับชนิดอีจีคเตอร์ที่ความดันน้ำฉีดต่างๆ	74

บทที่ 1

บทนำ

1.1 ที่มาและความสำคัญของงานวิจัย

ชีวมวล (Biomass) คือ สารอินทรีย์ที่เป็นแหล่งก้าวเก็บพลังงานจากธรรมชาติ สามารถเปลี่ยนรูป เป็นพลังงานได้ เพราะในขั้นตอนของการเจริญเติบโต พืชใช้คาร์บอนไดออกไซด์และน้ำ เปลี่ยน พลังงานจากแสงอาทิตย์โดยผ่านกระบวนการสังเคราะห์แสงได้เป็นแป้งน้ำตาล ก้าวเก็บไว้ตามส่วน ต่างๆ ของพืช ดังนั้นมีอนามีนาพืชมาเป็นเชื้อเพลิง ก็จะได้พลังงานออกมา เมื่อนำชีวมวลมาเผาไหม้ เกิดพลังงานความร้อน สามารถนำไปใช้ประโยชน์ได้ต่อไป วิธีการหนึ่งที่นิยมนำเอาชีวมวลไปใช้งาน ในรูปแบบของก๊าซเชื้อเพลิง ด้วยเทคโนโลยี Gasification เป็นการเปลี่ยนรูปชีวมวลหรือเชื้อเพลิงแข็ง เป็นก๊าซเชื้อเพลิง ด้วยกระบวนการเคมีความร้อน (Thermo chemical conversion) ที่ประกอบด้วย กระบวนการต่างๆ ที่เกิดขึ้นอย่างซับซ้อน ทั้งการเปลี่ยนแปลงทางกายภาพ การเปลี่ยนแปลงทางเคมี รวมถึงมีการถ่ายเทความร้อนและการถ่ายเทมวลเกิดขึ้นในระหว่างกระบวนการ จะได้ก๊าซเชื้อเพลิง สังเคราะห์ (Producer gas) มีองค์ประกอบหลัก คือ ก๊าซคาร์บอนมอนอกไซด์ ก๊าซมีเทนและ ก๊าซไฮโดรเจน ก๊าซเชื้อเพลิงนี้สามารถนำไปประยุกต์ใช้งานในด้านต่างๆ ทั้งการนำไปใช้โดยตรง ในการให้ความร้อน ใช้เป็นเชื้อเพลิงในเครื่องยนต์สันดาปภายใน ในการผลิตไฟฟ้า หรือใช้ในการ สังเคราะห์สารเคมีชนิดต่างๆ นอกจากนี้ผลิตภัณฑ์ที่ได้จากการกระบวนการผลิตก๊าซชีวมวลจากเทคโนโลยี Gasification ยังประกอบด้วยผลิตภัณฑ์ต่างๆ ทั้งผลิตภัณฑ์ที่มีลักษณะเป็นก๊าซ ประกอบด้วยก๊าซที่ เผาไหม้ได้และก๊าซที่เผาไหม้ไม่ได้ และผลิตภัณฑ์ที่ไม่ใช่ก๊าซ ได้แก่ ถ่าน เงาคลอย ผุ่นและน้ำมันดิน ซึ่งผลิตภัณฑ์ที่ไม่ใช่ก๊าซเหล่านี้ทำให้ก๊าซชีวมวลที่ผลิตได้มีคุณภาพต่ำ และเกิดปัญหาภัยอุปกรณ์ต่างๆ รวมทั้งระบบนำก๊าซชีวมวลไปใช้งาน ดังนั้นจึงจำเป็นต้องนำก๊าซชีวมวลมาผ่านระบบทำความสะอาด ก๊าซเสียก่อน การดักจับสิ่งปนเปื้อนที่มากับก๊าซชีวมวลในระบบ Gasification ก่อนที่จะนำไปใช้งาน จำเป็นต้องดักจับสิ่งปนเปื้อนออกมาให้ได้มากที่สุด เพราะสิ่งปนเปื้อนในก๊าซชีวมวล (ปริมาณผุ่นและ น้ำมันดิน) ถ้ามีปริมาณมากเกินไปอาจทำให้อุปกรณ์ต่างๆ ในระบบผลิตก๊าซชีวมวลและเครื่องยนต์ ที่นำก๊าซชีวมวลไปใช้งาน อาจเกิดความเสียหายได้ ดังนั้น อุปกรณ์ที่ใช้ในการทำความสะอาด ก๊าซชีวมวล จึงเป็นหัวใจสำคัญในระบบ Gasification

สำหรับอุปกรณ์ที่ใช้ในการทำความสะอาดก๊าซชีวมวล ที่มีประสิทธิภาพสูงและนิยมนำไปใช้งาน ในระบบ Gasification คือ อุปกรณ์ดักผุ่นแบบเปียก (Wet scrubber) ใช้หลักการทำงาน คือ การพ่น ละอองน้ำในทิศทางเดียวกันกับกระแสก๊าซ ผ่านบริเวณคอกอด (Venturi) โดยอนุภาคและสิ่งเจือปน จะถูกดักจับด้วยน้ำและให้หลงสู่ถังพักด้านล่าง ส่วนก๊าซที่ถูกทำความสะอาดแล้วจะไหลออกไปทาง ด้านบน สำหรับอุปกรณ์ดักผุ่นแบบเปียกที่ใช้งานเป็นอุปกรณ์หลักในระบบ Gasification มี 2 แบบ ได้แก่ อุปกรณ์ดักผุ่นแบบเปียกชนิดคอกอด (Venturi scrubber) มีข้อดีคือ เป็นอุปกรณ์ที่ใช้ความดัน น้ำฉีดไม่สูงมาก ให้ประสิทธิภาพในการดักจับผุ่นค่อนข้างดี อุปกรณ์มีราคาไม่สูง แต่มีข้อเสียคือ อุปกรณ์ชนิดนี้จะทำให้เกิดค่าความดันตกคร่อมในระบบสูง ส่วนอุปกรณ์ดักผุ่นแบบเปียกชนิด

อีเจ็คเตอร์ (Ejector venturi scrubber) มีข้อดีคือ ช่วยลดค่าความดันต่ำคร่อมในระบบได้สูง ประสิทธิภาพในการดักจับฝุ่นค่อนข้างดี แต่มีข้อเสียคืออุปกรณ์ชนิดนี้ใช้ความดันน้ำฉีดในการทำงาน สูง บ้มน้ำที่ใช้จะต้องเป็นบ้มน้ำประสิทธิภาพสูง ดังนั้นต้นทุนก็จะเพิ่มสูงขึ้น นอกจากนี้อุปกรณ์ดักฝุ่นแบบเปียกหั้ง 2 แบบ ยังสามารถช่วยลดอุณหภูมิของก๊าซชีวมวลได้ด้วย

การนำก๊าซชีวมวลไปประยุกต์ใช้งานในเครื่องยนต์สันดาปภายใน ในการผลิตไฟฟ้านั้น จะต้องควบคุมคุณภาพก๊าซชีวมวลให้ได้ค่าไม่เกินค่ามาตรฐานที่กำหนด ซึ่งค่ามาตรฐานปริมาณสารปนเปื้อนสูงสุดในก๊าซชีวมวลที่ยอมรับได้ในการนำไปประยุกต์ใช้งานในเครื่องยนต์สันดาปภายใน ปริมาณฝุ่นไม่ควรเกิน 50 mg/m^3 และปริมาณน้ำมันดิน ไม่ควรเกิน 100 mg/m^3 เพราะถ้าสารปนเปื้อนนี้มีปริมาณมากเกินไป อาจทำให้เครื่องยนต์เกิดความเสียหายได้ ดังนั้น อุปกรณ์ดักฝุ่นแบบเปียก เป็นอุปกรณ์ทำความสะอาดก๊าซชีวมวลที่สำคัญในระบบ Gasification ซึ่งอุปกรณ์ดักฝุ่นแบบเปียกชนิดคอกอด เป็นอุปกรณ์ที่ให้ประสิทธิภาพในการดักจับสิ่งปนเปื้อนในระยะแรกๆได้ดี แต่ยังเกิดความสูญเสียจากความดันต่ำคร่อมในอุปกรณ์มาก จึงได้มีการนำเอาอุปกรณ์ดักฝุ่นแบบเปียกชนิด อีเจ็คเตอร์มาช่วยลดความสูญเสียความดันต่ำคร่อมในอุปกรณ์ แต่ประสิทธิภาพการดักจับสิ่งปนเปื้อนที่มากับระยะแรกๆของอุปกรณ์ชนิดนี้ ยังไม่มีการทดสอบ นอกจากนี้ยังไม่มีการทดสอบถึงสภาวะการทำงานที่เหมาะสมของอุปกรณ์หั้ง 2 แบบ เมื่อนำไปใช้งาน ในงานวิจัยนี้ จะทำการทดสอบเปรียบเทียบในเรื่องของประสิทธิภาพในการดักจับสิ่งปนเปื้อน (ปริมาณฝุ่น น้ำมันดินและสารปนเปื้อน) ค่าความดันต่ำคร่อมในอุปกรณ์ สภาวะการทำงานที่เหมาะสม รวมทั้งการใช้พลังงานของอุปกรณ์ดักฝุ่นแบบเปียกหั้ง 2 แบบ ใน การใช้งานจริงในระบบ Gasification

1.2 วัตถุประสงค์ของงานวิจัย

1.2.1 เพื่อศึกษาและเปรียบเทียบประสิทธิภาพในการดักฝุ่น น้ำมันดินและสารปนเปื้อน ของอุปกรณ์ดักฝุ่นแบบเปียกชนิดอีเจ็คเตอร์ (Ejector venturi scrubber) กับชนิดคอกอด (Venturi scrubber)

1.2.2 เพื่อศึกษาและเปรียบเทียบความดันต่ำคร่อมและการใช้พลังงาน ของอุปกรณ์ดักฝุ่นแบบเปียกชนิดอีเจ็คเตอร์ (Ejector venturi scrubber) กับชนิดคอกอด (Venturi scrubber)

1.2.3 เพื่อศึกษาสภาวะการทำงานที่เหมาะสม ของอุปกรณ์ดักฝุ่นแบบเปียกชนิดอีเจ็คเตอร์ (Ejector venturi scrubber) กับชนิดคอกอด (Venturi scrubber)

1.3 ขอบเขตของงานวิจัย

1.3.1 ใช้ระบบผลิตก๊าซชีวมวลที่มีอยู่แล้ว คือ เตา Gasifier รุ่น UBU-DDTG-003 ที่ศูนย์ทดลองวิชาการพลังงานทดแทนและอนุรักษ์พลังงาน จังหวัดปทุมธานี

1.3.2 สร้างชุดอุปกรณ์ตรวจปริมาณฝุ่น น้ำมันดินและสารปนเปื้อน โดยใช้มาตรฐาน US.EPA Method 5

1.3.3 ทดสอบการทำงานของอุปกรณ์ดักฝุ่นแบบเปียกชนิดอีเจ็คเตอร์ (Ejector venturi scrubber) ที่ช่วงความดันของน้ำฉีดที่ 1.00, 2.00, 3.00, 4.00, 5.00 และ 6.00 bar

1.3.4 ทดสอบการทำงานของอุปกรณ์ดักฝุ่นแบบเปียกชนิดคอกอด (Venturi scrubber) ที่ช่วงความตันของน้ำมันดีที่ 0.25, 0.50, 0.75 และ 1.00 bar

1.3.5 ทำการทดลองในระบบแก๊สซิฟิเคชั่น (Gasification) ขนาด $200 \text{ kW}_{\text{th}}$ ใช้เตาแบบ Double throat downdraft gasifier

1.3.6 ค่าที่จะทดสอบคือ ปริมาณฝุ่น น้ำมันดินและสารปนเปื้อนที่ดักจับได้ของอุปกรณ์ดักฝุ่น ค่าความดันต่ำคร่อมของอุปกรณ์ดักฝุ่น ค่าพลังงานไฟฟ้าที่ใช้ไปของอุปกรณ์ดักฝุ่นในระบบแก๊สซิฟิเคชั่น

1.4 ประโยชน์ที่คาดว่าจะได้รับ

1.4.1 ทราบประสิทธิภาพในการดักฝุ่น น้ำมันดินและสารปนเปื้อน ของอุปกรณ์ดักฝุ่นแบบเปียกชนิดอี้เจ็คเตอร์ (Ejector venturi scrubber) กับชนิดคอกอด (Venturi scrubber)

1.4.2 ทราบความดันต่ำคร่อมของอุปกรณ์ดักฝุ่นแบบเปียกชนิดอี้เจ็คเตอร์ (Ejector venture scrubber) กับชนิดคอกอด (Venturi scrubber)

1.4.3 ทราบสภาพการทำงานที่เหมาะสมของอุปกรณ์ดักฝุ่นแบบเปียกชนิดอี้เจ็คเตอร์ (Ejector venturi scrubber) กับชนิดคอกอด (Venturi scrubber)

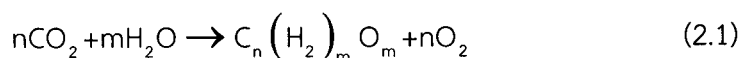
บทที่ 2

ทฤษฎีและงานวิจัยที่เกี่ยวข้อง

2.1 พลังงานชีวมวล

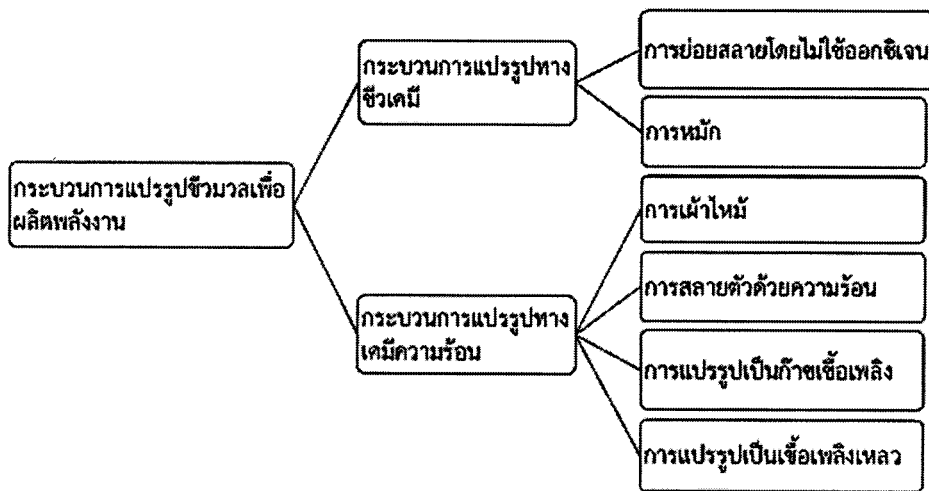
ชีวมวล หมายถึง มวลหรือวัสดุที่ได้จากสิ่งมีชีวิต ซึ่งสะสมพลังงานเคมี สามารถนำไปเปลี่ยนรูป เป็นพลังงานเชื้อเพลิงและสามารถผลิตขึ้นมาใหม่ได้ ชีวมวลหรือเชื้อเพลิงฟอสซิลมีที่มาจากการแพร่ เดียวกัน คือ พืชและสัตว์ แต่มีความแตกต่างกันด้านเวลา นั้นคือการเกิดเชื้อเพลิงฟอสซิล ต้องใช้ ระยะเวลานานมากในการแปรสภาพจากพืช ชากระสัตว์ ภายใต้สภาวะอุณหภูมิและความดัน ที่แตกต่าง [1]

แหล่งชีวมวลประกอบด้วยวัสดุหลายประเภท แต่ในทางพลังงานมักจะหมายถึงวัสดุจากพืช เป็นหลัก เช่น วัสดุที่เหลือจากผลิตภัณฑ์ทางการเกษตร เช่นไม้จากการทำป่าไม้หรือแปรรูปไม้ เป็นต้น ชีวมวลจึงกำเนิดจากปฏิกิริยาทางชีวเคมีของพืชในการเปลี่ยนรูปพลังงานแสงอาทิตย์ เรียกว่า การสังเคราะห์แสง (Photosynthesis) ซึ่งเป็นกระบวนการเปลี่ยนรูปคาร์บอนไดออกไซด์ (CO_2) ในอากาศและน้ำ (H_2O) เกิดเป็นโมเลกุลcarbonโดยเดรต ซึ่งสะสมพลังงานศักย์ทางเคมี ดังสมการที่ (2.1) ในรูปของคาร์บอน (C) ซึ่งได้มาจากคาร์บอนไดออกไซด์ (CO_2) และไฮโดรเจน (H) ซึ่งได้มาจากการน้ำ (H_2O)



2.1.1 กระบวนการแปรรูปชีวมวลเพื่อผลิตพลังงาน

การแปรรูปชีวมวลเพื่อผลิตพลังงาน คือ การนำชีวมวลมาผ่านกระบวนการที่ทำให้อินทรียสารในชีวมวลเกิดการสลายตัว และเปลี่ยนรูปได้ผลิตภัณฑ์ที่สามารถนำมาใช้เป็นพลังงานที่อยู่ในรูปแบบต่างๆ ได้แก่ ของแข็ง ของเหลว และก๊าซ กระบวนการหลักที่ใช้ในการแปรรูปชีวมวลเพื่อผลิตพลังงานมี 2 กระบวนการ ได้แก่ 1) กระบวนการทางเคมีความร้อน และ 2) กระบวนการทางเคมี กระบวนการแปรรูปชีวมวลเพื่อผลิตพลังงานด้วยกระบวนการทางเคมีความร้อน และกระบวนการทางเคมี ดังภาพที่ 2.1



ภาพที่ 2.1 กระบวนการแปรรูปชีวมวลเพื่อผลิตพลังงาน [2]

2.1.2 กระบวนการผลิตก๊าซชีวมวล

กระบวนการผลิตก๊าซชีวมวลหรือกระบวนการแก๊สซิฟิเคชัน เป็นกระบวนการทางเคมีที่เปลี่ยนวัสดุที่มีคาร์บอนเป็นองค์ประกอบ เช่น ชีวมวล (Biomass) ถ่านหิน (Coal) ให้กลายเป็นก๊าซเชื้อเพลิงสังเคราะห์หรือสารตั้งต้นในกระบวนการทางเคมี โดยจะมีปฏิกิริยาเคมีหลายปฏิกิริยาที่เชื่อมโยงกัน ได้แก่ ไฟโรไลซีส (Pyrolysis) การเผาไหม้มีสมบูรณ์ (Partial oxidation) และไฮโดรเจนเนชัน (Hydrogenation) กระบวนการเผาไหม้ที่เป็นการเปลี่ยนวัสดุที่มีคาร์บอนเป็นองค์ประกอบ ให้กลายเป็นก๊าซไออกไซด์และพลังงานความร้อน แต่กระบวนการแก๊สซิฟิเคชันนั้น เป็นการเก็บกักพลังงานเข้าไปในรูปของพันธะทางเคมี จึงได้ผลิตภัณฑ์ที่สามารถนำไปใช้ให้พลังงานได้ โดยความแตกต่างของกระบวนการแก๊สซิฟิเคชันกับกระบวนการเผาไหม้ คือ กระบวนการแก๊สซิฟิเคชันจะมีปฏิกิริยาลดความร้อน (Reduce) ที่เป็นปฏิกิริยาลดความร้อน แต่กระบวนการเผาไหม้ จะมีเพียงปฏิกิริยาออกซิเดชัน (Oxidation) ที่เป็นปฏิกิริยาขยายความร้อนเพียงอย่างเดียว

ประวัติความเป็นมาของการผลิตก๊าซเชื้อเพลิงชีวมวล เริ่มในปี ค.ศ. 1639 Jan Baptista Van Helmont [3] นักเคมีและนักพิสิกส์ชาวเบลเยียม ได้ค้นพบว่าเมื่อให้ความร้อนแก๊สไว้หรือถ่านหิน จะให้ก๊าซที่เผาไหม้ได้ออกมา จากการค้นพบนี้เป็นหลักการที่เป็นฐานสำคัญในการพัฒนากระบวนการแก๊สซิฟิเคชัน

ต่อมาในปี ค.ศ. 1669 Thomas Shirley ได้ทำการทดลองเกี่ยวกับก๊าซไฮโดรเจนที่ได้จากคาร์บอน

ในปี ค.ศ. 1788 Robert Gardner ได้รับการรับรองสิทธิบัตรเกี่ยวกับระบบแก๊สซิฟิเคชันใบแรก

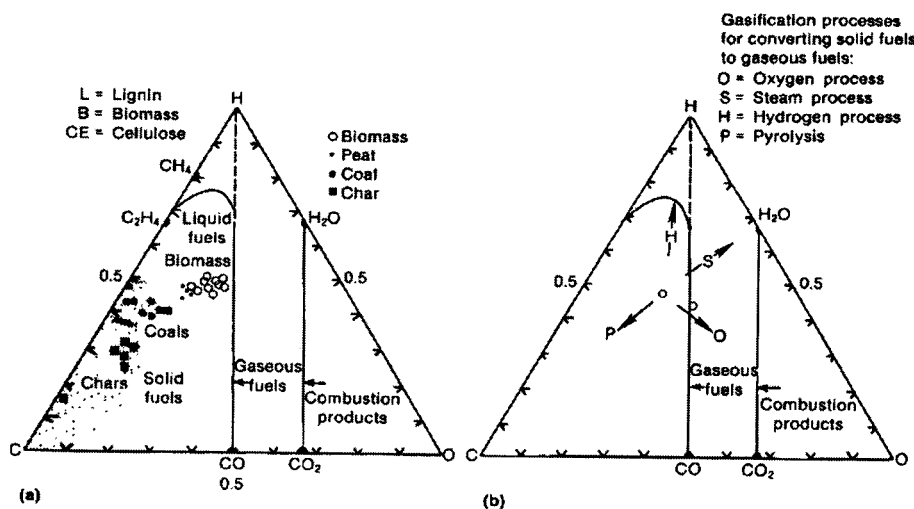
ในปี ค.ศ. 1792 John Barber ได้รับการรับรองสิทธิบัตรการใช้ก๊าซชีวมวล (Producer gas) ในเครื่องยนต์สันดาปภายใน

ในปี ค.ศ. 1798 Philippe Lebon ได้ทำให้ระบบผลิตก๊าซสังเคราะห์จากก๊าซชีวมวล เป็นที่รู้จัก โดยเป็นผู้ริเริ่มน้ำมันเป็นเชื้อเพลิงในเตาแก๊สไฟเออร์

การใช้งานกระบวนการแก๊สซิฟิเคชั่น โดยเริ่มแรกมีการนำมาใช้ในการผลิตก๊าซ เพื่อใช้ในการสร้างแสงสว่าง หรือ “town gas” โดยเริ่มแรกจะเป็นก๊าซที่ใช้ถ่านหินเป็นวัตถุดิบในการผลิต และหลังจากนั้นกระบวนการแก๊สซิฟิเคชั่นจึงเป็นที่แพร่หลายในแคนาดาและอเมริกา ในปี ค.ศ. 1920 ในเขตชุมชนและเมืองต่างๆ โดยการจ่ายก๊าซไปตามบ้านเรือนเพื่อใช้ในการหุงต้มและเป็นแสงสว่าง โดยใช้ชื่อว่า “gasworks”

จากนั้นในปี ค.ศ. 1930 ได้เริ่มมีการเดินท่อก๊าซธรรมชาติเพื่อส่งก๊าซธรรมชาติ จากบ่อน้ำมันในรัฐ Texas มาถึงเมือง Denver รัฐ Colorado สหรัฐอเมริกา ซึ่งเป็นแนวท่อก๊าซที่วางข้ามรัฐ ทำให้ก๊าซธรรมชาติที่มีราคาถูกมาก เข้ามาแทนที่อุตสาหกรรมแก๊สซิฟิเคชั่น และค่อยๆ ลดบทบาทลง ในประเทศอังกฤษ town gas ยังถูกใช้งานจนถึงปี ค.ศ. 1970 และค่อยๆ ลดบทบาทลง เมื่อมีการค้นพบน้ำมันในทะเลเหนือ (The North sea oil)

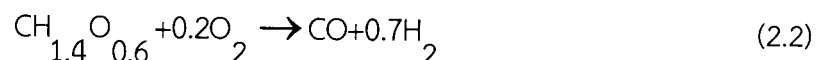
กระบวนการผลิตก๊าซชีมวล (Gasification process) เป็นกระบวนการเปลี่ยนเชื้อเพลิงแข็งให้อยู่ในรูปเชื้อเพลิงก๊าซ ด้วยปฏิกิริยาเคมีความร้อน โดยใช้อากาศหรือออกซิเจนดังภาพ 2.2 ที่อินทรีย์สารที่อยู่ในเชื้อเพลิงแข็งเปลี่ยนรูปเป็นก๊าซ ภายใต้ปฏิกิริยาที่ใช้ตัวออกซิไดซ์ (Oxidizer) ในปริมาณที่ต่ำกว่าปริมาณที่ต้องการทางทฤษฎีสำหรับการเผาไหม้ที่สมบูรณ์ โดยปกติกระบวนการผลิตก๊าซเชื้อเพลิงจะใช้อากาศเป็นตัวออกซิไดซ์ เนื่องจากในอากาศมีออกซิเจนเป็นองค์ประกอบในกระบวนการผลิตก๊าซเชื้อเพลิง ปริมาณอากาศที่ใช้จะมีค่าต่ำกว่าปริมาณอากาศที่ต้องการทางทฤษฎี สำหรับการเผาไหม้ที่สมบูรณ์ประมาณร้อยละ 30 กระบวนการผลิตก๊าซเชื้อเพลิงจะเกิดขึ้นที่อุณหภูมิระหว่าง 600-1,500 °C ก๊าซเชื้อเพลิงที่ผลิตได้มีค่าความร้อน $4.5-5.5 \text{ MJ/Nm}^3$ เมื่อเทียบกับค่าความร้อนของก๊าซธรรมชาติ ทั้งนี้ขึ้นกับองค์ประกอบต่างๆ ที่ใช้ในกระบวนการผลิตก๊าซเชื้อเพลิง ได้แก่ ประเภทของเครื่องผลิตก๊าซเชื้อเพลิง ชนิดของเชื้อเพลิง และเงื่อนไขการทำงานของเครื่องผลิตก๊าซเชื้อเพลิง ก๊าซที่ผลิตจากกระบวนการผลิตก๊าซเชื้อเพลิงจะเรียกว่าแก๊สต่างกันตามกระบวนการที่ใช้ในการผลิต องค์ประกอบและค่าความร้อนของก๊าซเชื้อเพลิงที่ผลิตได้



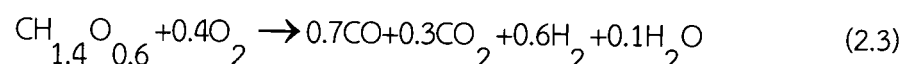
ภาพที่ 2.2 กระบวนการผลิตก๊าซชีวมวลโดยใช้อากาศหรือออกซิเจนเป็นสารตัวกลาง

- (a) เฟสไดอะแกรมแสดงความสัมพันธ์ของสัดส่วนคาร์บอน ไฮโดรเจนและออกซิเจน ในเชื้อเพลิงในสถานะของแข็ง ของเหลว และก๊าซ
- (b) การเปลี่ยนแปลงทางเคมีตลอดกระบวนการเปลี่ยนรูปของชีวมวล [4]

ในทางทฤษฎีแล้วต้องการออกซิเจนในปริมาณที่น้อยมาก เพราะชีวมวลมีองค์ประกอบที่เป็นออกซิเจนอยู่แล้ว ดังภาพที่ 2.2 (a) เพื่อที่จะให้ได้ผลิตภัณฑ์เป็นก๊าซไฮโดรเจนและคาร์บอนมอนอกไซด์ ดังสมการที่ (2.2)



เนื่องจากในก๊าซไฮโดรเจนและคาร์บอนมอนอกไซด์นั้น มีพลังงานในตัวสูงกว่าในชีวมวล ดังนั้นในปฏิกิริยาดังกล่าว จึงต้องการแหล่งความร้อนจากภายนอก ซึ่งในทางปฏิบัติจึงต้องมีการให้ก๊าซออกซิเจนเกินความพอดี (excess oxygen) ในกระบวนการแก๊สซิฟิเคชั่น จากรูปที่ 2.2 (b) ในปฏิกิริยาดังกล่าวจะทำให้เกิดคาร์บอนไดออกไซด์และไอน้ำ ดังสมการที่ (2.3)



นอกจากส่วนประกอบในสมการที่ (2.3) ผลิตภัณฑ์ที่ได้จะมี มีเทน (CH_4) ปริมาณเล็กน้อย อีกด้วย โดยองค์ประกอบของก๊าซชีวมวลที่ใช้อากาศเป็นตัวทำปฏิกิริยาโดยทั่วไป แสดงดังตารางที่ 2.1

ตารางที่ 2.1 คุณสมบัติโดยทั่วไปของก๊าซชีวมวล [4]

องค์ประกอบ	สัญลักษณ์	Gas (% vol)	Dry Gas (% vol)
คาร์บอนมอนอกไซด์	CO	21.0	22.1
คาร์บอนไดออกไซด์	CO ₂	9.7	10.2
ไฮโดรเจน	H ₂	14.5	15.2
ไอน้ำ	H ₂ O	4.8	-
มีเทน	CH ₄	1.6	1.7
ไนโตรเจน	N ₂	48.4	50.8
ค่าความร้อนสูง (HHV)			
ก๊าซชีวมวลตามมาตรฐานเปียก 5,506 kJ/Nm ³			
ก๊าซชีวมวลตามมาตรฐานแห้ง 5,800 kJ/Nm ³			
อัตราส่วนอากาศสำหรับกระบวนการแก๊สซิฟิเคชัน 2.38 kg wood/kg air			
อัตราส่วนอากาศสำหรับการเผาไหม้ก๊าซ 1.18 kg gas/kg air			
อัตราส่วนอากาศสำหรับการเผาไหม้แบบสมบูรณ์ 1.293 kg/m ³			

ก๊าซเชื้อเพลิงที่ผลิตจากกระบวนการผลิตก๊าซเชื้อเพลิงที่ใช้อากาศเป็นสารตัวกลางในการทำปฏิกิริยา อยู่ในช่วงระหว่าง 500-1,000 °C ก๊าซเชื้อเพลิงที่ผลิตได้จะเป็นก๊าซผสมของ ก๊าซคาร์บอนมอนอกไซด์ (CO) ก๊าซไฮโดรเจน (H₂) และก๊าzmีเทน (CH₄) จะเรียกว่าก๊าซผสมนี้ว่า พรอดิวเซอร์ก๊าซ (Producer gas) ซึ่งหมายถึงก๊าซที่ผลิตโดยใช้เครื่องผลิตก๊าซเชื้อเพลิง ไม่ได้เป็นก๊าซที่เกิดขึ้นเองตามธรรมชาติ พรอดิวเซอร์ก๊าซสามารถผลิตได้จากการเชื้อเพลิงหลากหลาย เช่น ถ่านหิน ถ่าน และชีวมวล สำหรับพรอดิวเซอร์ก๊าซที่ผลิตโดยใช้เชื้อเพลิงชีวมวล อาจเรียกชื่อเป็น ก๊าซชีวมวล สำหรับ ก๊าซเชื้อเพลิงที่ผลิตจากกระบวนการผลิตก๊าซเชื้อเพลิงที่อุณหภูมิสูง และใช้ไอน้ำหรือออกซิเจนเป็นสารตัวกลางในการทำปฏิกิริยา จะได้ก๊าซที่เป็นก๊าซผสมของก๊าซคาร์บอนมอนอกไซด์ (CO) และก๊าซไฮโดรเจน (H₂) จะเรียกว่าก๊าซที่ผลิตจากกระบวนการนี้ว่า ก๊าซสังเคราะห์ (Synthesis gas; syn gas) นอกจากนี้ ก๊าซเชื้อเพลิงที่ผลิตจากกระบวนการผลิตก๊าซเชื้อเพลิง อาจมีชื่อเรียกแตกต่างกันไป จากชื่อที่ใช้ในทางวิชาการ ได้แก่ 1) พืวก๊าซ (Pool gas) หมายถึงก๊าซที่มีค่าความร้อนต่ำ นิยมใช้อากาศเป็นสารตัวกลางในการทำปฏิกิริยา ก๊าซเชื้อเพลิงที่ผลิตได้จะมีค่าความร้อนต่ำถึงปานกลาง คือมีค่าความร้อนประมาณ 4-6 MJ/Nm³ ซึ่งคิดเป็นค่าความร้อนประมาณ 10-15 เท่าของค่าความร้อนของก๊าซธรรมชาติ 2) หวานก๊าซ (Town gas) หมายถึงก๊าซที่ใช้ในเมือง เนื่องจากยุคแรกๆ ที่มีการใช้ก๊าซเชื้อเพลิง ได้มีการนำก๊าซเชื้อเพลิงไปใช้งานกันอย่างแพร่หลาย ทั้งในการหุงต้มในครัวเรือน และการส่องสว่างทางสาธารณูปโภคในพื้นที่ชนบทห่างไกล 3) ซัคชันก๊าซ (Suction gas) หมายถึงก๊าซที่ได้จากการดูดอากาศเพื่อใช้ในการทำปฏิกิริยาผลิตก๊าซเชื้อเพลิงโดยดูดผ่านเครื่องยนต์ 4) วูดก๊าซ (Wood gas) หมายถึงก๊าซเชื้อเพลิงที่ผลิตจากไม้ เนื่องจากในยุคแรกๆ ที่นำชีวมวลมาเป็นเชื้อเพลิง นิยมใช้ไม้เป็นเชื้อเพลิงในการผลิตก๊าซเชื้อเพลิง [5]

สมบัติและองค์ประกอบของก๊าซเชื้อเพลิงที่ผลิตจากชีวมวล จะมีความแตกต่างจาก ก๊าซชีวภาพที่ผลิตจากการกระบวนการย่อยสลายโดยไม่ใช้อากาศเงน และก๊าซธรรมชาติที่เป็นเชื้อเพลิง พอกสซิล โดยก๊าซธรรมชาติจะมีค่าความร้อนสูงที่สุด เนื่องจากองค์ประกอบส่วนใหญ่ในก๊าซธรรมชาติ มีก๊าซมีเทนเป็นองค์ประกอบประมาณ ร้อยละ 90-99 องค์ประกอบและค่าความร้อนของก๊าซเชื้อเพลิง จากชีวมวล ก๊าซชีวภาพ และก๊าซธรรมชาติ แสดงรายละเอียดสรุปได้ดังตารางที่ 2.2

ตารางที่ 2.2 องค์ประกอบและค่าความร้อนของก๊าซเชื้อเพลิงจากชีวมวล ก๊าซชีวภาพ และก๊าซธรรมชาติ [6]

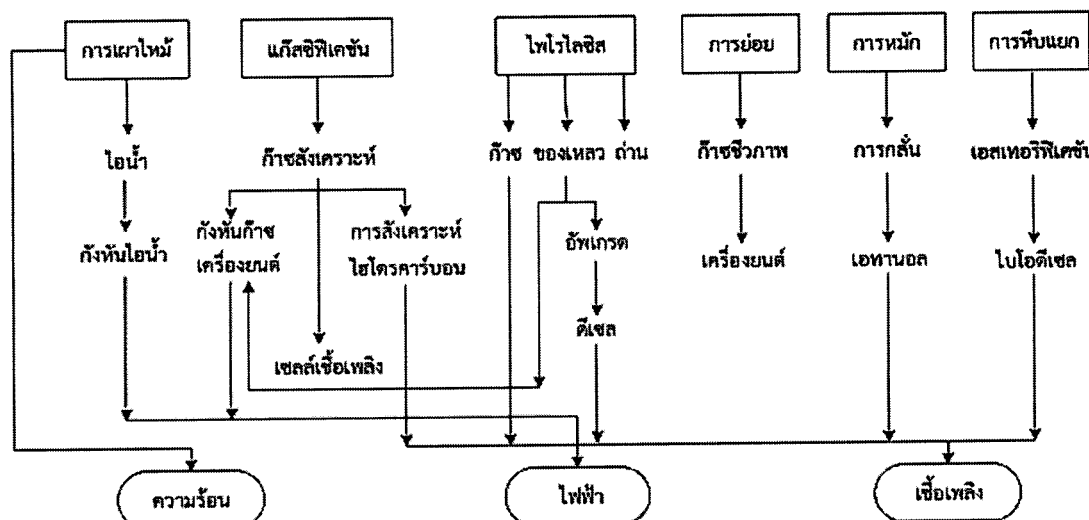
ปริมาณ	ก๊าซเชื้อเพลิงจากชีวมวล (% vol.)	ก๊าซชีวภาพ (% vol.)	ก๊าซธรรมชาติ (% vol.)
CO	12-20	<1	<0.5
H ₂	15-35	<1	<0.5
CH ₄	1-5	50-75	90-99
CO ₂	10-15	20-50	<1
N ₂	40-50	<1	<1
ค่าความร้อน	4.8-6.4	8-18	35

2.1.3 การประยุกต์ใช้งานก๊าซชีวมวล

การใช้งานก๊าซชีวมวลเริ่มต้นในช่วงสงครามโลกครั้งที่ 1 โดยมีการพัฒนาเตาแก๊สชีไฟเออร์ ขนาดเล็กเพื่อใช้กับเชื้อเพลิงที่เป็นถ่านไม้และไม้ โดยมีการนำก๊าซเชื้อเพลิงสังเคราะห์มาใช้กับรถยนต์ รถไฟ เรือ และเครื่องกำเนิดไฟฟ้าขนาดเล็ก [7] การประยุกต์ใช้งานก๊าซชีวมวล มีวิวัฒนาการมาเป็น ลำดับอย่างต่อเนื่องตามองค์ความรู้และเทคโนโลยีที่ได้มีการพัฒนาเพิ่มมากขึ้น การนำก๊าซชีวมวล ไปใช้งาน จะพิจารณาปัจจัยที่เกี่ยวข้องในด้านต่างๆ ได้แก่ ราคายังงานจากเชื้อเพลิงฟอสซิล นโยบาย สนับสนุนการผลิตพลังงานจากพลังงานหมุนเวียนของแต่ละประเทศ แหล่งชีวมวลที่จะนำไปใช้งาน และสถานที่ตั้งที่ต้องใช้งาน เป็นต้น ดังจะเห็นได้ว่าในช่วงที่พลังงานจากเชื้อเพลิงฟอสซิลมีราคาไม่สูงมาก การนำก๊าซชีวมวลไปใช้งานจะไม่แพร่กระจายมากนัก ส่วนใหญ่จะนิยมนำก๊าซชีวมวลไปใช้งานในสถานที่ ที่ห่างไกลจากความเจริญที่สายส่งไฟฟ้าไปไม่ถึง แต่ในปัจจุบันพลังงานจากเชื้อเพลิงฟอสซิลมีราคา สูงขึ้นมาก ทำให้รูปแบบการนำพลังงานจากก๊าซชีวมวลไปใช้งาน มีรูปแบบที่เปลี่ยนไป โดย วัตถุประสงค์ของการนำไปใช้งาน เพื่อทดแทนการใช้พลังงานจากเชื้อเพลิงฟอสซิล เช่น น้ำมัน และ ก๊าซบิโตรเลียมเหลว มีเพิ่มมากขึ้น ในปัจจุบันเริ่มนิยมน้ำก๊าซชีวมวลไปใช้งานในรูปแบบที่หลากหลาย มากขึ้น ได้แก่ การประยุกต์เพื่อใช้เป็นงานกลในกระบวนการทางอุตสาหกรรม การประยุกต์เพื่อนำไปใช้งานด้านการชลประทานเพื่อการเกษตร [8] การประยุกต์เพื่อใช้เป็นเชื้อเพลิงในรถยนต์ การประยุกต์เพื่อนำไปใช้งานในด้านความร้อน และการประยุกต์เพื่อนำไปใช้งานในการผลิตไฟฟ้า เป็นต้น

2.2 เทคโนโลยีการผลิตพลังงานจากชีวมวล

เชื้อเพลิงชีวมวลเป็นแหล่งที่ให้ความร้อนและแสงสว่างที่สำคัญแหล่งแรกที่มนุษยชาติได้ใช้ปัจจุบันก็เป็นแหล่งพลังงานที่สำคัญในลำดับต้นๆ ของประเทศไทยและประเทศกำลังพัฒนา ภาพที่ 2.3 แสดงวิธีใช้ประโยชน์จากชีวมวล ดังแต่การใช้พื้นฐานในการเผาไหม้ จนถึงการใช้ด้วยการแปลงสภาพเป็นเชื้อเพลิงที่มีคุณภาพดีขึ้น



ภาพที่ 2.3 แนวทางการใช้พลังงานชีวมวล [1]

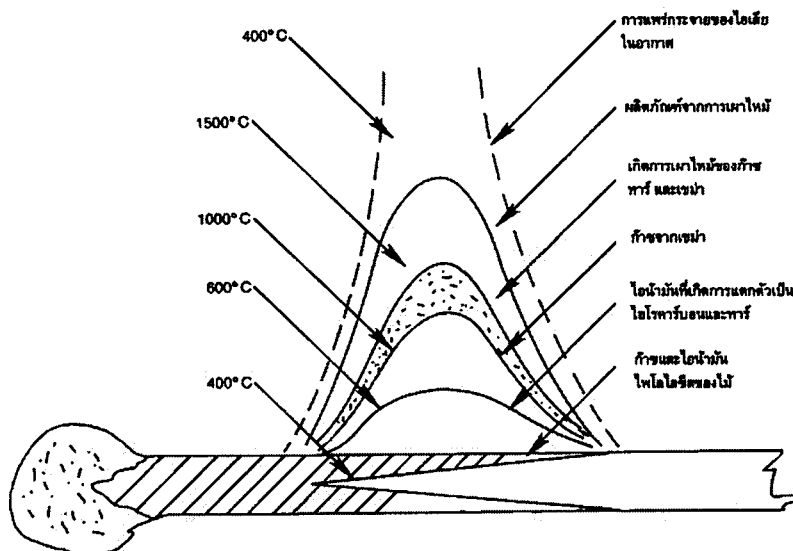
การนำชีวมวลไปใช้ประโยชน์ด้านพลังงานหรือเป็นเชื้อเพลิง มีกระบวนการในการเปลี่ยนรูปหลายวิธี ขึ้นอยู่กับคุณสมบัติและประเภทของชีวมวล โดยทั่วไปแบ่งได้ 2 กระบวนการ คือ การเปลี่ยนรูปทางชีวเคมี (Bio-chemical conversion) และการเปลี่ยนรูปโดยเคมีความร้อน (Thermo-chemical conversion)

(1) การเปลี่ยนรูปทางชีวเคมี (Bio-chemical conversion) ปฏิกริยาทางเคมีเป็นการใช้จุลินทรีย์อย่างสลาย แบ่งออกได้ 2 กระบวนการ คือ การหมักในสภาวะไร้ออกซิเจน (Anaerobic digestion) พลังงานในชีวมวลจะถูกเปลี่ยนรูปไปเป็นก๊าซเรียกว่า ก๊าซชีวภาพ (Bio-gas) และการหมักผลิตแอลกอฮอล์ (Fermentation) เป็นการเปลี่ยนรูปชีวมวลประเทศการไปไอล์โดยจุลินทรีย์หรือยีสต์เป็นตัวทำปฏิกริยาอย่างสลาย

(2) การเปลี่ยนรูปโดยความร้อน (Thermo-chemical conversion) การเปลี่ยนรูปโดยความร้อนเป็นการสลายพันธะเคมีของชีวมวลไปเป็นแหล่งพลังงานที่อยู่ในรูปของแข็ง ของเหลวหรือก๊าซ วิธีการเปลี่ยนรูปโดยความร้อนขึ้นอยู่กับชนิดหรือประเภทชีวมวล และเป้าหมายในการใช้งานในที่นี้จะเน้นการเปลี่ยนรูปทางความร้อน 2 แบบที่มีการใช้งานอย่างแพร่หลาย และใช้งานง่าย การเผาไหม้โดยตรงและการผลิตก๊าซชีวมวลซึ่งมีรายละเอียดดังนี้

(2.1) การเผาไหม้ชีวมวลโดยตรงเพื่อให้พลังงานความร้อน การเผาไหม้ตรงเป็นปฏิกริยาเคมี การรวมตัวกันระหว่างเชื้อเพลิงกับออกซิเจนอย่างรวดเร็ว ทำให้เกิดการลุกไหม้และการคายความร้อนออกม來 โดยใช้ก๊าซออกซิเจนร้อยละ 23 และก๊าซไนโตรเจนร้อยละ 77 โดยน้ำหนัก ซึ่งมี

ขั้นตอน คือ ขั้นตอนที่ก้าซอกรชิเจนสัมผัสกับพื้นผิวเชื้อเพลิง การเกิดปฏิกิริยาเผาไหม้ได้ก้าช かるบนมอนอกไซด์ (CO) การปล่อยก้าชคาร์บอนมอนอกไซด์ออกมากที่พื้นผิว และการเกิดปฏิกิริยาระหว่างคาร์บอนมอนอกไซด์กับออกซิเจนเกิดเป็นคาร์บอนไดออกไซด์ (CO_2) และเทคโนโลยีที่ใช้สำหรับป้อนเชื้อเพลิงเข้าสู่ระบบการเผาไหม้ โดยกลไกการเผาไหม้ ดังภาพที่ 2.4



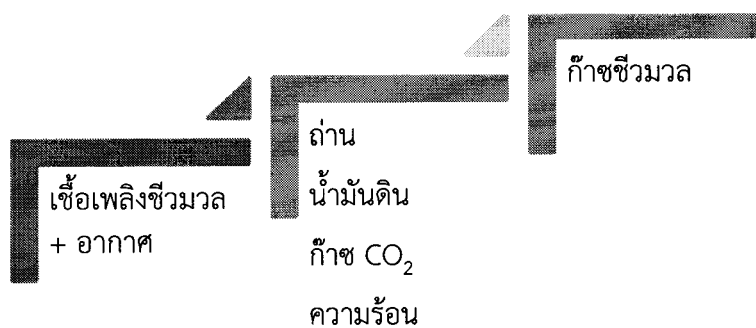
ภาพที่ 2.4 กลไกการเผาไหม้ชีวมวลและขั้นอุณหภูมิ [1]

ถ้าวิเคราะห์การเผาไหม้ของเชื้อเพลิงประเภทต่างๆ จากตารางที่ 2.3 จะเห็นได้ว่าไม้ที่นำมาตากแห้ง (air-dried wood) ที่มีค่าความชื้นประมาณร้อยละ 20 จะให้พลังงานออกมา 10 GJ/m^3 ถ้าเปรียบเทียบพลังงานดังกล่าวกับการต้มน้ำ 1 ลิตร ให้มีอุณหภูมิเพิ่มขึ้น 1°C ต้องการพลังงานความร้อน 4.2 kJ ถ้าต้มน้ำจานเดียวจะต้องใช้พลังงานความร้อน 420 kJ ซึ่งคิดเป็นพลังงานที่ผลิตจากไม้แห้งเพียง 42 m^3 แต่ในทางปฏิบัติการต้มน้ำปริมาณนี้ ต้องใช้มัตากแห้งมากกว่าปริมาณที่คำนวณได้ถึง 50 เท่า ซึ่งหมายความว่าประสิทธิภาพในการเผาไหม้โดยตรงมีค่าต่ำมาก ซึ่งอาจจะมีค่าน้อยกว่าร้อยละ 2 และนอกจากนี้ประสิทธิภาพในการเผาไหม้ยังขึ้นกับปริมาณความชื้นในเชื้อเพลิงอีกด้วย [9]

ตารางที่ 2.3 ค่าพลังงานความร้อนเฉลี่ยจากการเผาไหม้เชื้อเพลิงประเภทต่างๆ [10]

เชื้อเพลิง	ค่าพลังงาน	
	GJ/ton	GJ/m³
ไม้ (ความชื้น 20%)	15	10
กระดาษ	17	9
มูลสัตว์ (แห้ง)	16	4
ฟาง	14	1.4
อ้อย	14	10
ขยะ	9	1.5
หญ้า (สด)	4	3
น้ำมันบิโตรเลียม	42	34
ถ่านหิน	28	50
ก๊าซธรรมชาติ	55	0.04

(2.2) กระบวนการผลิตก๊าซสังเคราะห์ (Gasification) กระบวนการผลิตก๊าซสังเคราะห์ (Gasification) คือ กระบวนการเปลี่ยนวัสดุที่มีคาร์บอนเป็นส่วนประกอบ เช่น ถ่านหิน ชีวมวล ขยะ สารเคมี ปิโตรเคมี ฯลฯ ให้กลายเป็นก๊าซสังเคราะห์ (Synthesis gas) หรือก๊าซผลิตภัณฑ์ (Producer gas) หรืออาจเรียกตามชนิดของวัตถุดิบ เช่น ก๊าซชีวมวล (Biomass gas) คือ ก๊าซสังเคราะห์จากชีวมวล เป็นต้น โดยที่นี่จะใช้คำว่าก๊าซชีวมวล ซึ่งก๊าซสังเคราะห์จะประกอบด้วย ส่วนประกอบหลักคือ ก๊าซคาร์บอนมอนอกไซด์ (CO) ก๊าซไฮโดรเจน (H_2) ก๊าซมีเทน (CH_4) และ ก๊าซอื่นๆ ขึ้นอยู่กับชนิดของตัวออกซิไดเซอร์ (Oxidizer) และการออกแบบระบบผลิตก๊าซสังเคราะห์ (Gasifier) โดยกระบวนการดังกล่าวเป็นปฏิกิริยาเคมีเชิงความร้อน (Thermal reaction) อาศัย ออกซิเจน (O_2) หรือไวน้ำ (H_2O) เป็นตัวออกซิไดเซอร์ในการเกิดปฏิกิริยา ทั้งนี้ประกอบด้วยสมการเคมี ในการเกิดก๊าซสังเคราะห์ โดยกลไกการเกิดก๊าซชีวมวล ดังภาพที่ 2.5



ภาพที่ 2.5 ขั้นตอนการเกิดก๊าซชีวมวล [1]

ปฏิกิริยาเคมีความร้อนของการเกิดกําชชีวมวล (Gasification) กระบวนการผลิต กําชชีวมวลแบบจำกัดอากาศนั้นประกอบด้วยปฏิกิริยาออกซิเดชัน (Oxidation) ปฏิกิริยาเรตักชัน (Reduction) ไฟโรไลซีส (Pyrolysis) และการอบแห้ง (Drying) โดยจะแยกเป็นโซน หรือช่วงบริเวณ ของปฏิกิริยาต่างๆ ได้ดังนี้

(1) โซนการเผาไหม้ (Combustion zone) ในโซนการเผาไหม้ บางทีอาจเรียกว่า โซนออกซิเดชัน (Oxidation zone) อากาศจะถูกส่งผ่านเข้ามาในบริเวณนี้และสัมผัสกับเชื้อเพลิง ทำให้เกิดปฏิกิริยาเคมีระหว่างกําชออกซิเจนในอากาศกับคาร์บอนและไฮโดรเจนในเชื้อเพลิง ทำให้เกิด กําชคาร์บอนไดออกไซด์และน้ำ ดังสมการที่ (2.3) และสมการที่ (2.4)



ปฏิกิริยา (2.3) และ (2.4) เป็นปฏิกิริยาคายความร้อน และความร้อนที่เกิดขึ้นในโซนนี้ จะถูกนำไปใช้ในปฏิกิริยาแบบดูดความร้อนในโซนเรตักชันและโซนการกลั่นสลายต่อไป อุณหภูมิในโซน การเผาไหม้จะอยู่ระหว่าง 1,100-1,500 °C

(2) โซนเรตักชัน (Reduction zone) เมื่ออากาศผ่านเข้าสู่โซนการเผาไหม้และทำปฏิกิริยา กับคาร์บอนและไฮโดรเจน ได้กําชคาร์บอนไดออกไซด์และน้ำ แล้วก็จะเหลือผ่านสู่โซนเรตักชัน ดังนั้น ปฏิกิริยาหลักในโซนนี้จะเป็นปฏิกิริยาแบบปฏิกิริยาดูดความร้อน (Reduction reaction) อุณหภูมิ โซนนี้จะอยู่ระหว่าง 500-900 °C โซนการเผาไหม้นี้จะเปลี่ยนบางส่วนของกําชที่เผาไหม้ไม่ได้ (คาร์บอนไดออกไซด์และน้ำ) ให้เป็นกําชที่สามารถเผาไหม้ได โดยที่กําชคาร์บอนไดออกไซด์และไนโตรเจน ที่เกิดขึ้นเหลือผ่านคาร์บอนที่กำลังลุกไหม้อよ จะได้กําชคาร์บอนมอนอกไซด์ และกําชไฮโดรเจน ดังสมการต่อไปนี้

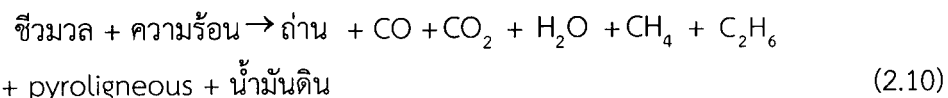


ปฏิกิริยา (2.5) เรียกว่า Boudouard reaction และปฏิกิริยา (2.6) เรียกว่า Water gas reaction เป็นปฏิกิริยาแบบดูดความร้อน เกิดขึ้นที่อุณหภูมิ 900 °C และกําชที่ได้จาก 2 ปฏิกิริยานี้ เป็นกําชที่สามารถเผาไหม้ได ซึ่งเป็นองค์ประกอบหลักในกําชผสมที่ได้จากการเตาผลิตกําช (Producer gas) กําชหลักนี้คือกําชคาร์บอนมอนอกไซด์ (CO) ซึ่งในหลักการแล้วควรจะมีจำนวนมากที่สุดเท่าที่ จะทำได้ ปริมาณของกําชคาร์บอนมอนอกไซด์ในกําชชีวมวลนี้ ขึ้นอยู่กับว่ากําชคาร์บอนไดออกไซด์ สามารถเปลี่ยนเป็นกําชคาร์บอนมอนอกไซด์ไดมากแค่ไหนในโซนเรตักชัน การเปลี่ยนแปลงนี้

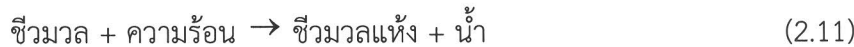
จะขึ้นอยู่กับความเร็วระหว่างก้าชกับเชื้อเพลิงแข็ง และพื้นที่ผิวสัมผัสถ้าช ดังนั้นขนาดของเชื้อเพลิงที่ใส่ในเตาผลิตก้าชจึงมีผลต่อการเกิดก้าชเชื้อเพลิง กล่าวคือถ้าขนาดของเชื้อเพลิงใหญ่เกินไป อัตราส่วนระหว่างพื้นที่ผิวสัมผัสด้วยปริมาตรจะมีค่าต่ำ เมื่อจะทำการจุดเตาจึงยากกว่าปกติ และช่องว่างระหว่างชั้นของเชื้อเพลิงมีขนาดใหญ่มากเกินไป ทำให้เกิดช่องว่างมาก ก้าชออกซิเจนบางส่วนจะไหลผ่านบริเวณช่องว่างระหว่างเชื้อเพลิงนี้ โดยไม่สัมผัสถ้าชกับเชื้อเพลิง เป็นผลให้ปฏิกิริยาเคมีเกิดน้อยลง ทำให้ประสิทธิภาพในการผลิตก้าชต่ำ แต่ถ้าขนาดของเชื้อเพลิงเล็กเกินไปจะเกิดความดันสูญเสีย (Pressure loss) ในเตามาก จึงต้องใช้พัดลมดูดก้าชน้ำดใหญ่ ทำให้สิ้นเปลืองพลังงาน และก้าชที่ผลิตได้ก็จะมีผุนมากกว่าปกติ นอกจากนี้การใช้เชื้อเพลิงที่ขันแล็กเกินไปทำให้เกิดไฟไหม้ ขันในตัวเตาผลิตก้าชเชื้อเพลิง อาจเศษพายามแทรกขึ้นตามไฟไหม้เหล่านี้อย่างรวดเร็ว ดังนั้นาการที่ไหลขึ้นตามไฟไหม้จะไม่ค่อยทำปฎิกิริยากับเชื้อเพลิง ซึ่งเป็นต้นเหตุให้ก้าชที่ได้มีคุณภาพต่ำลง จากปฏิกิริยา (2.5) ถ้าอุณหภูมิในโซนรีดักชั่นสูงกว่า 900°C แล้วก้าชคาร์บอนไดออกไซด์จะสามารถเปลี่ยนเป็นก้าชคาร์บอนมอนอกไซด์ได้ประมาณ 90% และถ้าอุณหภูมิสูงกว่า $1,100^{\circ}\text{C}$ แล้วก้าชคาร์บอนไดออกไซด์จะเปลี่ยนเป็นก้าชคาร์บอนมอนอกไซด์หมด ดังนั้นประสิทธิภาพของเตาผลิตก้าชจะเพิ่มขึ้นตามอุณหภูมิของโซนรีดักชั่นในเตาผลิตก้าช

เมื่อก้าชอุณหภูมิสูงจากโซนการเผาไหม้ไฟแลเข้าสู่โซนนี้ อุณหภูมิจะลดลงเนื่องจากปฏิกิริยาแบบดูดความร้อนในปฏิกิริยา (2.5) และ (2.6) ปฏิกิริยาไอน้ำกับคาร์บอนเพื่อที่จะผลิตก้าชไฮโดรเจน และก้าชคาร์บอนไดออกไซด์ในปฏิกิริยา (2.6) โดยเกิดขึ้นที่อุณหภูมิต่ำ คือประมาณ $500-600^{\circ}\text{C}$ ปฏิกิริยานี้มีความสำคัญ เพราะทำให้ส่วนผสมของไฮโดรเจนในก้าชมีมากขึ้น ซึ่งมีผลทำให้ก้าชมีค่าพลังงานความร้อนสูงขึ้น แต่ถ้ามีไอน้ำมากเกินไป ไอน้ำอาจทำปฏิกิริยากับก้าชคาร์บอนมอนอกไซด์ทำให้เกิดก้าชคาร์บอนไดออกไซด์และก้าชไฮโดรเจนตามปฏิกิริยา (2.7) ปฏิกิริยานี้เรียกว่า Water shift reaction ทำให้เกิดความร้อนของก้าชที่ได้ลดลง ดังนั้นจึงจำเป็นอย่างยิ่งที่จะต้องระมัดระวังเกี่ยวกับความชื้นของเชื้อเพลิงที่จะเข้าเตาผลิตก้าช ส่วนใหญ่ก้าชไฮโดรเจนที่เกิดขึ้นในโซนรีดักชั่นนี้จะยังคงเป็นรูปไฮโดรเจน แต่อย่างไรก็ตาม บางส่วนของไฮโดรเจนก็จะทำปฏิกิริยากับคาร์บอน ทำให้เกิดก้าชมีเทนได้เล็กน้อยดังในปฏิกิริยา (2.9) ที่เรียกว่า การผลิตมีเทน (Methane production)

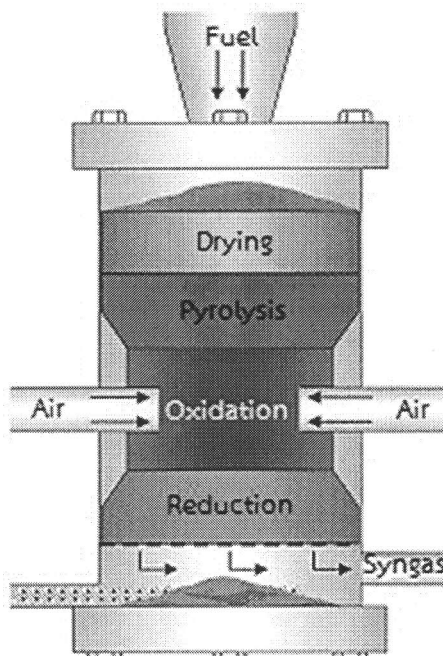
(3) โซนการกลั่นสลาย (Pyrolysis zone) ในโซนนี้จะได้รับความร้อนจากโซนรีดักชั่น เพื่อที่จะสลายสารอินทรีย์ในเชื้อเพลิง ทำให้ได้เมทานอล กรดน้ำส้ม และน้ำมันดิน (Tar) อุณหภูมิในโซนนี้จะประมาณ $200-500^{\circ}\text{C}$ ของแข็งที่เหลืออยู่หลังจากผ่านกระบวนการนี้แล้ว คือ คาร์บอนในรูปของถ่านซึ่งจะไปทำปฏิกิริยาต่อในโซนรีดักชั่นและโซนการเผาไหม้ ปฏิกิริยาที่เกิดขึ้นในโซนนี้สามารถเขียนได้ดังนี้



(4) โซนการอบแห้ง (Drying zone) ในบริเวณโซนนี้อุณหภูมิไม่สูงพอที่จะทำให้เกิดการสลายตัวของสารระเหย แต่ความชื้นในเชื้อเพลิงจะถูกความร้อนทำให้ระเหยออกมารูปของไอน้ำ โซนนี้จะเกิดขึ้นที่อุณหภูมิประมาณ $100-200^{\circ}\text{C}$ ดังสมการต่อไปนี้



เตาผลิตก๊าซชีวมวลถือเป็นหัวใจสำคัญของระบบผลิตก๊าซเชื้อเพลิงชีวมวล เพราะเป็นอุปกรณ์หลักที่ใช้ในการผลิตก๊าซชีวมวล ซึ่งภายในเตาจะมีการแบ่งเป็นโซนหรือช่วงบริเวณของการเกิดปฏิกิริยาต่างๆ ดังที่กล่าวไปแล้ว ชนิดของเตาโดยทั่วไปมีหลายประเภท แต่จะขอนำเสนอข้อมูลของเตาที่ใช้ในการทดลองงานวิจัยนี้ คือ เตาผลิตก๊าซชีวมวลแบบอากาศไหลลง (Downdraft gasifier) เป็นเตาผลิตก๊าซชีวมวลแบบไหลลง (Imbert type) เตาชนิดนี้มีลักษณะเด่น คือ เป็นเตาผลิตก๊าซชีวมวลที่มีวงแหวน (Construction ring) เพื่อใช้ในการควบคุมอุณหภูมิของปฏิกิริยารีดักชัน และมีหัวฉีด (Nozzle) เพื่อจ่ายอากาศเข้าสู่โซนเผาไหม้ โดยที่มาของชื่อ Imbert type มาจากนักประดิษฐ์ที่สร้างเตาแบบนี้เป็นคนแรกคือ Jacques Imbert [11] โดยหลักการทำงานในกรณีที่ใช้อากาศเป็นตัวออกซิไดซ์ อากาศจะถูกอัดเข้าหรือถูกดึงเข้าสู่ตัวเตา ซึ่งโดยทั่วไปจะใช้บัวเวอร์ (Blower) ในการดูดผ่านอุปกรณ์ต่างๆ รวมถึงระบบทำความสะอาด ก่อนนำไปใช้งาน เช่น นำไปใช้งานในเครื่องยนต์สันดาปภายในเพื่อผลิตไฟฟ้า หรือส่งไปใช้งานในด้านความร้อน เป็นต้น ในขณะที่เตานี้ทำงาน อากาศที่เข้าสู่โซนเผาไหม้ จะเกิดการเผาไหม้กับถ่านและทำให้เกิดกระบวนการไฟโรไลซีส เชื้อเพลิงที่อยู่เหนือหัวฉีดอากาศ ซึ่งจะได้สารระเหยและثار์ จะไหลลงมาและเกิดการเผาไหม้ ผลิตภัณฑ์จากการเผาไหม้ดังกล่าวจะไหลลงไปทำปฏิกิริยากับถ่านที่ยังเหลืออยู่ ในบริเวณใต้หัวฉีดอากาศที่ยังมีอุณหภูมิสูงอยู่ โดยเชื้อเพลิงชีวมวลจะเปลี่ยนรูปจากเชื้อเพลิงแข็งไปเป็นก๊าซเชื้อเพลิงในบริเวณโซนนี้ [12]



ภาพที่ 2.6 ลักษณะเตาเผาเชื้อเพลิงก๊าซชีวมวลแบบอากาศไหลลง [1]



2.3 ปัญหาที่พบจากการผลิตก๊าซชีวมวล

ผลิตภัณฑ์ที่ได้จากการกระบวนการผลิตก๊าซชีวมวล ประกอบด้วยผลิตภัณฑ์ที่มีสถานะเป็นของแข็ง ของเหลวและก๊าซ ผลิตภัณฑ์ที่มีสถานะเป็นก๊าซประกอบด้วยก๊าซที่เผาไหม้ได้ ส่วนก๊าซที่เผาไหม้ไม่ได้ จะเป็นผลิตภัณฑ์ที่มีสถานะเป็นของแข็ง ได้แก่ อนุภาคคาร์บอนที่ไม่ถูกเผาไหม้ ฝุ่น เศ้า และถ่าน ผลิตภัณฑ์ที่มีสถานะเป็นของเหลวได้แก่ ความชื้น แต่ในทางปฏิบัติก๊าซชีวมวลจะประกอบไปด้วยสาร องค์ประกอบของก๊าซที่มีอนุภาคฝุ่น น้ำมันดินและสารประกอบอื่นปนเปื้อนอยู่ด้วย ซึ่งทำให้ ก๊าซชีวมวลที่ผลิตได้มีคุณภาพต่ำและก่อให้เกิดปัญหากับอุปกรณ์ต่างๆ รวมทั้งระบบนำก๊าซเข้าเพลิง ไปใช้งาน ดังนั้นจึงจำเป็นต้องนำก๊าซชีวมวลมาผ่านระบบทำความสะอาดก๊าซเสียก่อน และต้องเลือก อุปกรณ์ทำความสะอาดก๊าซให้เหมาะสมกับการนำก๊าซชีวมวลไปใช้งาน เช่น ถ้าต้องการตักจับฝุ่นที่มี ขนาดใหญ่นิยมใช้ไซโคลน ถ้าต้องการตักจับฝุ่นที่มีขนาดเล็กและน้ำมันดินนิยมใช้เวนจูรีสครับเบอร์ เป็นต้น

ส่วนประกอบของก๊าซชีวมวลที่ผลิตได้ [13] จากเตาผลิตก๊าซชีวมวลแต่ละประเภท มีหลักการทำงานและลำดับในการเกิดปฏิกิริยาแตกต่างกัน ดังนั้น ก๊าซชีวมวลที่ผลิตได้จึงมีองค์ประกอบ ที่แตกต่างกัน ก๊าซที่ผลิตจากการกระบวนการผลิตก๊าซชีวมวลจะประกอบด้วยก๊าซที่เผาไหม้ได้เรียกว่า ก๊าซเชื้อเพลิงซึ่งได้แก่ ก๊าซไฮโดรเจน (H_2) ก๊าซคาร์บอนมอนอกไซด์ (CO) ก๊าซมีเทน (CH_4) ก๊าซอะเซทีลีน (C_2H_2) และก๊าซอีเทน (C_2H_6) ส่วนก๊าซที่เผาไหม้ไม่ได้ ได้แก่ ก๊าซไนโตรเจน (N_2) และ ก๊าซคาร์บอนไดออกไซด์ (CO_2) นอกจากนี้ยังมีผลิตภัณฑ์อื่นที่เกิดขึ้นอีกได้แก่ เศ้าโลຍ ออกไซด์ โนโตรเจน (NO_x) และน้ำมันดิน ซึ่งถ้าผลิตภัณฑ์เหล่านี้มีปริมาณที่มากเกินไป อาจทำให้เกิด ความเสียหายกับอุปกรณ์ต่างๆ ในระบบผลิตก๊าซชีวมวล รวมไปถึงเครื่องยนต์ที่นำก๊าซชีวมวลไปใช้งาน ก๊าซชีวมวลที่ผลิตได้ก่อนที่จะนำไปผ่านระบบทำความสะอาดก๊าซ เเรียกว่า ก๊าซดิบ (Raw gas) ส่วนประกอบของก๊าซดิบที่ผลิตจากเตาผลิตก๊าซชีวมวลแบบต่างๆ ที่ใช้อากาศเป็นสารตัวกลาง ดังตารางที่ 2.4

ตารางที่ 2.4 ส่วนประกอบของก๊าซดิบที่ผลิตจากเครื่องผลิตก๊าซเชื้อเพลิงแบบต่างๆ ที่ใช้อากาศเป็นสารตัวกลาง [4]

สารปนเปื้อน	หน่วย	เครื่องผลิตก๊าซเชื้อเพลิงแบบใหม่	เครื่องผลิตก๊าซเชื้อเพลิงแบบใหม่ลง	เครื่องผลิตก๊าซเชื้อเพลิงแบบเบดเคลื่อนที่แบบของไอล
ความชื้น	%	ไม่มีข้อมูล	6-25	13-20
อนุภาคฝุ่น	mg/Nm ³	100-3,000	100-8,000	8,000-100,000,
น้ำมันดิน (ค่าเฉลี่ย)	mg/Nm ³	10,000-150,000 50000	10-6,000 500	2,000-30,000 8000
ค่าความร้อนต่อ	MJ/Nm ³	3.7-5.1	4.0-5.6	3.6-5.9
H ₂	% Vol	10-14	15-21	15-22
CO	% Vol	15-20	10-22	13-15
CO ₂	% Vol	8-10	11-13	13-15
CH ₄	% Vol	2-3	1-5	2-4
C _n H _m	% Vol	วัดไม่ได้	9.5-2	0.1-1.2

อนุภาคฝุ่นที่ปนเปื้อนในก๊าซชีวมวลขึ้นกับตัวแปรต่างๆ ได้แก่ ชนิดของเชื้อเพลิง ประเภทของเตาผลิตก๊าซชีวมวล อัตราการผลิตก๊าซชีวมวล และอุณหภูมิในชั้นเผาไหม้ ประเภทของเตาผลิตก๊าซชีวมวลเป็นตัวแปรหนึ่งที่สำคัญในการเกิดฝุ่น จากลักษณะของเตาผลิตก๊าซชีวมวลแบบไอล ตามข่าวที่มีช่องทางออกของก๊าซเชื้อเพลิงอยู่ตรงข้ามกับช่องจ่ายอากาศ จะมีผลทำให้ความเร็วของก๊าซที่ช่องทางออกมีค่าสูง ซึ่งจะมีผลทำให้อนุภาคฝุ่นปนเปื้อนในก๊าซชีวมวลสูง อัตราการผลิตก๊าซชีวมวลก็เป็นตัวแปรที่สำคัญในการเกิดฝุ่น ถ้าเตาผลิตก๊าซชีวมวลทำงานที่อัตราการผลิตก๊าซชีวมวลสูงกว่าค่าที่ออกแบบไว้ จะทำให้มีฝุ่นปนเปื้อนในปริมาณสูงถึง 2,000 mg/m³ สำหรับกรณีที่นำก๊าซชีวมวลไปใช้กับเครื่องยนต์ในการผลิตไฟฟ้า ถ้าอนุภาคฝุ่นปนเปื้อนในก๊าซชีวมวล มีค่ามากกว่า 10 mg/m³ จะทำให้เกิดความเสียหายต่อเครื่องยนต์ได้ [15]

ความชื้นที่ปนเปื้อนในก๊าซชีวมวลจะอยู่ในรูปของไอน้ำ ซึ่งมาจากการหลังต่างๆ ได้แก่ ความชื้นในเชื้อเพลิง ความชื้นที่ปนมากับอากาศที่ใช้เป็นสารตัวกลางในการทำปฏิกิริยา ความชื้นที่มาจากการผลิตก๊าซชีวมวลและน้ำที่ออกแบบไอล จะทำให้มีฝุ่นปนเปื้อนในปริมาณสูงถึง 2,000 mg/m³ สำหรับกรณีที่ใช้ไอน้ำเป็นสารตัวกลางในการทำปฏิกิริยา และน้ำที่เกิดจากปฏิกิริยาการผลิตก๊าซชีวมวล

น้ำมันดิน (Tar) จัดเป็นปัจจัยหนึ่งที่ส่งผลกระทบต่อการใช้งานมากที่สุดสำหรับระบบผลิตก๊าซชีวมวล เพราะในก๊าซชีวมวลมีน้ำมันดินปนเปื้อนอยู่จำนวนมาก เมื่อก๊าซมีอุณหภูมิต่ำลงกว่าจุดเดือดของน้ำมันดิน น้ำมันดินก็จะควบแน่นจากสถานะก๊าซเป็นของเหลว และจะเกาะตามผนังท่อ วาล์ว โบลเวอร์ และในกรณีที่ในเครื่องยนต์สันดาปภายใน น้ำมันดินมักจะไปควบแน่นในบริเวณคานูเรเตอร์ และวาล์วไอดี เพราะบริเวณดังกล่าว ก๊าซจะมีการไหลผ่านด้วยความเร็วสูง จึงทำให้อุณหภูมิของก๊าซ

ที่ผ่านบริเวณนั้นลดลง นอกจาคนี้ น้ำมันดินมักจะจับตัวกับผงฟุ่น (Soot) ทำให้เกิดลักษณะของชั้นโคลนสีดำติดในอุปกรณ์ต่างๆ

ทั้งนี้ส่วนประกอบของน้ำมันดินจะมีความแตกต่างกันออกไปตามลักษณะการเกิดขึ้นของน้ำมันดินโดย Evans และ Milne (Evans & Milne) ได้จำแนกน้ำมันดินที่ออกจากเตาไฟโรแลซีสและเตาแก๊สโซไฟเรอร์ ออกเป็น 4 กลุ่มหลักๆ คือ น้ำมันดินปฐมภูมิ (Primary tars) น้ำมันดินทุติยภูมิ (Secondary tars) น้ำมันดินตติยภูมิอัลคาไลน์ (Alkyl tertiary tars) และน้ำมันดินตติยภูมิควบแน่น (Condensed tertiary tars) โดยน้ำมันดินปฐมภูมนี้ เป็นส่วนประกอบดั้งเดิมที่ได้โดยตรงจากเชลลูลอส เยนิเซลลูลอส และลิกนินที่เป็นองค์ประกอบหลักของชีวมวล น้ำมันดินทุติยภูมิจะมีส่วนประกอบหลักๆ เป็นฟีโนล (Phenolic) และโอลีฟิน (Olefinic) และผลิตภัณฑ์ที่เปลี่ยนรูปมาจากการเปลี่ยนรูป นอกจากนี้ สามารถจัดลำดับชั้นของน้ำมันดินและการตรวจวัด (Tar classification and measurement) [16] ระดับชั้นของน้ำมันดินนั้น สามารถจำแนกออกเป็นระดับได้ 5 ระดับ ตามระดับผลกระทบที่มีต่อการใช้งาน ดังตารางที่ 2.5

ตารางที่ 2.5 การจำแนกระดับน้ำมันดิน [16]

ระดับชั้น	รายละเอียด
Class 1	ไม่สามารถตรวจพบได้ด้วยเครื่อง GC น้ำมันดินระดับนี้จะมีโมเลกุลที่หนักที่สุด โดยจะสามารถควบแน่นได้ที่อุณหภูมิสูง แต่มีปริมาณน้อยมาก
Class 2	เป็นสารประกอบในกลุ่ม Heterocyclic (ได้แก่ phenol, pyridine, cresol) โดยสารพวกนี้จะสามารถละลายน้ำได้ดี เพราะมีความเป็นขั้วทางไฟฟ้า (Polarity)
Class 3	เป็นสารประกอบในกลุ่ม Aromatic (ได้แก่ 1 ring xylene, styrene, toluene) เป็นกลุ่ม Light hydrocarbon ซึ่งไม่ค่อยมีความสำคัญมากนัก เพราะสามารถควบแน่นและละลายในน้ำได้
Class 4	เป็นสารประกอบในกลุ่ม Light polycyclic aromatic hydrocarbon (2-3 ring PAH compound เช่น naphthalene, fluorine, phenanthrene) น้ำมันดินกลุ่มนี้จะควบแน่นที่อุณหภูมิปานกลางที่ความเข้มข้นสูง
Class 5	เป็นสารประกอบในกลุ่ม Heavy polycyclic hydrocarbons (4-7 ring PAH compounds เช่น fluoranthene, pyrene, และ coronene) น้ำมันดินกลุ่มนี้จะควบแน่นที่อุณหภูมิสูงที่ความเข้มข้นต่ำ

โดยทั่วไปน้ำมันเตาผลิตก๊าซชีวมวลแบบ Downdraft gasifier จะมีน้ำมันดินปนอยู่ประมาณ 1% ซึ่งถือว่ามีปริมาณน้ำมันดินจากเตาผลิตก๊าซชีวมวลแบบอื่นๆ โดยปริมาณน้ำมันดินจากเตาผลิตก๊าซชีวมวล Downdraft แบบต่างๆ ดังตารางที่ 2.6

ตารางที่ 2.6 ปริมาณน้ำมันดินจากเตาผลิตก๊าซชีวมวลแบบ Downdraft แบบต่างๆ [17]

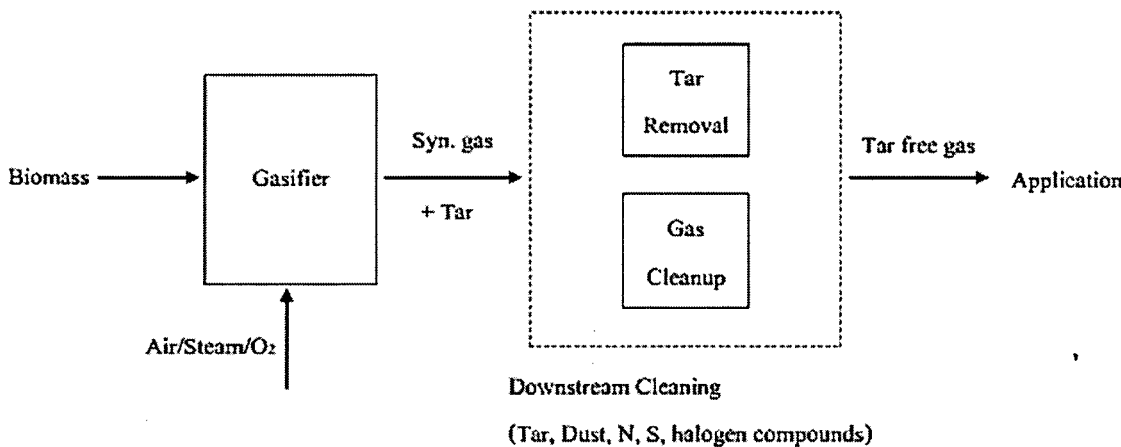
เตาผลิตก๊าซ	กำลังการผลิต (kg/hr)	ขนาดเส้นผ่าศูนย์กลาง คอกอด (m)	ภาระจำเพาะ (kg/hr.m ²)	ปริมาณ น้ำมันดิน (g/Nm ³)
Kromag KS-12	15.0	0.12	1,330	0.62
Kromag K-4	7.5	0.09	1,180	1.90
Semmler	12.0	0.15	680	0.88
Danneberg	19.0	0.15	1,075	0.70
Leobersdorer	36.0	0.42	260	1.20
TH. Twente	20.0	0.20	640	0.5
Forintek Canada	50.0	-	-	3.00
Minigasifier	0.2	0.01	2,550	3.00

การกำจัดน้ำมันดิน [18] มีวิธีการซึ่งสามารถจำแนกออกเป็น 2 แบบ ตามตำแหน่งที่ดึงเอาน้ำมันดินออกมา คือ การกำจัดน้ำมันดินภายในตัวเตาเอง (วิธีการแบบปฐมภูมิ (Primary method)) และการกำจัดน้ำมันดินภายนอกตัวเตา (วิธีการแบบทุติยภูมิ (Secondary)) โดยมีรายละเอียดดังนี้

(1) วิธีการแบบทุติยภูมิ วิธีการแบบนี้เป็นวิธีที่นิยมนำมาใช้ในการกำจัดน้ำมันดินจากก๊าซชีวมวลที่ออกจากเตา โดยแนวคิดของวิธีการนี้ ดังภาพที่ 2.7 โดยจะใช้การบำบัดโดยเคมี (Chemical treatment) หรือการบำบัดทางกายภาพ (Physical treatment) ได้แก่

(1.1) การทำให้น้ำมันดินแตกตัว (Tar cracking) หลังจากที่ก๊าซชีวมวลออกจากเตาแล้ว โดยกระบวนการทางความร้อน (Thermal process) หรือการใช้ตัวเร่งปฏิกิริยา (Catalytic)

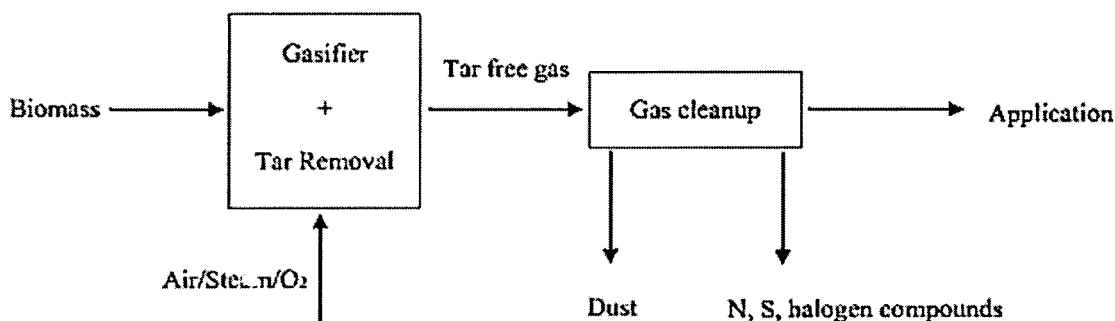
(1.2) การใช้วิธีทางกล เช่น ไซโคลน (cyclone), แผ่นกรอง (baffle filter), กรองเซรามิก (ceramic filter), กรองผ้า (fabric filter), เครื่องแยกฝุ่น (particle separator), เครื่องแยกฝุ่นด้วยไฟฟ้าสถิต (electrostatic), และเครื่องตักฝุ่นแบบเปียก (wet scrubber) เป็นต้น



ภาพที่ 2.7 แนวคิดการกำจัดน้ำมันดินแบบทุติยภูมิ [18]

ทั้งนี้โดยส่วนใหญ่แล้วระบบกำจัดน้ำมันดินจากก๊าซที่ออกจากการเผาแล้ว ถือว่าเป็นวิธีที่มีประสิทธิภาพที่ดี ถึงแม้ในบางกรณีอาจจะไม่คุ้มค่าทางเศรษฐศาสตร์ นอกจากนี้ ผลพลอยได้จากวิธีการแบบนี้ คือ สามารถลดแอมโมเนียที่ปนเปื้อนในก๊าซได้ [19] โดยพบว่า ถ้าต้องการให้ก๊าซที่ออกมามีความสะอาดมาก ต้องใช้กระบวนการกำจัดที่ขั้นตอน ซึ่งกระบวนการแบบ 3 ขั้นตอน [20] สามารถทำให้ก๊าซชีวมวลที่ได้มีความสะอาดมาก (มีระดับความเข้มข้นของน้ำมันดินต่ำ)

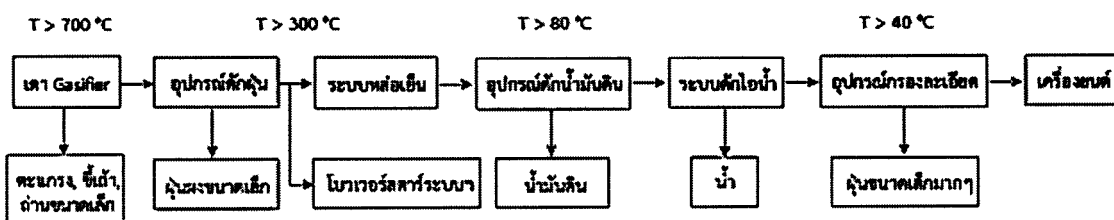
(2) วิธีการแบบปฐมภูมิ วิธีการแบบนี้ ใช้หลักการป้องกันการเกิดน้ำมันดินตั้งแต่ในเตา คือการยับยั้งการก่อตัวของน้ำมันดิน ซึ่งจะทำให้ระบบผลิตก๊าซชีวมวลไม่ต้องการวิธีกำจัดน้ำมันดินแบบทุติยภูมิ ดังภาพที่ 2.8



ภาพที่ 2.8 แนวคิดการกำจัดน้ำมันดินแบบปฐมภูมิ [18]

แต่ทั้งนี้วิธีการแบบนี้ ก็ยังมีหลายอย่างที่ยังหาคำตอบไม่ได้ รวมทั้งยังไม่มีการสร้างในเชิงพาณิชย์ โดยการที่จะได้ก๊าซชีวมวลที่ออกมามีคุณภาพดีที่สุดนั้น จะต้องออกแบบเตาผลิตก๊าซชีวมวลให้เหมาะสมกับการใช้งาน และให้เตาดังกล่าวทำงานที่สภาวะที่เหมาะสมที่สุด Corella et al. [21] ได้นำเสนอว่าการใส่โดโลไมต์ (dolomite) เข้าไปในเตาแบบฟลuidized-bed (fluidized-bed gasifier) นั้น พบว่า น้ำมันดินที่ออกมายังคงเผาไม่ค่าไถลเคียงกันกับ การใช้โดโลไมต์ในถังปฏิกิริยาณอกเตา

ขั้นตอนการออกแบบระบบทำความสะอาดก๊าซชีวมวลที่มีประสิทธิภาพนั้น จะต้องทำการวิเคราะห์haberman ขนาด และลักษณะของการปนเปื้อนของก๊าซ เพื่อใช้ประกอบการออกแบบระบบ กำจัดสิ่งปนเปื้อนให้เหมาะสมกับก๊าซที่ออกจากเตา และนอกจากนี้ ในการออกแบบระบบทำความสะอาด ต้องคำนึงถึงช่วงอุณหภูมิของก๊าซที่ผ่านเข้ามาสู่ระบบผลิต เพราะช่วงอุณหภูมิของก๊าซ ส่งผลต่อคุณสมบัติของน้ำมันดิน และไอน้ำที่มีอยู่ในก๊าซ โดยสามารถจำแนกระบบท่างๆ ที่ทำงานที่อุณหภูมิต่างกัน ดังภาพที่ 2.9



ภาพที่ 2.9 ความสัมพันธ์ของช่วงอุณหภูมิและการทำความสะอาดสิ่งปนเปื้อนในก๊าซน้ำมันดิน [22]

นอกจากนี้น้ำมันดิน ยังเป็นสารประกอบเชิงซ้อนที่เกิดจากการควบแน่นของสารไฮโดรคาร์บอน และสารประกอบเชิงซ้อนอื่นที่เกิดขึ้นในขั้นตอนของการสลายตัวด้วยความร้อน ในระหว่างกระบวนการผลิตก๊าซชีวมวล มีสารองค์ประกอบต่างๆ มากกว่า 10 ชนิด ทั้งที่เป็นสารอินทรีย์ที่ไม่บริสุทธิ์ สารอินทรีย์ที่ไม่บริสุทธิ์ ฝุ่น และก๊าซต่างๆ รวมทั้งก๊าซชีวมวลที่เผาไหม้ได้ และก๊าซชีวมวลที่เผาไหม้ไม่ได้ สารอินทรีย์ที่ไม่บริสุทธิ์ประกอบด้วยสารไฮโดรคาร์บอนที่มีน้ำหนักโมเลกุลเบา ไปจนถึงสารไฮโดรคาร์บอนที่มีน้ำหนักโมเลกุลสูง สำหรับสารไฮโดรคาร์บอนที่มีโมเลกุลเบา สามารถใช้เป็นเชื้อเพลิงในเครื่องยนต์ได้ แต่สารไฮโดรคาร์บอนที่มีโมเลกุลหนัก เช่น น้ำมันดิน จะควบแน่นหรือเปลี่ยนโครงสร้างโมเลกุลที่ทางออกของก๊าซ ทำให้เกิดปัญหา กับอุปกรณ์ต่างๆ ที่นำไปใช้งานเนื่องจากสารอินทรีย์ที่ไม่บริสุทธิ์ประกอบด้วยสารไฮโดรคาร์บอนที่มีน้ำหนักโมเลกุลต่างๆ กัน ซึ่งมีทั้งสารไฮโดรคาร์บอนเบาที่นำไปใช้เป็นเชื้อเพลิงได้ และสารไฮโดรคาร์บอนหนัก ดังนั้นจึงได้มีการกำหนดนิยามของน้ำมันดินโดยองค์กรพลังงานระหว่างชาติ (The International Energy Agency; IEA) และกรมพลังงาน (Department of Energy; DOE) แห่งประเทศไทย ได้ตกลงร่วมกันกำหนดความหมายของน้ำมันดิน หมายถึงองค์ประกอบทั้งหมดของผลิตภัณฑ์ที่ได้จากการกระบวนการผลิต ก๊าซเชื้อเพลิงที่มีน้ำหนักโมเลกุลมากกว่าเบนซิน (benzene) [15] ปริมาณสารองค์ประกอบต่างๆ ที่พบในน้ำมันดิน ดังตารางที่ 2.7

ตารางที่ 2.7. ปริมาณสารองค์ประกอบต่างๆ ในน้ำมันดิน [2]

องค์ประกอบ	น้ำหนัก (%)
เบนซิน	37.9
โกลูอีน	14.3
สารอโรมาติกไฮโดรคาร์บอน 1 วงศ์	13.9
แแพพทาลีน	9.6
สารอโรมาติกไฮโดรคาร์บอน 2 วงศ์	7.8
สารอโรมาติกไฮโดรคาร์บอน 3 วงศ์	3.6
สารอโรมาติกไฮโดรคาร์บอน 4 วงศ์	0.8
สารประกอบฟีโนลิก	4.6
สารประกอบไฮเดอโรไซคลิก	6.5
สารประกอบอื่น	1.0

เตาผลิตก้าชชีมวลแต่ละชนิด ก็มีปริมาณน้ำมันดินที่ป่นเปี้ยนมากับก้าชชีมวลที่ผลิตได้มากน้อยไม่เท่ากัน เพราะเตาผลิตก้าชชีมวลชนิดต่างๆ มีลักษณะและกลไกในการทำงานที่แตกต่างกัน ซึ่งจะมีผลต่อปริมาณน้ำมันดินที่ป่นเปี้ยนออกมากับก้าชชีมวล ปริมาณน้ำมันดินที่ผลิตจากเตาผลิตก้าชชีมวลแบบต่างๆ ดังตารางที่ 2.8

ตารางที่ 2.8 ปริมาณน้ำมันดินที่ผลิตจากเครื่องผลิตก้าชเชือเพลิงแบบต่างๆ [22]

เครื่องผลิตก้าชเชือเพลิง	ปริมาณน้ำมันดิน ในก้าชเชือเพลิง (g/Nm³)	ปริมาณน้ำมันดิน ต่อน้ำหนักชีมวล (%)
แบบไฟลขั้น	50	10-20
แบบไฟลลง	น้อยกว่า 1	น้อยกว่า 2
แบบเบดเคลื่อนที่แบบของไฟล	10	1-5
แบบอนุภาคไฟลเป็นแท่ง	น้อยมากไม่สามารถ ตรวจวัดได้	น้อยมากไม่สามารถ ตรวจวัดได้

2.3.1 การวิเคราะห์องค์ประกอบของก้าชชีมวลโดยการประมาณค่า

การวิเคราะห์องค์ประกอบของก้าชชีมวลโดยการประมาณค่า [13] (proximate analysis) จะวิเคราะห์โดยอ้างอิงหลักวิธีการวิเคราะห์ทางค์ประกอบโดยประมาณของถ่านหินและถ่านโค้ก ที่กำหนดตามมาตรฐานการทดสอบ และวัสดุของสมาคมอเมริกันสำหรับถ่านหิน ASTM D3172-07 ซึ่งได้กำหนดมาตรฐานวิธีการวิเคราะห์และมาตรฐานปริมาณที่ต้องการทำการวิเคราะห์ไว้ การวิเคราะห์องค์ประกอบของก้าชชีมวลหรือเชือเพลิงแข็งโดยการประมาณค่า ปริมาณที่ทำการวิเคราะห์มี 4 ปริมาณได้แก่

(1) ความชื้น (Moisture Content) ความชื้นที่อยู่ในเชื้อเพลิงหรือชีวมวลจะใช้วิเคราะห์อ้างอิงตามมาตรฐานการทดสอบและวัสดุของอเมริกันสมาคม โดยเชื้อเพลิงไม่ใช้วิเคราะห์ตามมาตรฐาน D-871-1762-84 (ASTM D-1762-84) และสำหรับเชื้อเพลิงขยะ (refuse derived fuel: RDF) ใช้วิเคราะห์ตามมาตรฐาน E-949-88 (ASTM E-949-88) ซึ่งวิธีการวิเคราะห์ตามมาตรฐานต่างๆ จะแตกต่างกันไป เช่นการวิเคราะห์ค่าความชื้นของไม้ตามมาตรฐานการทดสอบและวัสดุของอเมริกันสมาคม D-1762-84 (ASTM D-1762-84) จะใช้มีตัวอย่างในการวิเคราะห์น้ำหนัก 50 g อบในเตาอบที่อุณหภูมิ 103 °C เป็นระยะเวลา 30 min และหลังจากนั้นทิ้งไม่ไว้ในเตาอบที่ควบคุมอุณหภูมิที่ 103 °C เป็นระยะเวลา 16 hr และหลังจากนั้นนำไม้ออกมาซึ่งน้ำหนัก น้ำหนักที่หายไปคือค่าความชื้นที่อยู่ในไม้

(2) สารระเหย (Volatile Matter) สารระเหยที่อยู่ในชีวมวลหมายถึง ไอที่สามารถควบแน่นได้ และไอที่ไม่สามารถควบแน่นได้ ที่ปล่อยออกมามีอีกชื่อว่าความร้อน ปริมาณสารระเหยที่ปล่อยออกมายังชั้นกับอัตราการให้ความร้อนเชื้อเพลิงและอุณหภูมิ ในการวิเคราะห์ปริมาณสารระเหยจะใช้วิเคราะห์อ้างอิงตามมาตรฐานการทดสอบและวัสดุของอเมริกันสมาคม สำหรับเชื้อเพลิงไม่ใช้วิเคราะห์ตามมาตรฐาน E-872(ASTM E-872) การวิเคราะห์ทำโดยใช้เชื้อเพลิงไม้ตัวอย่าง 50 g ที่สุ่มมาจากเชื้อเพลิงไม้ 10 kg โดยการสุ่มตัวอย่างใช้วิธีตามมาตรฐาน D-346 (ASTM D-346) และนำตัวอย่างมาบดให้มีขนาดเล็กกว่า 1 mm และนำเชื้อเพลิงแห้งที่บดแล้วน้ำหนัก 1 g มาใช้ในการวิเคราะห์โดยวางตัวอย่างในเบ้าหลอมที่มีฝาปิดและใส่ลงไปในเตาอบที่มีอุณหภูมิ 950 °C โดยให้ความร้อนเป็นเวลา 7 min สารระเหยจะปล่อยออกมายังสามารถสังเกตได้จากเปลวไฟหลังจากนั้นนำตัวอย่างออกมาระหว่างทำให้เย็น และซึ่งน้ำหนักของเชื้อเพลิงไม้ น้ำหนักส่วนที่หายไปคือสารระเหย

(3) เถ้า (Ash) คือ สารอนินทรีย์ที่ยังคงเหลืออยู่หลังจากที่คาร์บอนในชีวมวลถูกเผาไหม้หมดแล้ว สารอนินทรีย์ที่อยู่ในเถ้าได้แก่ ซิลิกา อลูมิเนียม เหล็ก แคลเซียม แมกนีเซียม และโปรแทสเซียม เป็นต้น การวิเคราะห์องค์ประกอบของเถ้าสำหรับเชื้อเพลิงไม่ใช้วิธีการวิเคราะห์ตามมาตรฐานการทดสอบและวัสดุของอเมริกันสมาคม D-1102 (ASTM D-1102) การวิเคราะห์เถ้าทำโดยใช้เชื้อเพลิงไม้ตัวอย่าง 2 g ที่มีขนาดเล็กกว่า 475 μm อบแห้งตามวิธีมาตรฐาน และนำมาวางบนเบ้าหลอมที่ไม่ต้องปิดฝา และใส่ไว้ในเตาเผาอุณหภูมิสูง โดยให้อุณหภูมิเพิ่มขึ้นอย่างช้าๆ เมื่อคาร์บอนในชีวมวลถูกเผาไหม้หมดแล้ว ทิ้งไว้ให้เย็น และนำมาซึ่งน้ำหนัก น้ำหนักที่ได้เป็นน้ำหนักของเถ้าที่อยู่ในเชื้อเพลิง

(4) คาร์บอนคงตัว (Fixed Carbon) หมายถึง ปริมาณคาร์บอนในชีวมวลที่ยังคงเหลืออยู่ในถ่านชาร์ทหลังจากที่สารระเหยถูกปล่อยออกมายังกระบวนการสลายตัวด้วยความร้อน การหาค่าปริมาณคาร์บอนคงตัว สามารถหาได้เมื่อทราบปริมาณความชื้น ปริมาณสารระเหย และเถ้า โดยใช้ความสัมพันธ์ ดังสมการที่ (2.12)

$$F_C = 1 - M - VM - Ash \quad (2.12)$$

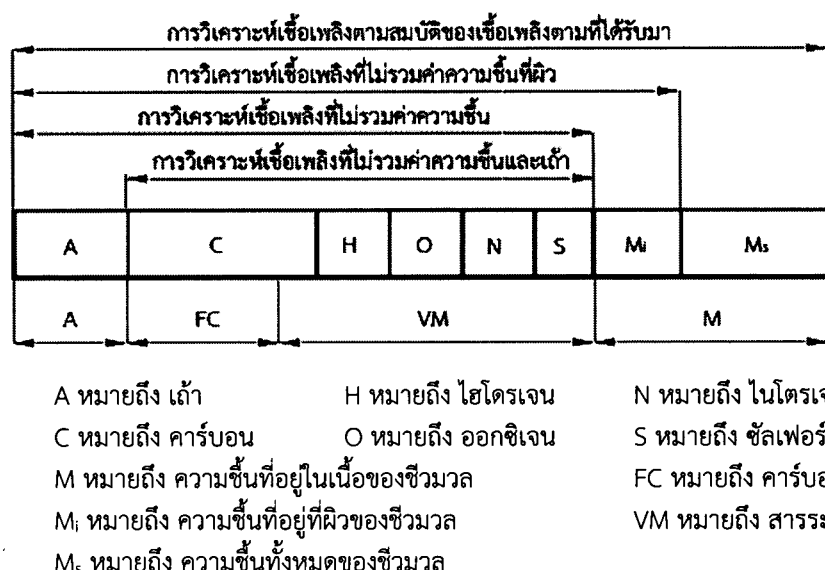
เมื่อ F_C = ปริมาณคาร์บอนคงตัว
 M = ปริมาณความชื้น
 VM = ปริมาณสารระเหย
 Ash = ปริมาณเถ้า

ปริมาณคาร์บอนคงตัวที่ได้จากการวิเคราะห์โดยการประมาณค่าและจากการวิเคราะห์โดยละเอียดจะมีค่าแตกต่างกัน เนื่องจากการวิเคราะห์โดยวิธีการประมาณค่าไม่ได้รวมคาร์บอนที่อยู่ในสารระเหย ซึ่งโดยปกติจะหมายถึงถ่านชาร์ทที่เกิดขึ้นหลังจากการสลายด้วยความร้อน

การวิเคราะห์องค์ประกอบของเชื้อเพลิงแข็งหรือชีวมวลโดยการประมาณค่าอาจทำการวิเคราะห์ตามลักษณะของชีวมวลที่ใช้ในการพิจารณาที่มีลักษณะที่แตกต่างกันเป็น 4 แบบ

- (1) วิเคราะห์เชื้อเพลิงตามสมบัติของเชื้อเพลิงตามที่ได้รับมา (As received basis)
- (2) วิเคราะห์เชื้อเพลิงภายใต้เงื่อนที่การพิจารณาว่าเชื้อเพลิงเป็นเชื้อเพลิงแห้ง (Total dry basis) เป็นการวิเคราะห์เชื้อเพลิงที่ไม่พิจารณาความชื้นทั้งหมดที่อยู่ในเชื้อเพลิง
- (3) วิเคราะห์เชื้อเพลิงภายใต้เงื่อนที่ไม่พิจารณาความชื้นที่ผิว (air dry basis) เป็นการวิเคราะห์เชื้อเพลิงแข็งที่ไม่พิจารณาความชื้นที่อยู่ที่ผิวของเชื้อเพลิงเป็นองค์ประกอบในเชื้อเพลิง
- (4) วิเคราะห์เชื้อเพลิงภายใต้เงื่อนที่การพิจารณาว่าเชื้อเพลิงเป็นเชื้อเพลิงแห้งและไม่มีเถ้า (dry ash free basis) ซึ่งเป็นการวิเคราะห์เชื้อเพลิงแข็งที่ไม่พิจารณาความชื้นและเถ้า เป็นองค์ประกอบในเชื้อเพลิง

การวิเคราะห์ภายใต้เงื่อนที่ต่างๆ ปริมาณที่ทำการวิเคราะห์และปริมาณองค์ประกอบที่วิเคราะห์ได้จะมีค่าแตกต่างกัน การวิเคราะห์องค์ประกอบโดยประมาณตามเกณฑ์ที่พิจารณา ต่างๆ กันจะได้ข้อมูลที่แตกต่างกัน เช่น การวิเคราะห์องค์ประกอบของเชื้อเพลิงแข็งตามลักษณะของเชื้อเพลิงตามที่ได้รับมา ข้อมูลที่ได้รับประกอบด้วย เถ้า คาร์บอน ไฮโดรเจน ออกซิเจน ในไตรเจน ชัลเฟอร์ คาร์บอนคงตัว สารระเหย ความชื้นที่อยู่ในเนื้อของชีวมวลและความชื้นที่อยู่ในผิวของชีวมวล ปริมาณที่ได้จากการวิเคราะห์เชื้อเพลิงแข็งตามเกณฑ์ต่างๆ ทั้ง 4 แบบ แสดงรายละเอียดดังภาพที่ 2.10



ภาพที่ 2.10 ปริมาณที่ใช้ในการวิเคราะห์องค์ประกอบของเชือกเหล็กโดยการประมาณค่าตามเกณฑ์ต่างๆ [2]

2.3.2 ปริมาณสารปนเปื้อนสูงสุดในก้าชชีวมวลที่ยอมรับได้ในการนำไปประยุกต์ใช้งานในด้านต่างๆ

จากตารางที่ 2.9 จะเห็นได้ว่ามีสารปนเปื้อนในก้าชชีวมวล ได้แก่ อนุภาคผุน น้ำมันดิน แอมโมเนีย ไฮโดรเจนซัลไฟด์ คลอรีน และก้าชคาร์บอนไดออกไซด์ ซึ่งจะต้องนำก้าชดิบเหล่านี้ไปผ่านระบบทำความสะอาด ก่อนนำไปใช้งานในด้านต่างๆ เช่น การนำไปใช้กับเครื่องยนต์สันดาปภายใน เพื่อผลิตไฟฟ้า การนำไปใช้กับเครื่องยนต์กังหันก้าช และการสังเคราะห์เมทานอล จึงจำเป็นต้องกำจัดสารปนเปื้อนในก้าชชีวมวลให้มีค่าไม่เกินค่ามาตรฐาน เพราะอาจทำให้อุปกรณ์ที่นำก้าชชีวมวลไปใช้งาน เกิดความเสียหายได้ สำหรับปริมาณสารปนเปื้อนสูงสุดในก้าชชีวมวลที่ยอมรับได้ในการนำไปประยุกต์ใช้งานในด้านต่างๆ สรุปได้ดังตารางที่ 2.9

ตารางที่ 2.9 ปริมาณสารปนเปื้อนสูงสุดในก๊าซเชื้อเพลิงที่ยอมรับได้ในการนำไปประยุกต์ใช้งาน ในด้านต่างๆ [14]

สารปนเปื้อน	หน่วย	เครื่องยนต์สันดาปภายใน	กังหันก๊าซ	สังเคราะห์เมทานอล
อนุภาคฝุ่น	mg/Nm ³	<50	<30	<0.02
ขนาดของอนุภาค	μm	<10	<5	-
น้ำมันดิน	mg/Nm ³	<100	-	<0.1
ด่าง	mg/Nm ³	-	0.24	-
แอมโมเนีย	mg/Nm ³	-	-	<0.1
ไฮโดรเจนซัลไฟร์ด	mg/Nm ³	-	-	<1
คลอรีน	mg/Nm ³	-	-	<0.1
ก๊าซคาร์บอนไดออกไซด์	% vol	ไม่จำกัด	ไม่จำกัด	<12

ในส่วนของปริมาณน้ำมันดินตามมาตรฐานในก๊าชชีวมวล สำหรับใช้ในเครื่องยนต์สันดาปภายใน (Internal combustion engine) และเครื่องยนต์กังหันก๊าซ (Gas turbine) ที่ยอมรับได้ ดังตารางที่ 2.10

ตารางที่ 2.10 ระดับของน้ำมันดินที่ยอมรับได้ในการใช้งานในเครื่องยนต์สันดาปภายใน และเครื่องยนต์กังหันก๊าซ

การนำไปใช้งาน	ความเข้มข้นของน้ำมันดินที่ยอมรับได้	อ้างอิง
เครื่องยนต์สันดาปภายใน	<10 mg/Nm ³	(Bui, Loof, and Bhattacharya, 1994) [23]
	สูงสุด 30 mg/Nm ³	(Bridgwater, 1995) [24]
	<100 mg/Nm ³	(BTG, 1995) [25]
	<100 mg/Nm ³	(Hasler and Nussbaumer, 1999) [26]
เครื่องยนต์กังหันก๊าซ	0.05-0.5 ppm	(Brown, 1996) [27]
	0.5 mg/Nm ³	(Aigner, 1996) [28]

2.4 ความสำคัญของการทำความสะอาดก๊าชชีวมวล

ก่อนที่จะนำก๊าชชีวมวลไปประยุกต์ใช้งานด้านต่างๆ นั้น จะต้องดูวัตถุประสงค์ของการนำก๊าชชีวมวลไปใช้งาน อย่างเช่น ถ้าต้องการนำก๊าซเชื้อเพลิงชีวมวลไปใช้งานด้านความร้อน ก็ไม่มีความจำเป็นสำหรับการทำความสะอาดก๊าชชีวมวล แต่ถ้าต้องการนำก๊าชชีวมวลไปใช้งานในเครื่องยนต์สันดาปภายในเพื่อผลิตไฟฟ้า จะต้องมีการทำความสะอาดก๊าชชีวมวล เพื่อไม่ให้

สารปนเปื้อนปริมาณผุ่นและน้ำมันดิน เกินค่ามาตรฐานที่กำหนด ดังนั้นจะต้องผ่านระบบทำความสะอาดก้าชชีวมวลก่อนนำไปใช้งาน

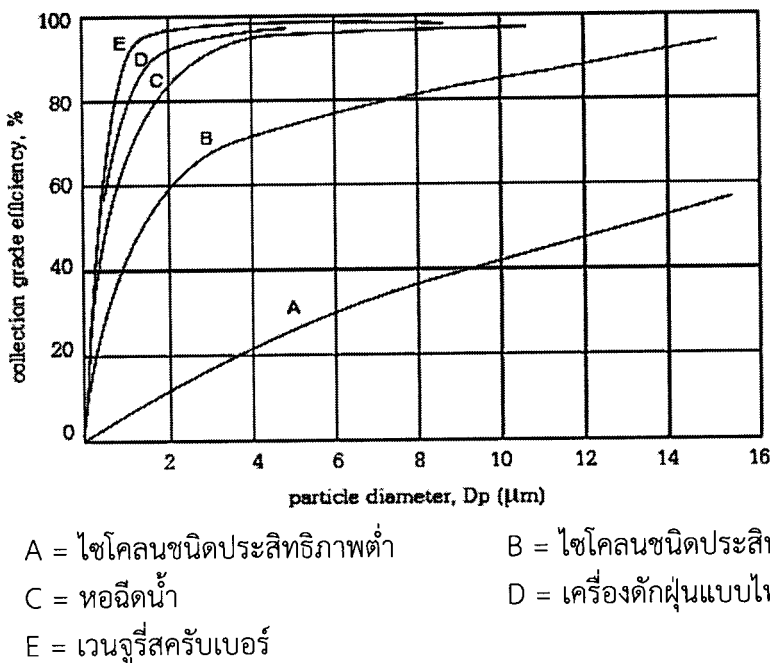
2.4.1 ระบบทำความสะอาดก้าชชีวมวล

ระบบทำความสะอาดก้าชชีวมวล เป็นระบบที่มีความสำคัญมากสำหรับระบบผลิต ก้าชชีวมวล เพราะก้าชที่ออกจากเตาผลิตก้าชนั้น มีอุณหภูมิและการเจือปนของสิ่งปนเปื้อนสูง โดยที่นำไปแล้ว การทำความสะอาดก้าชชีวมวลมีหลักการใหญ่ๆ 2 รูปแบบด้วยกัน คือ การทำความสะอาดแบบแห้งและการทำความสะอาดแบบเปียก ซึ่งประสิทธิภาพและหลักการทำงานก็จะต่างกัน ออกไปแล้วแต่ชนิด ซึ่งมีรายละเอียดดังนี้

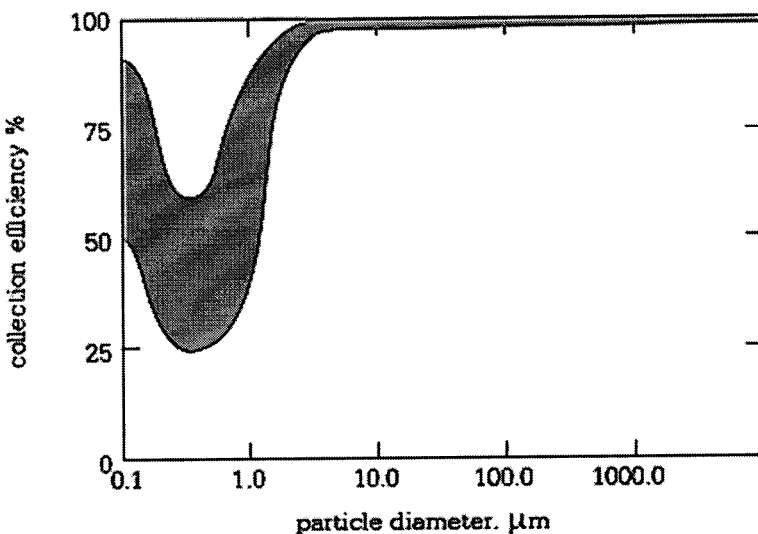
(1) การทำความสะอาดก้าชชีวมวลแบบแห้ง เป็นอุปกรณ์ที่สร้างง่าย และมีโครงสร้างไม่ซับซ้อน ราคาถูก สามารถดักหรือแยกฝุ่นที่มีปริมาณและความเข้มข้นมากได้ดี ไม่ต้องการการดูแล รักษามากนัก เนื่องจากไม่มีชิ้นส่วนที่เคลื่อนไหว ยกตัวอย่างเช่น ไซโคลนดักฝุ่น (cyclone dust collector) เครื่องดักฝุ่นแบบผ้ากรอง (fabric dust collector) เครื่องดักฝุ่นแบบไฟฟ้าสถิต (electrostatic precipitator) และเครื่องดักฝุ่นแบบสำเร็จรูป (unit dust collector) [29]

(2) การทำความสะอาดก้าชชีวมวลแบบเปียก เป็นอุปกรณ์ที่ใช้หลักการทำงานโดยอาศัย การสัมผัสน้ำระหว่างฝุ่น (หรือสารปนเปื้อนที่เป็นก้าชและไอ) กับของเหลวซึ่งโดยปกติใช้น้ำ การสัมผัสน้ำจะทำให้ฝุ่นและสิ่งปนเปื้อนละลายในน้ำหรือถูกพาไปกับน้ำ ส่งผลให้ฝุ่นมีขนาดใหญ่ขึ้นและแยกตัวออกจากก้าช โดยฝุ่นที่แยกออกมามีลักษณะคล้ายโคลน (sludge) ในกรณีที่เป็นฝุ่นละเอียด ของเหลวที่ใช้จะต้องมีลักษณะเป็นหยดเล็กๆ หรือเป็นฝอยละเอียง และต้องให้เหลวหรือเคลื่อนที่ด้วย ความเร็วสูงซึ่งลักษณะเช่นนี้ต้องใช้พลังงานมาก โดยพลังงานที่ใช้เพื่อการทำให้ของเหลวสัมผัสน้ำกับฝุ่น ถือเป็นตัวแปรที่สำคัญที่ส่งผลต่อค่าใช้จ่ายในการทำงานของอุปกรณ์ดักฝุ่นแบบนี้ ยกตัวอย่างอุปกรณ์ ดักฝุ่นแบบเปียก เช่น หอพ่นของเหลว (spray tower or spray chamber) scrimber เบอร์แบบแพ๊กเบด (packed-bed scrubber) scrimber เบอร์แบบแรงเหวี่ยงหนีศูนย์กลาง (centrifugal scrubber) และ scrimber เบอร์แบบเวนจูรี (venturi scrubber) [29]

ตัวอย่างกราฟแสดงประสิทธิภาพการดักจับฝุ่น แยกตามขนาดของอนุภาคซึ่งเรียกว่า Grade Efficiency Curve ของอุปกรณ์ดักฝุ่นชนิดต่างๆ ดังภาพที่ 2.11 นอกจากนี้ ประสิทธิภาพในการดักจับฝุ่นของอุปกรณ์ ยังขึ้นอยู่กับขนาดของฝุ่นและสภาพการเดินเครื่องการทำงาน ความสัมพันธ์ระหว่างขนาดของอนุภาคกับประสิทธิภาพในการดักจับฝุ่น ดังภาพที่ 2.12



ภาพที่ 2.11 ตัวอย่างกราฟแสดงประสิทธิภาพย่อยของอุปกรณ์ดักฝุ่นแบบต่างๆ [30]



ภาพที่ 2.12 ความสัมพันธ์ระหว่างขนาดของอนุภาคกับประสิทธิภาพในการจับฝุ่น [31]

ในส่วนรายละเอียดของอุปกรณ์ที่ใช้ในการทำความสะอาดก้าชซีมวล จะกล่าวถึงรายละเอียดของอุปกรณ์ดักฝุ่นแบบเปียกที่ใช้ในการทดลองในงานวิจัยนี้ ซึ่งมีรายละเอียดดังข้อ 2.4.2

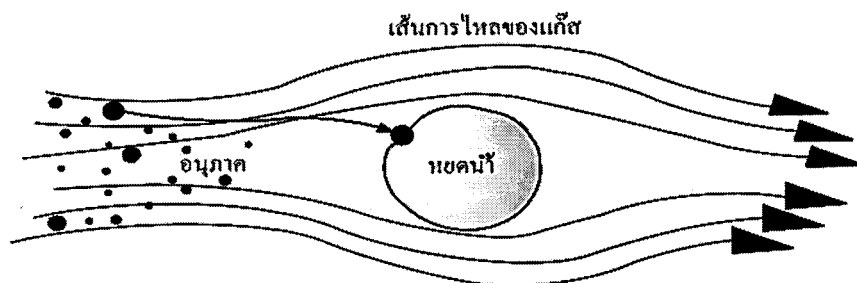
2.4.2 อุปกรณ์ดักฝุ่นแบบเปียกหรือสครับเบอร์แบบเปียก (Wet scrubber)

สครับเบอร์แบบเปียก (Wet scrubber) เป็นอุปกรณ์ที่ใช้ดักจับอนุภาคฝุ่นละเอียด โดยใช้หydน้ำหรือละอองน้ำ เพื่อแยกอนุภาคฝุ่นออกจากกระแสงก้าช โดยใช้น้ำหรือของเหลวเป็นตัวกลาง สามารถทำได้ 3 วิธี คือ 1) ฉีดน้ำเป็นละอองฝอยผ่านไปยังกระแสงก้าช 2) ปล่อยให้กระแสงก้าชไหลผ่าน

พิล์มของเหลวหรือน้ำด้วยความเร็วสูง และ 3) ปล่อยให้กระแสก้าชไหลผ่านแผ่นวัสดุที่มีของเหลวเคลือบที่ผิว เครื่องดักจับฝุ่นแบบเปียกนอกจากจะสามารถตัดจับฝุ่นขนาดเล็กที่ปนเปื้อนในกระแสก้าชได้แล้ว ยังสามารถช่วยลดอุณหภูมิของก้าชได้ด้วย

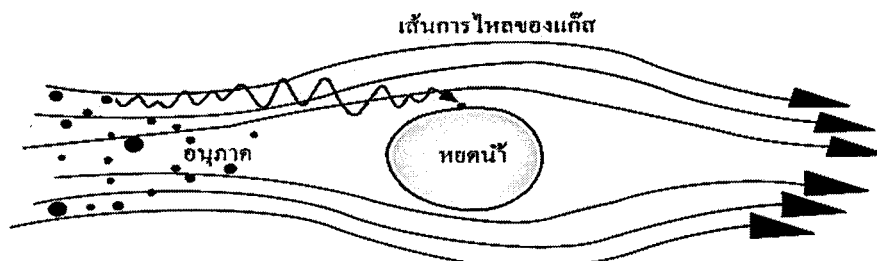
(1) กลไกการดักจับฝุ่นในอุปกรณ์ดักจับฝุ่นแบบเปียก อาศัยกลไกต่างๆ ที่เกิดขึ้นระหว่างอนุภาคฝุ่น กระแสก้าชและน้ำ ซึ่งได้แก่ การกระทบและการแพร่

การดักจับอนุภาคฝุ่นโดยใช้การกระทบกันระหว่างอนุภาคฝุ่นกับละอองน้ำ เกิดขึ้นเมื่อฉีดหยดน้ำผ่านในกระแสก้าช จากความแรงของน้ำที่ฉีดไปกระทบอนุภาค จะทำให้อนุภาคฝุ่นเบนออกจากการกระแสก้าชและติดอยู่กับหยดน้ำ ไม่สามารถเคลื่อนที่ไปกับกระแสก้าชได้ ขนาดของแรงกระทบจะมีค่าประมาณขนาดของอนุภาคฝุ่น โดยแรงกระทบจะมีค่ามากขึ้นเมื่ออนุภาคฝุ่นมีขนาดใหญ่ขึ้น กระแสก้าชมีความเร็วมากกว่า 3 m/s และอนุภาคฝุ่นที่มีเส้นผ่านศูนย์กลางมากกว่า $1 \mu\text{m}$ จะรับแรงกระทบได้ดี แรงกระทบที่กระทบทำกับอนุภาคฝุ่นและละอองน้ำ ดังภาพที่ 2.13



ภาพที่ 2.13 แรงกระทบที่กระทบทำกับอนุภาคฝุ่นและละอองน้ำ [32]

ส่วนการดักจับอนุภาคฝุ่นโดยใช้การแพร่ จะเกิดขึ้นในกรณีที่อนุภาคฝุ่นมีขนาดเล็กมากที่มีขนาดเส้นผ่านศูนย์กลางน้อยกว่า $1 \mu\text{m}$ อนุภาคเหล่านี้จะเบาและชนกับโมเลกุลของก้าชขณะเคลื่อนที่ในกระแสก้าช การชนกันจะทำให้อนุภาคฝุ่นเคลื่อนที่ไปในทิศทางของการแพร่ กลไกการดักจับอนุภาคฝุ่นโดยการแพร่ ดังภาพที่ 2.14



ภาพที่ 2.14 กลไกการดักจับอนุภาคฝุ่นโดยการแพร่ [32]

(2) ขั้นตอนการดักจับอนุภาคฝุ่นในอุปกรณ์ดักจับฝุ่นแบบเปียก การดักจับอนุภาคฝุ่นโดยใช้อุปกรณ์ดักจับฝุ่นแบบเปียก มีขั้นตอนที่เกิดขึ้น 3 ขั้นตอน [13] ได้แก่

ขั้นตอนที่ 1 การดักจับอนุภาคฝุ่น ขั้นตอนนี้อนุภาคฝุ่นที่อยู่ในกระแสแก๊ส จะถูกดักจับด้วยหยดน้ำหรือพิล์มนของของเหลว หรือแผ่นวัสดุที่มีของเหลวเคลือบผิว

ขั้นตอนที่ 2 การแยกหยดน้ำออกจากกระแสแก๊ส ขั้นตอนนี้จะใช้เครื่องดักловองน้ำเพื่อแยกหยดน้ำออกจากกระแสแก๊ส

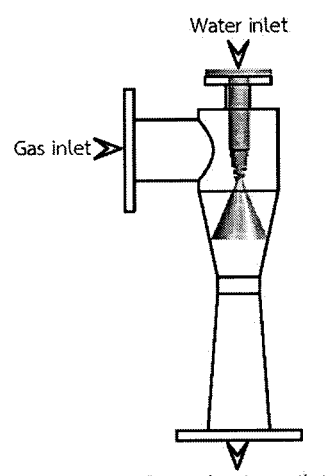
ขั้นตอนที่ 3 การบำบัดของเหลวที่จับฝุ่น ขั้นตอนนี้ของเหลวที่มีฝุ่นปนเปื้อนจะปล่อยทึ้งลงในบ่อพัก ซึ่งจะต้องทำการบำบัดก่อนทึ้งลงท่อระบายน้ำทึ้ง

อุปกรณ์ดักฝุ่นแบบเปียกที่นิยมนำไปใช้งานและให้ประสิทธิภาพสูงในการดักจับสิ่งปนเปื้อนที่มา กับกระแสแก๊สในระบบแก๊สโซเชน มี 2 แบบ ได้แก่ อุปกรณ์ดักฝุ่นแบบเปียกชนิดคอกอดและอุปกรณ์ดักฝุ่นแบบเปียกชนิดเวนจูร์ มีรายละเอียดดังนี้

(1) อุปกรณ์ดักฝุ่นแบบเปียกชนิดคอกอด (Venturi scrubber) เป็นอุปกรณ์ที่ใช้หลักการทำงาน คือ กระแสแก๊สจะถูกบังคับให้ไหลผ่านอุปกรณ์ที่เรียกว่า คอกอด (venturi) ซึ่งเป็นอุปกรณ์ที่ถูกออกแบบมาให้มีลักษณะคอที่แคบลง ทำให้กระแสแก๊สไหลผ่านด้วยความเร็วสูงหรือถูกเร่งความเร็ว โดยจะมีการสเปรย์น้ำฉีดในทิศทางเดียวกันกับกระแสแก๊ส เมื่อออกจากบริเวณคอกอด ความเร็วของกระแสแก๊สและสเปรย์น้ำก็ลดลง จึงเกิดการสัมผัสน้ำระหว่างก้าชกับสเปรย์น้ำ ทำให้ดักจับสิ่งปนเปื้อนที่มา กับกระแสแก๊สได้อย่างมีประสิทธิภาพ อุปกรณ์ดักฝุ่นนี้มีส่วนประกอบหลักๆ ที่สำคัญ คือ ส่วนของหัวฉีดน้ำ ทางเข้าของก้าช ห้องผสม และส่วนที่เป็นหัวใจสำคัญของระบบนี้คือท่อเวนจูร์ (Venturi tube) ทั้งนี้อุปกรณ์ดักฝุ่นแบบเปียกชนิดคอกอดจะมีช่วงความดันน้ำใช้งาน โดยมีรายละเอียดดังตารางที่ 2.11 ส่วนลักษณะการสเปรย์น้ำฉีดของอุปกรณ์ดักฝุ่นแบบเปียกชนิดคอกอด ดังภาพที่ 2.15

ตารางที่ 2.11 ช่วงความดันน้ำฉีดของอุปกรณ์ดักฝุ่นแบบเปียกชนิดคอกอด

อุปกรณ์	ความดันน้ำฉีด
Venturi scrubber	7-100 kPa [33]



Venturi scrubber

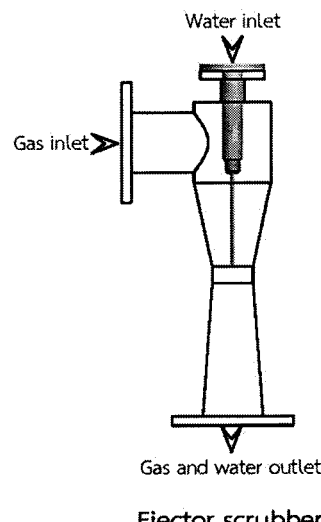
ภาพที่ 2.15 ลักษณะการสเปรย์น้ำฉีดของอุปกรณ์ดักฝุ่นแบบเปียกชนิดคอกอด

สมรรถนะของอุปกรณ์ดักฝุ่นแบบเบียกชนิดคอกอด เป็นอุปกรณ์ที่นิยมใช้งานกันอย่างแพร่หลายในระบบผลิตก้าชีวมวล เนื่องจากเป็นอุปกรณ์ที่มีประสิทธิภาพในการดักจับอนุภาคฝุ่นที่มีขนาดเล็กสูงมาก และเป็นอุปกรณ์ที่ใช้พลังงานน้อย เพราะใช้ความตันน้ำเฉียดไม่สูง และเส้นผ่านศูนย์กลางวิกฤตของอนุภาคที่เก็บได้ 50% คือประมาณ $0.1 \mu\text{m}$ [48]

(2) อุปกรณ์ดักฝุ่นแบบเบียกชนิดอีเจ็คเตอร์ (Ejector scrubber) ใช้หลักการทำงานเหมือนกันกับชนิดคอกอด ต่างกันที่การสเปรย์น้ำเฉียดเป็นลำ ใช้ความตันน้ำเฉียดด้วยความเร็วสูงกว่า อุปกรณ์ชนิดคอกอด ทั้งนี้อุปกรณ์ดักฝุ่นแบบเบียกชนิดอีเจ็คเตอร์จะมีช่วงความตันน้ำใช้งาน โดยมีรายละเอียดดังตารางที่ 2.12 และลักษณะการสเปรย์น้ำเฉียดของอุปกรณ์ดักฝุ่นแบบเบียกชนิดอีเจ็คเตอร์ ดังภาพที่ 2.16

ตารางที่ 2.12 ช่วงความตันน้ำเฉียดของอุปกรณ์ดักฝุ่นแบบเบียกชนิดอีเจ็คเตอร์

อุปกรณ์	ความตันน้ำเฉียด
Ejector scrubber	100-830 kPa [33]



ภาพที่ 2.16 ลักษณะการสเปรย์น้ำเฉียดของอุปกรณ์ดักฝุ่นแบบเบียกชนิดอีเจ็คเตอร์

สมรรถนะของอุปกรณ์ดักฝุ่นแบบเบียกชนิดอีเจ็คเตอร์ อุปกรณ์ดักฝุ่นแบบเบียกชนิดนี้ เป็นอุปกรณ์ที่มีอัตราส่วนของการเหนี่ยวนำกระแสงก้าชในระบบได้สูง เนื่องจากเป็นอุปกรณ์ที่ใช้ความตันน้ำเฉียดที่มีความเร็วสูง และเป็นอุปกรณ์ที่มีความตันสูญเสียน้อยมากเมื่อเทียบกับอุปกรณ์ดักฝุ่นแบบเบียกชนิดต่างๆ และเส้นผ่านศูนย์กลางวิกฤตของอนุภาคที่เก็บได้ 50% คือ ประมาณ $0.2 \mu\text{m}$ [34]

สำหรับขนาดของอนุภาคเล็กสุดที่ดักเก็บไว้ได้ของอุปกรณ์ทั้ง 2 แบบ คือ อุปกรณ์ชนิดคอกอดดักเก็บอนุภาคได้ขนาดเล็กสุด $0.1 - 0.3 \mu\text{m}$ ส่วนอุปกรณ์ชนิดอีเจ็คเตอร์ดักเก็บอนุภาคได้ขนาดเล็กสุด $0.5 - 1.0 \mu\text{m}$ [35]

การคำนวณหาปริมาณฝุ่นที่ตักจับได้ของอุปกรณ์ตักฝุ่นแบบเปียกทั้ง 2 แบบ หาได้จากสมการที่ (2.13)

$$M_c = M_i - M_r \quad (2.13)$$

โดยที่ M_c = ปริมาณฝุ่นที่อุปกรณ์ตักฝุ่นแบบเปียกสามารถตักจับได้ (mg)

M_i = มวลของอนุภาคทั้งหมดที่เข้าอุปกรณ์ตักฝุ่นแบบเปียก (mg)

M_r = มวลของอนุภาคหลังออกจากอุปกรณ์ตักฝุ่นแบบเปียก (mg)

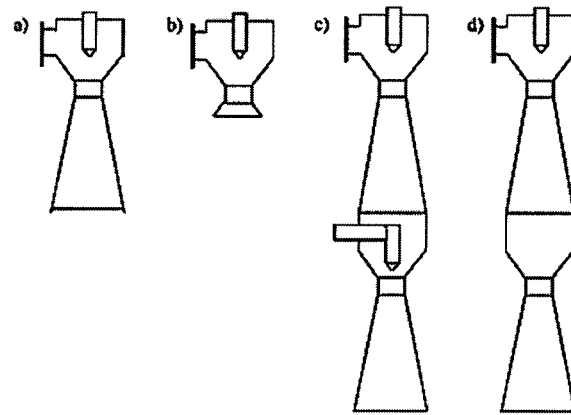
ส่วนประสิทธิภาพในการตักเก็บอนุภาค (Collecting efficiency) หมายถึง อัตราส่วนของอนุภาคที่สามารถตักเก็บไว้ได้ต่ออนุภาคทั้งหมดที่ผ่านเข้ามาในระบบ ของอุปกรณ์ตักฝุ่นแบบเปียก โดยสามารถหาประสิทธิภาพของอุปกรณ์ตักฝุ่นแบบเปียก ได้จากการคำนวณในความสัมพันธ์ ในสมการที่ (2.14) [36]

$$\eta_r = \frac{M_c}{M_i} \times 100 \quad (2.14)$$

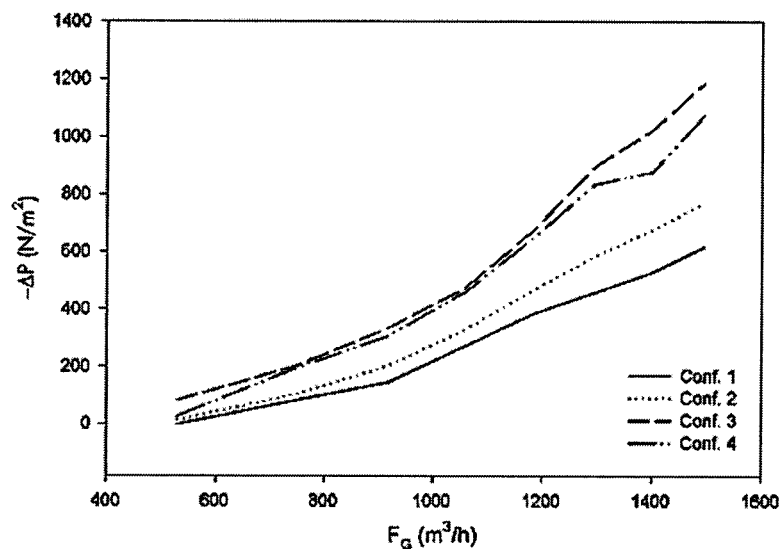
โดยที่ η_r = ประสิทธิภาพรวมของอุปกรณ์ตักฝุ่นแบบเปียก

2.5 งานวิจัยที่เกี่ยวข้อง

X. Gamisans et al. (2002) [37] ศึกษาการกำจัดก้าชพิษโดยการพ่นของเหลวหนึ่งตำแห่งและสองตำแห่งใน Venturi scrubber หนึ่งชั้นและสองชั้น ซึ่งแบ่งการศึกษาออกเป็น 4 กรณี คือ ทำการสเปรย์น้ำบริเวณด้านบนของเวนจูรีชั้นเดียว ภาพที่ 2.17 (a) ทำการสเปรย์น้ำด้านบนของเวนจูรีชั้นเดียว ภาพที่ 2.17 (b) ทำการสเปรย์น้ำสองตำแห่งในเวนจูรีสองชั้น ภาพที่ 2.17 (c) ทำการสเปรย์น้ำด้านบนเวนจูรีหนึ่งตำแห่ง ในเวนจูรีสองชั้น ภาพที่ 2.17 (d) จากการศึกษาพบว่า ที่อัตราการไหลของน้ำที่ $5.0 \text{ m}^3/\text{hr}$ กรณีที่ 3 เกิดการสูญเสียความดันมากที่สุด กรณีที่ 4 กรณีที่ 2 และกรณีที่ 1 ตามลำดับ และการสเปรย์น้ำในกรณีที่ 3 ภาพที่ 2.17 (c) สามารถลดสารบันเปื้อนได้ดีที่สุด

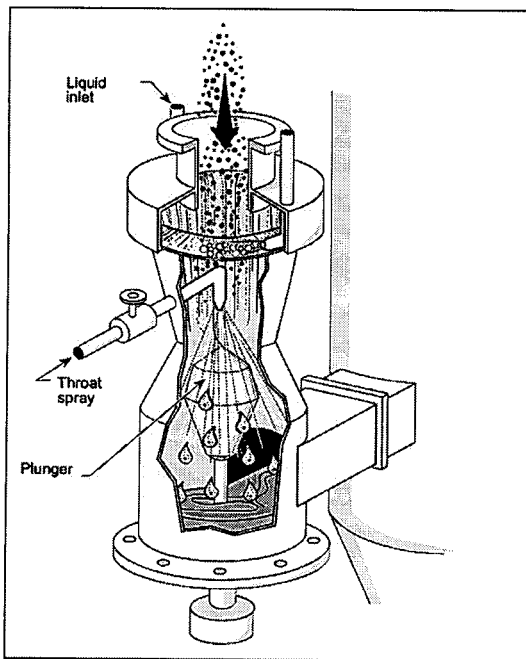


ภาพที่ 2.17 ตัวอย่างในการศึกษาการกำจัดก๊าซพิษโดยเวนจูรี [37]



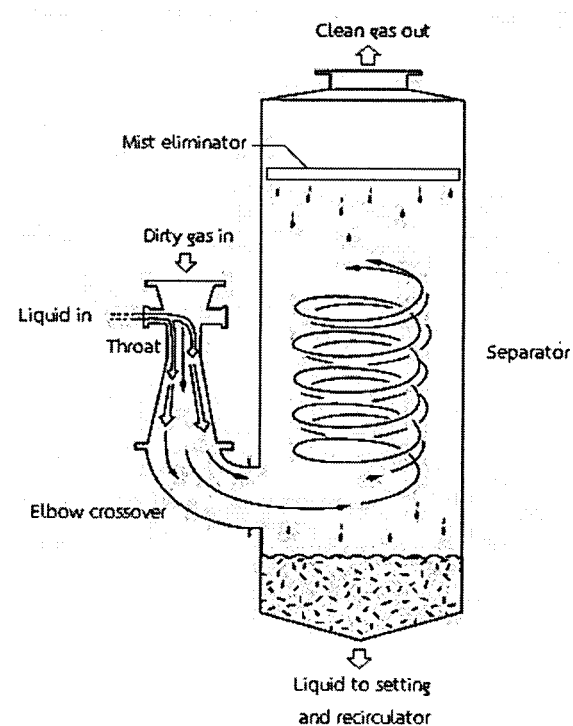
ภาพที่ 2.18 กราฟแสดงการสูญเสียความดันในระบบสเปรย์น้ำในเวนจูรี [37]

H.F. Johnstone et al. (1949) [38] ได้ศึกษาออกแบบเครื่องดักจับอนุภาคและสิ่งปนเปื้อนในก๊าซพิษ โดยใช้ Venturi scrubber โดยก๊าซพิษถูกส่งเข้าไปในอุปกรณ์โดยใช้ใบเวอร์ จึงเกิดการผสมระหว่างก๊าซพิษกับละอองน้ำ และเกิดการไหลแบบปั่นป่วนบริเวณทางออกของคอกด มีเวลาสัมผัสนานมากขึ้น ซึ่งเป็นผลดีต่อการผสมกันของก๊าซพิษกับละอองน้ำ สามารถกำจัดสิ่งปนเปื้อนในก๊าซพิษได้อย่างมีประสิทธิภาพ



ภาพที่ 2.19 ลักษณะการทำงานของเครื่องดักอนุภาค [38]

C. David Cooper et al. (2002) [39] ได้ทำการศึกษาการทำงานและประสิทธิภาพของ scrubber แบบเวนจูรี (venturi scrubber) พบว่าอุปกรณ์ชนิดนี้สามารถดักจับอนุภาคที่มีขนาดเล็ก กว่า 1 μm ได้ โดยกระแทก้าชพิษจะถูกบังคับให้ไหลผ่านอุปกรณ์ที่เรียกว่า เวนจูรี ซึ่งเป็นอุปกรณ์ที่ถูก ออกแบบมาให้มีคอที่แคบลง ทำให้กระแทก้าชไหลผ่านด้วยความเร็วสูงหรือถูกเร่งความเร็ว โดยจะมี การฉีดพ่นน้ำที่บริเวณคอหรือบริเวณก่อนที่จะถึงบริเวณคอ และจากการไหลของกระแทก้าช ด้วยความเร็วสูง ทำให้น้ำเกิดการแตกตัวเป็นละอองหรือหยดน้ำเล็กๆ ที่มีความเร็วสูง ส่งผลให้สามารถ ดักจับอนุภาคที่มากับกระแทก้าช โดยมีกลไกการกรบทด้วยความเร็ว ซึ่งเป็นกลไกที่สำคัญที่สุด ใน การดักจับอนุภาค และเนื่องจากมีการแตกตัวเป็นหยดน้ำเล็กๆ ที่มีความเร็วสูงนี้ ทำให้scrubber แบบเวนจูรีนี้ บางที่ถูกเรียกว่า gas atomizing spray scrubbers ภายหลังจากที่หยดน้ำดักจับอนุภาค ได้แล้ว จะถูกปล่อยให้แยกตัวออกจากกระแทก้าช ซึ่งโดยทั่วไปจะใช้ไซโคลน หรือที่ดัก ละอองน้ำในการแยกน้ำออกจากกระแทก้าช scrubber แบบเวนจูรีถึงแม้จะมีประสิทธิภาพในการ ดักจับอนุภาคสูง แต่ก็มีค่าความดันสูญเสียที่สูงด้วย ดังนั้นscrubber ประเภทนี้จึงจัดเป็นscrubber ที่ใช้พลังงานสูง



ภาพที่ 2.20 ศครับเบอร์แบบเวนจูรี [39]

สุทธิพงศ์ นิมเจริญ และคณะ (2545) [40] ศึกษาการกำจัดฝุ่นโรงงานไม้ไผ่อัดโดยใช้โคลนและศครับเบอร์แบบเปียก จากการทดลองพบว่าความเร็วอากาศที่เหมาะสมต่อการกำจัดฝุ่นของใช้โคลนมีค่า 27 m/s โดยมีประสิทธิภาพในการกำจัดฝุ่นร้อยละ 82.50 ความเร็วอากาศที่เหมาะสมต่อการดักจับฝุ่นของศครับเบอร์แบบเปียกมีค่า 0.41 m/s โดยไม่มีวัสดุตัวกลาง มีประสิทธิภาพในการดักจับฝุ่นร้อยละ 61.11 และอัตราการไหลที่เหมาะสมต่อการกำจัดฝุ่นของห้องระบบมีค่า $0.20 \text{ m}^3/\text{s}$ โดยไม่มีวัสดุตัวกลาง มีประสิทธิภาพในการกำจัดฝุ่นร้อยละ 90.74

บรรเทิง เจ้าป่าด และคณะ (2547) [41] ได้ศึกษาตัวแปรที่มีผลต่อประสิทธิภาพในการยึดจับฝุ่นในช่วงขนาดต่างๆ ของเครื่องเก็บฝุ่นแบบเปียกชนิดคอกอด ซึ่งตัวแปรที่สนใจ คือ ความเข้มข้นของอนุภาคฝุ่นในกระแสก๊าซ และอัตราส่วนน้ำต่ออัตราการไหลของก๊าซ พบร่วมประสิทธิภาพในการยึดจับอนุภาคจะสูงขึ้น เมื่ออนุภาคมีขนาดใหญ่ขึ้นและอัตราส่วนน้ำเพิ่มขึ้น

มานะ ออมรกิจบำรุง และคณะ (2548) [42] ได้ออกแบบสร้างอุปกรณ์ดักจับฝุ่นตันแบบชนิดใช้โคลนศครับเบอร์และศึกษาปัจจัยที่มีผลต่อประสิทธิภาพในการดักจับฝุ่น ได้แก่ อัตราส่วนของปริมาณน้ำต่อปริมาณอากาศบนฝุ่นที่เข้าในระบบ ($L/G = 2.8, 3.4$ และ 4.4 l/m^3) จำนวนและตำแหน่งของหัวฉีดน้ำ ความเข้มข้นของฝุ่นที่ทางเข้า ($Cd = 2, 4, 6$ และ 8 g/m^3) อนุภาคฝุ่นที่ใช้ในการทดลองคืออนุภาคฝุ่นถ่านหินจากโรงไฟฟ้าแม่มาเจียงหวัดลำปาง ซึ่งมีขนาดเส้นผ่านศูนย์กลางเฉลี่ยเท่ากับ $8.8 \mu\text{m}$ จากการทดลองพบว่าเมื่อค่าอัตราส่วน L/G สูงขึ้นความเข้มข้นของฝุ่นถ่านหินลดลงต่ำๆ และที่จำนวนหัวฉีดน้ำที่มากขึ้น ประสิทธิภาพของเครื่องใช้โคลนศครับเบอร์จะสูงขึ้น สภาวะการทำงานที่ให้ประสิทธิภาพสูงสุดคืออัตราส่วน L/G เท่ากับ 4.4 l/m^3 ที่จำนวนหัวฉีดน้ำเท่ากับ 16 หัว

ความเข้มข้นของฝุ่นที่ทางเข้าเท่ากับ 2 g/m^3 ประสิทธิภาพการกำจัดฝุ่นถ้าโลยของเครื่องไซโคลน สครับเบอร์เท่ากับร้อยละ 99 ที่ขนาดอนุภาคของฝุ่นถ้าโลยมากกว่า $1.2 \mu\text{m}$ เมื่อพิจารณาผลของจำนวนและตำแหน่งของหัวฉีดน้ำต่อประสิทธิภาพการกำจัดฝุ่นถ้าโลย พบว่าจะมีผลต่อประสิทธิภาพ การกำจัดฝุ่นถ้าโลยที่ความเข้มข้นของฝุ่นต่างๆ

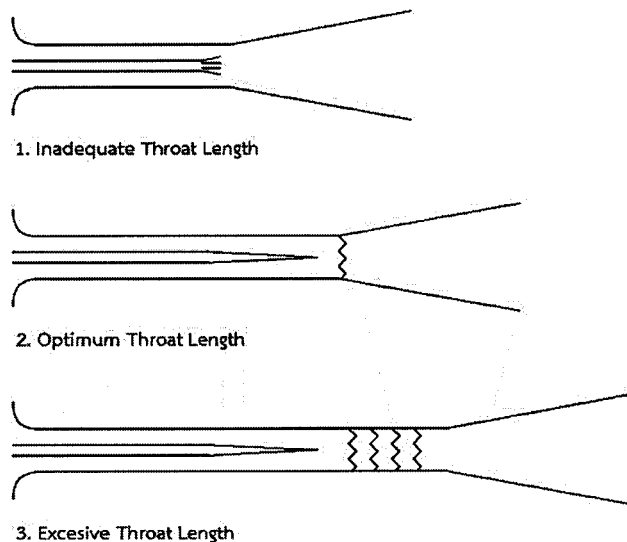
S.T. Bonnington et al. (1972) [43] สรุปการทำงานและประเภทของ Ejector ว่าเป็นเครื่องมือที่ใช้ในการสร้างแรงขับของไอล (Driving fluid) ชนิดหนึ่งเพื่อใช้ในการดูดเอาของไอล (Entrain fluid) อีกชนิดหนึ่งผ่านเข้า Ejector โดยมีข้อดีคือไม่มีส่วนเคลื่อนที่ และมีโครงสร้างไม่ซับซ้อนมีส่วนประกอบหลักได้แก่ หัวฉีด (Nozzle) ห้องดูด (Suction box) ห้องผสม (Mixing) หรือที่เรียกว่า คอคอด (Throat) และตัวกระจาย (Diffuser) แต่ข้อเสียคือ ประสิทธิภาพค่อนข้างต่ำไม่เกิน 35% ทำงานโดยใช้หลักการเคลื่อนที่ของของไอล (Fluid dynamic) คือ ของไอลที่มีค่าความดันสูงจะไอลผ่านหัวฉีด เพื่อเปลี่ยนรูปจากพลังงานศักย์ (Pressure energy) ไปเป็นพลังงานจลน์ (Kinetic energy) ดังนั้น เมื่อของไอลที่ผ่านหัวฉีดจะทำให้ความเร็วของของไอลเพิ่มสูงขึ้นมาก เพื่อจะเหนี่ยวนำเอาของไอลที่สองซึ่งมีความดันต่ำกว่าผ่านเข้ามาในห้องดูด และหลังจากนั้นของไอลทั้งสองจะเข้ามาผสมกันในห้องผสม โดยการแลกเปลี่ยนโมเมนตัมระหว่างของไอลตัวยกัน ก่อนจะถูกทำให้ความเร็วลดลงเมื่อผ่านตัวกระจาย โดยเปลี่ยนรูปพลังงานจลน์ของของไอลผสม ไปอยู่ในรูปพลังงานศักย์ และได้จัดแบ่งประเภทของ Ejector ที่เชื่อว่า ขึ้นอยู่กับชนิดของของไอลที่ใช้ขับหรือของไอลที่ถูกดูด โดยมีรูปแบบพื้นฐาน คือ Gas-Gas, Liquid-Liquid, Gas-Liquid และ Liquid-Gas ซึ่งแรกหมายถึงตัวขับ ส่วนซึ่งหลังคือตัวที่ถูกขับ และประสิทธิภาพโดยรวม (Overall efficiency) ที่ได้ ซึ่งแสดงอยู่ในรูปของ

$$\frac{(Q_e + Q_d)H_1}{Q_d H_2} \quad (2.15)$$

โดยที่ Q_e = อัตราการไอลโดยมวลของของไอลที่ถูกดึงเข้ามา
 Q_d = อัตราการไอลโดยมวลของตัวขับ
 H_1 = เสดแตกต่างระหว่างทางด้านดูดกับทางออกที่ตัวกระจาย
 H_2 = เสดแตกต่างระหว่างทางด้านส่งกับทางออกที่ตัวกระจาย

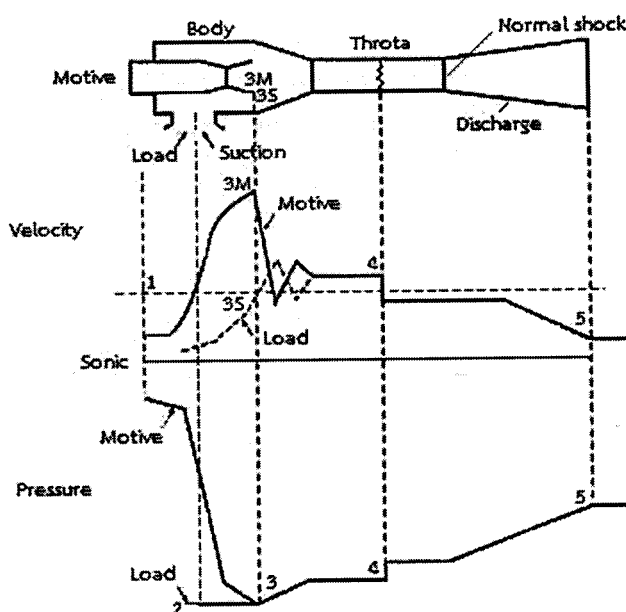
R.G. Cunningham et al. (1974) [44] ได้ทดสอบหาความยาวคอคอดที่เหมาะสมที่สุดของ Ejector ภายใต้ภาระการณ์อัดกําชที่อุณหภูมิคงที่ (Isothermal compression) เพื่อคำนวณค่าคุณลักษณะ (Performance characteristics) ของ Ejector ซึ่งประสิทธิภาพที่ได้จะอยู่ในรูปของสัดส่วนการอัดกับสัดส่วนการไอลเชิงปริมาตร ระหว่างอากาศกับน้ำ (Air-water compression ratio versus inlet volumetric flow ratio) และแสดงให้เห็นตำแหน่งที่เกิดการผสมกันระหว่างอากาศกับน้ำ และสรุปว่าความยาวคอคอดที่เหมาะสมที่สุด คือ ตำแหน่งที่ก่อนที่จะเข้าตัวกระจายในภาพที่ 2.21 (2) สำหรับภาพที่ 2.21 (1) จะเกิดขึ้นกรณีที่ความยาวคอคอดสั้นเกินไป จะทำให้การผสมกันระหว่างอากาศกับน้ำเกิดขึ้นที่ตัวกระจาย เป็นผลให้สูญเสียพลังงานจลน์จากลำน้ำไป และสำหรับภาพที่ 2.21

(3) จะเกิดขึ้นกรณีเมื่อคอกอดยาวเกินไปทำให้การผสมกันระหว่างอากาศกับน้ำเกิดก่อนช่วงที่เหมาะสม ซึ่งเมื่อผสมกันอย่างสมบูรณ์แล้วจะมีของเหลวสมที่ต้องอยู่ภายในคอกอด ซึ่งจะส่งผลให้เกิดความดันสูงเสียเนื่องจากสัมประสิทธิ์แรงด้านการไหลเพิ่มขึ้น โดยปรากฏการณ์ทั้ง 2 จะมีผลทำให้ประสิทธิภาพของการเหนี่ยวนำอากาศเนื่องจากน้ำและประสิทธิภาพของ Ejector ลดลง



ภาพที่ 2.21 ลักษณะการผสมกันระหว่างอากาศกับน้ำภายในคอกอด [44]

R.B. Power (1993) [45] อธิบายการทำงานของ Ejector ว่าเป็นอุปกรณ์ที่ใช้สำหรับดูดของเหลวด้วยลำน้ำ มีส่วนประกอบ คือ หัวฉีด (Nozzle) ตัวเรือนทางดูด (Body or suction box) ห้องผสม (Mixing chamber) และตัวกระจาย (Diffuser) ใช้หลักการทำงานโดยการเคลื่อนที่ของของเหลว (Fluid dynamic) เพียงอย่างเดียว ซึ่งต่างจากการทำงานของปั๊มแบบปกติ เช่น ปั๊มหอยโข่ง มีข้อดี คือ เป็นอุปกรณ์ที่มีโครงสร้างง่าย ไม่มีส่วนเคลื่อนที่จึงต้องการการบำรุงรักษาน้อยและมีความเชื่อถือสูง ซึ่งนิยมนำมาใช้กันอย่างแพร่หลายในงานเกี่ยวกับการดูดสารเคมีหรือก๊าซพิษที่มีผลให้เกิดการกัดกร่อนได้ง่าย Ejector มีหลักการทำงานคือการให้น้ำที่มีค่าความดันสูง (Motive fluid) ไหลผ่านหัวฉีด (Nozzle) เพื่อเปลี่ยนรูปจากพลังงานศักย์ (Pressure energy) ไปเป็นพลังงานจลน์ (Kinetic energy) โดยน้ำที่ผ่านออกจากรหัสฉีดจะมีความเร็วสูงมากและเหนี่ยวนำเข้าของเหลวทุติกวม (Secondary fluid หรือ Suction fluid) มีความดันต่ำกว่า เช่น น้ำ ไอน้ำ ก๊าซ หรืออากาศ ผ่านเข้าไปในห้องผสม และจะแลกเปลี่ยนโมเมนตัมระหว่างของเหลวตัวกัน ทำให้มีของเหลวสมบูรณ์แล้ว ของเหลวสม จะไหลออกจากคอกอดที่ความเร็วเดียวกัน ก่อนจะถูกทำให้ความเร็วลดลงเมื่อผ่านตัวกระจาย โดยการเปลี่ยนรูปพลังงานจลน์ของของเหลวสมไปอยู่ในรูปพลังงานศักย์ ก่อนจะออกจากปั๊มหัวฉีด ของเหลวทุติกวมจะถูกดึงออกไป จนกระทั่งความดันที่ทางดูดมีค่าเท่ากับความดันที่ภายใน ห้องผสม สำหรับลักษณะของการเปลี่ยนแปลงความดันและความเร็วของของเหลวที่เกิดขึ้นภายใน Ejector แสดงในภาพที่ 2.22



ภาพที่ 2.22 การเปลี่ยนแปลงความดันและความเร็วของไอลทีภัยใน Ejector [45]

N. Kijowsky (1985) [46] ได้ศึกษาวิธีการพัฒนาเพื่อเพิ่มประสิทธิภาพในการดักจับอนุภาคฝุ่น หรือถ้าลอย ด้วยเครื่องสครับเบอร์แบบเปียก ซึ่งจะทำการติดตั้งหัวฉีดน้ำ 3-4 ชั้น ตามแนวการไหล ของอากาศที่มีอนุภาคฝุ่นผสมอยู่ ระยะห่างหัวฉีดประมาณ 120-200 mm. ความดันของน้ำอยู่ที่ 8-15 bar และอากาศเข้าระบบใช้อัตราการไหลประมาณ 6-20 m/s ประสิทธิภาพรวมของการ ดักจับฝุ่นมากกว่า 95% ซึ่งมากกว่าแบบทั่วไป ที่มีประสิทธิภาพประมาณ 50-70%

F. Mayinger et al. (1995) [47] ได้ศึกษาพัฒนารูปแบบประสิทธิภาพของอุปกรณ์สครับเบอร์ แบบ Venturi เป็นระบบที่ใช้ความเร็ว ก้าชสูงร่วมกับการฉีดของเหลวเข้าระบบที่ความดันสูง ทำให้ ประสิทธิภาพในการดักจับฝุ่นสูงขึ้น แต่ปัญหาหลักที่พบคือ การสูญเสียความดัน (Pressure drop) นอกจากระบบยังต้องการพลังงานสูงด้วย

G. Schwarting (1996) [48] ได้ศึกษาและออกแบบอุปกรณ์สครับเบอร์ โดยการนำไปดักจับ อนุภาคฝุ่นที่ละเอียดกับถ้าลอยจากก้าชพิษ ซึ่งเป็นการปรับให้อนุภาคฝุ่นหรือถ้าลอยกล้ายเป็น อะตอนอิสระวิธีนี้เหมาะสมสำหรับการแยกเม็ดและน้ำมันดิน ที่อยู่ในก้าชเสียได้จำนวนมาก ขนาดของ อนุภาคฝุ่นที่ดักจับได้จะอยู่ระหว่าง 0.1-1 μm ประสิทธิภาพการดักจับฝุ่นที่ได้มากกว่า 90% ในระยะ เริ่มต้นได้มีการติดตั้งระบบนี้กับเตาเผาขยะของโรงไฟฟ้า

JL. Peter (1992) [49] ได้ทำการศึกษาการดักจับอนุภาคฝุ่นละเอียดจากก้าชเสียจากการเผาไหม้ โดยใช้ Confined Vortex Scrubber (CVS) ซึ่งมีลักษณะเป็นถังทรงกระบอกประกอบกับทางเข้า ก้าชเสีย 4 ทาง และก้าชที่ทำความสะอาดแล้วจะออกตรงกลางของถังทรงกระบอกทางด้านบนและ ด้านล่าง น้ำจะถูกสเปรย์ผ่านทางด้านข้างของถัง ระบบนี้จะเกิดแรงเหวี่ยงภายในสูงมาก ทำให้เกิดฟอง ของละอองน้ำภายในขนาดเล็กจำนวนมาก เป็นการเพิ่มอัตราการเกิดปฏิกิริยาระหว่างก้าชกับ ของเหลวเพิ่มมากขึ้น และทำให้เกิดแรงเฉียบของการแยกมากด้วย ผลที่ได้คืออนุภาคฝุ่นละเอียด

จะถูกดักจับได้มากขึ้น ประสิทธิภาพเพิ่มขึ้นถึง 99.5% ของฝุ่นขนาดอนุภาค $3 \mu\text{m}$ และ 98% ของอนุภาคขนาด $0.3 \mu\text{m}$

H. James et al. (1993) [50] ได้อธิบายเปรียบเทียบผลการศึกษาอุปกรณ์ที่ใช้ในการดักจับอนุภาคฝุ่นชนิดต่างๆ เช่น ไซโคลน ห้องตกตะกอน ถุงกรอง และสครับเบอร์ ได้ศึกษาถึงประสิทธิภาพการดักจับฝุ่นและค่าใช้จ่ายในการก่อสร้าง รวมทั้งการควบคุมดูแลรักษา ซึ่งได้พุดถึงสครับเบอร์ ว่าเป็นอุปกรณ์ที่นิยมนำไปใช้งานทั่วไป แต่ปัญหาใหญ่ที่พบคือ การลดลงของความดันที่เกิดขึ้นในระบบทำให้เกิดความชื้นสูงจากละอองน้ำที่เข้าของอุปกรณ์ ซึ่งอาจก่อให้เกิดปัญหาการกัดกร่อนต่ออุปกรณ์และเครื่องมือต่างๆ ที่ใช้ในระบบได้

E.V. Devster et al. (1994) [51] ได้ทำการศึกษาระบวนการทำความสะอาดก๊าซเสียจากเตาเผาโดยใช้อุปกรณ์การดักจับฝุ่นแบบเปียก หลักการทำงานของอุปกรณ์ประกอบด้วยการสเปรย์น้ำในทิศทางเดียวกันกับก๊าซเสีย พบร่วมสามารถดักจับอนุภาคฝุ่นที่ออกจากก๊าซเสียได้ปริมาณมากหรือเทียบเป็นประสิทธิภาพการดักจับฝุ่นแล้วจะประมาณมากกว่า 82% ของอนุภาคฝุ่นที่ออกมากแต่ปัญหาที่พบคือน้ำที่ออกมาจากกระบวนการ จะต้องผ่านการบำบัดด้วยระบบบำบัดน้ำเสียก่อนปล่อยทิ้ง

D.A. Marshall et al. (1995) [52] ได้ทำการศึกษาการแยกอนุภาคฝุ่นพาก SiO_2 ด้วยเครื่องสครับเบอร์แบบเปียก พบร่วมที่สำคัญของการควบคุมคือ อัตราการไหลของอากาศและประเภทของหัวฉีดที่ใช้ ซึ่งจากการทดลองใช้อัตราการไหลของอากาศที่ 2.48, 1.84, 1.42 และ $1.27 \text{ m}^3/\text{min}$ และน้ำเข้าระบบที่ $5.7 \text{ L}/\text{min}$ ให้ประสิทธิภาพของการดักจับอยู่ที่ 85-87%

H.T. Kim et al. (2001) [53] ได้ทำการศึกษาการดักจับฝุ่นโดยใช้ Gravitational Wet Scrubber โดยจะพิจารณาถึงกลไกในการดักจับฝุ่น ซึ่งได้แก่ กลไกการแพร่ กลไกการสกัดกั้น และกลไกการตกกระทบด้วยแรงเฉียบ ซึ่งจากการทดลองนี้พบว่า กลไกการแพร่และกลไกการตกกระทบด้วยแรงเฉียบ เป็นกลไกหลักในการดักจับฝุ่นในระบบ ส่วนการทำงานที่เหมาะสมของระบบนี้คือ ที่ความเร็วต่ำ บริเวณของหยดน้ำที่ต่ำ ขนาดของหยดน้ำเล็กๆ และอัตราส่วนระหว่างของเหลว กับ ก๊าซ ที่สูงๆ และพบว่าระบบนี้จะมีประสิทธิภาพดีในการดักจับฝุ่นที่มีขนาดเล็กกว่า $1 \mu\text{m}$ จำนวนมากๆ ได้

ทรงวุฒิ ศรีสว่าง (2540) [54] ได้ทำการศึกษาการดักจับฝุ่นถ้าโลยด้วยอุปกรณ์สครับเบอร์แบบหมุนวน เพื่อใช้ดักจับฝุ่นถ้าโลยในไอเสียจากการเผาไหม้ จากการทดลองพบว่า อัตราส่วน L/G ที่สูงขึ้น อัตราการปล่อยฝุ่นถ้าโลยในปริมาณที่ต่ำ และขนาดเส้นผ่าศูนย์กลางของรูหัวฉีดน้ำที่เล็กลง ประสิทธิภาพการดักจับฝุ่นถ้าโลยของอุปกรณ์สครับเบอร์จะเพิ่มขึ้นจาก 78.2% เป็น 97.2% จากการทดลองพบว่า ที่อัตรา L/G เท่ากับ $10 \text{ L}/\text{m}^3$ อัตราการป้อนฝุ่นถ้าโลยเข้าอุปกรณ์สครับเบอร์ที่ $2.8 \text{ g}/\text{s}$ และขนาดเส้นผ่าศูนย์กลางของรูหัวฉีดน้ำ 0.5 mm . จะช่วยเพิ่มประสิทธิภาพการทำงานได้สูงสุดคือ 97.2% และขนาดของอนุภาคที่ถูกดักจับได้มีขนาดมากกว่า $5 \mu\text{m}$ ขึ้นไป

จากการวิจัยที่ผ่านมา�ังไม่มีการทดสอบถึงความแตกต่างของอุปกรณ์ดักฝุ่นทั้ง 2 แบบ ในระบบแก๊สซิฟิเคชั่น ดังนั้นในงานวิจัยนี้จึงเลือกศึกษาและเปรียบเทียบคุณลักษณะการทำงาน และสมรรถนะของอุปกรณ์ดักฝุ่นแบบเปียกชนิดอี้เจ็คเตอร์ (Ejector Venturi Scrubber) กับชนิดคอกอด (Venturi Scrubber) กับเตา Gasifier แบบ Double throat downdraft gasifier ขนาด 200 กิโลวัตต์ ความร้อน รุ่น UBU-DTG-003 [55] มีรายละเอียดอุปกรณ์และวิธีการทดลองอยู่ในเนื้อหาบทที่ 3

บทที่ 3

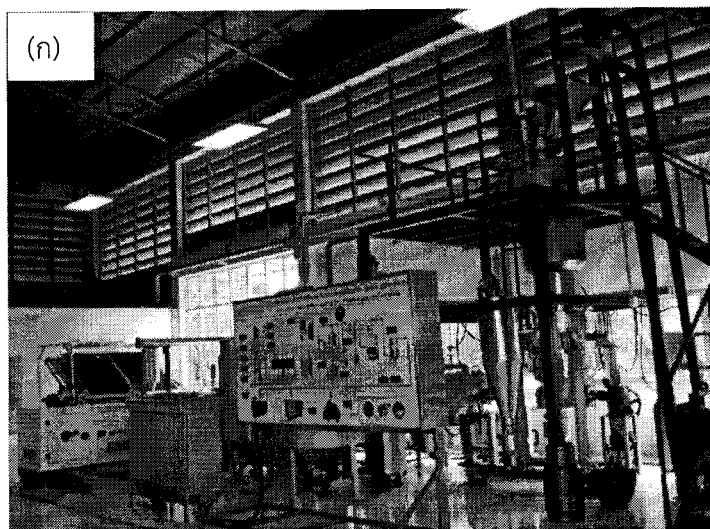
อุปกรณ์และวิธีวิจัย

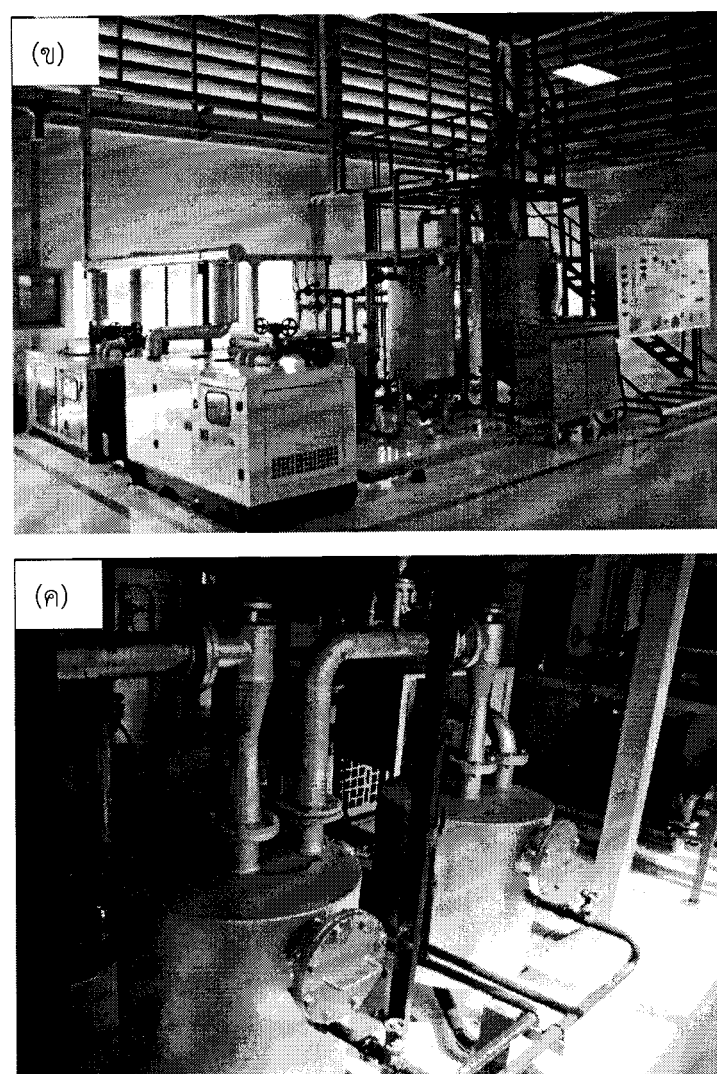
3.1 อุปกรณ์การทดลอง

3.1.1 เตาผลิตก๊าซชีวมวล

การทดลองในงานวิจัยนี้ ใช้อุปกรณ์ตักผุนแบบเปยกชนิดอีเจ็คเตอร์กับชนิดคอกอด กับเตา Gasifier แบบ Double throat downdraft gasifier ขนาด 200 กิโลวัตต์ความร้อน รุ่น UBU-DTG-003 ดังภาพที่ 3.1 ซึ่งรายละเอียดข้อมูลทางเทคนิคดังตารางที่ 3.1 เป็นเตาผลิต ก๊าซชีวมวลแบบไอลบลิง (Imbert type) เตาชนิดนี้มีลักษณะเด่น คือ เป็นเตาผลิตก๊าซชีวมวลที่มี วงแหวน (Construction ring) เพื่อใช้ในการควบคุมอุณหภูมิของปฏิกิริยารีดักชัน และมีหัวฉีด (Nozzle) เพื่อจ่ายอากาศเข้าสู่โซนเผาไหม้ ในขณะที่เตาทำงานอากาศที่เข้าสู่โซนเผาไหม้ จะเกิด การเผาไหม้กับถ่านและทำให้เกิดกระบวนการไฟโรไรซีสเชื้อเพลิงที่อยู่เหนือหัวฉีดอากาศ ซึ่งจะได้ สารระเหยและtar จะหลอมมาและเกิดการเผาไหม้ ผลิตภัณฑ์จากการเผาไหม้ดังกล่าวจะไหลลงไป ทำปฏิกิริยากับถ่านที่ยังเหลืออยู่ ในบริเวณใต้หัวฉีดอากาศที่ยังมีอุณหภูมิสูงอยู่ โดยเชื้อเพลิงชีวมวล จะเปลี่ยนรูปจากเชื้อเพลิงแข็งไปเป็นก๊าซเชื้อเพลิงในบริเวณโซนนี้

ระบบแก๊สซิฟิเคชัน (Gasification) ประกอบด้วย 4 ระบบที่สำคัญ ดังภาพที่ 3.2 ได้แก่ 1) ระบบผลิตก๊าซชีวมวล ทำหน้าที่ผลิตก๊าซชีวมวล 2) ระบบทำความสะอาดก๊าซเชื้อเพลิง ทำหน้าที่ ทำความสะอาดก๊าซชีวมวลก่อนนำไปใช้งาน 3) ระบบเก็บก๊าซเชื้อเพลิง ทำหน้าที่สะสมก๊าซชีวมวลเพื่อนำไปใช้เป็นเชื้อเพลิงสำหรับเครื่องยนต์ และ 4) การนำก๊าซเชื้อเพลิงไปใช้งาน

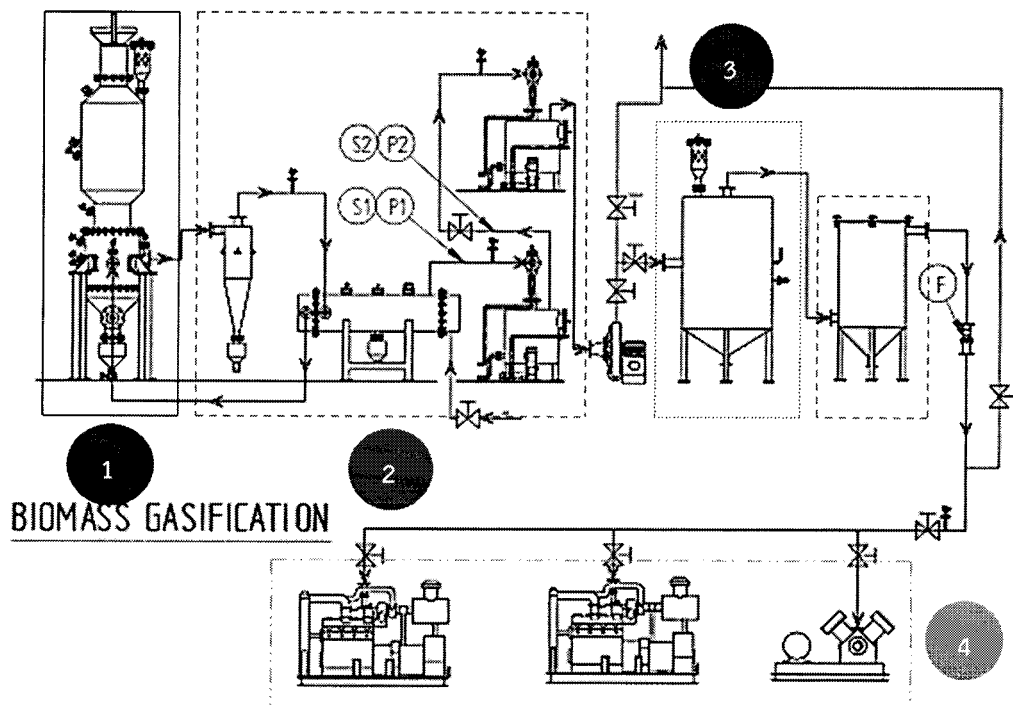




ภาพที่ 3.1 ระบบผลิตก๊าซเชื้อเพลิงชีวมวล แบบ Double throat downdraft gasifier
ขนาด 200 กิโลวัตต์ความร้อน รุ่น UBU-DTG-003: (ก), (ข) ระบบผลิตก๊าซเชื้อเพลิง
ชีวมวล และ (ค) อุปกรณ์ทำความสะอาดก๊าซเชื้อเพลิงชีวมวลแบบเปียก

ตารางที่ 3.1 ข้อมูลทางเทคนิค Gasifier

ลำดับที่	รายละเอียด
1. เตา Gasifier รุ่น	UBU-DDTG-003
2. กำลังการผลิตพลังงานความร้อน	200 kW _{th}
3. ชนิดของระบบผลิตก๊าซชีวมวล	Downdraft gasifier
4. อัตราการไหลของก๊าซชีวมวล	160 Nm ³ /hr.
5. ค่าความร้อนเฉลี่ยของก๊าซชีวมวล	5.0 MJ/Nm ³
6. ความดันใช้งาน	0.5 Mpa
7. อุณหภูมิของการเกิดปฏิกิริยาในเตา	900 – 1,200 °C
8. ปริมาณความจุของเชื้อเพลิง	1.75 m ³
9. การกำจัดซี่เหล้า	สกรูตัวหนอน กระเบาเก็บเล้าแบบแห้ง
10. ชนิดและขนาดของเชื้อเพลิง	ไม้สักขนาดไม่เกิน 2"x2"x2"
11. ความชื้นของเชื้อเพลิง	ไม่เกิน 15 %



ภาพที่ 3.2 ผังระบบแก๊สซิฟิเคชั่น ขนาด 200 กิโลวัตต์ความร้อน

3.1.2 อุปกรณ์ตักฝุ่นแบบเปียก

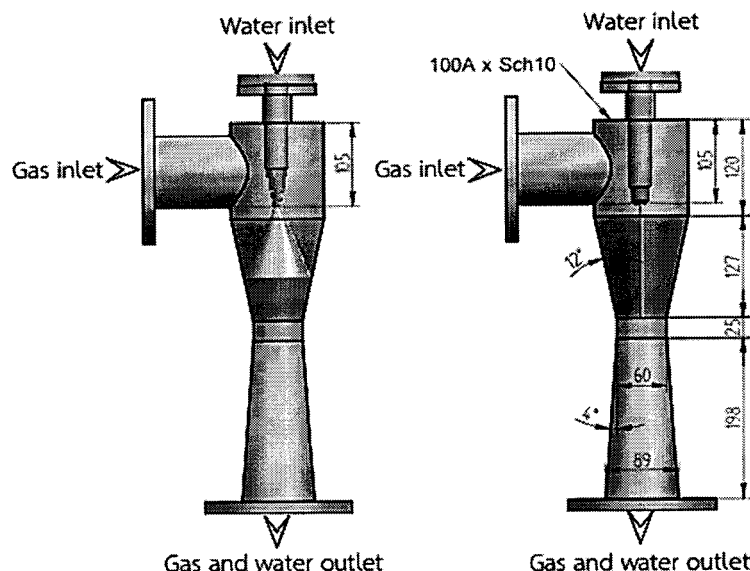
อุปกรณ์ตักฝุ่นแบบเปียกหรือศครับเบอร์แบบเปียก (Wet scrubber) เป็นอุปกรณ์ที่ใช้ในการทำความสะอาดก๊าซชีวมวลที่มีประสิทธิภาพสูง และนิยมนำไปใช้งานในระบบแก๊สซิฟิเคชั่น

เพื่อใช้ในการดักจับสิ่งปนเปื้อนที่มา กับ ก๊าซชีวมวล ได้แก่ อนุภาคฝุ่นละออง น้ำมันดินและสารปนเปื้อน เป็นต้น โดยใช้น้ำหรือของเหลว เพื่อแยกสิ่งปนเปื้อนออกจาก ก๊าซ ในระบบผลิต ก๊าซชีวมวล นิยมนำเอาอุปกรณ์ดักฝุ่นแบบเบิกกมาใช้เป็นอุปกรณ์หลักในการกำจัดฝุ่น น้ำมันดินและสารปนเปื้อน มีขั้นตอนการดักจับที่เกิดขึ้นในอุปกรณ์ดักฝุ่น 3 ขั้นตอน 1) การดักจับอนุภาคฝุ่น น้ำมันดินและสารปนเปื้อน 2) การแยกหยดน้ำออกจาก ก๊าซ และ 3) การบำบัดน้ำที่จับฝุ่น อุปกรณ์ดักฝุ่นแบบเบิกกนอกจากสามารถดักจับฝุ่นที่มีขนาดเล็ก น้ำมันดินและสารปนเปื้อนที่มา กับ ก๊าซได้แล้ว ยังช่วยลดอุณหภูมิของก๊าซได้ด้วย

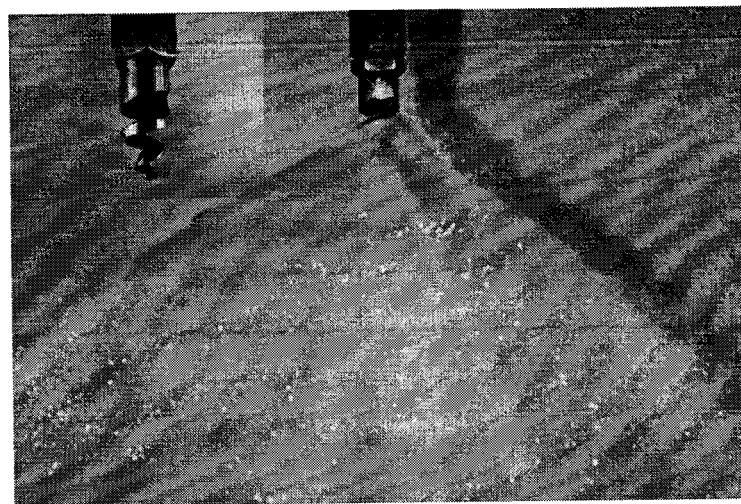
ในงานวิจัยนี้ ทำการทดลองอุปกรณ์ดักฝุ่นแบบเบิกก 2 แบบ ที่นิยมนำมาใช้งานและให้ประสิทธิภาพสูง ในการดักจับสิ่งปนเปื้อนในระบบแก๊สซิฟิเคชัน มีรายละเอียดดังนี้

(1) อุปกรณ์ดักฝุ่นแบบเบิกกนิดคอกอด (Venturi scrubber) เป็นอุปกรณ์ที่ใช้หลักการทำงาน คือ การสเปรย์น้ำฉีดให้เป็นละออง ในทิศทางเดียวกันกับ ก๊าซ ใช้ความดันน้ำฉีดไม่มีสูง โดยมีส่วนประกอบที่สำคัญ คือ ส่วนของหัวฉีดน้ำ ทางเข้าของก๊าซ ห้องผสม และส่วนท่อเวนจูรี (Venturi tube)

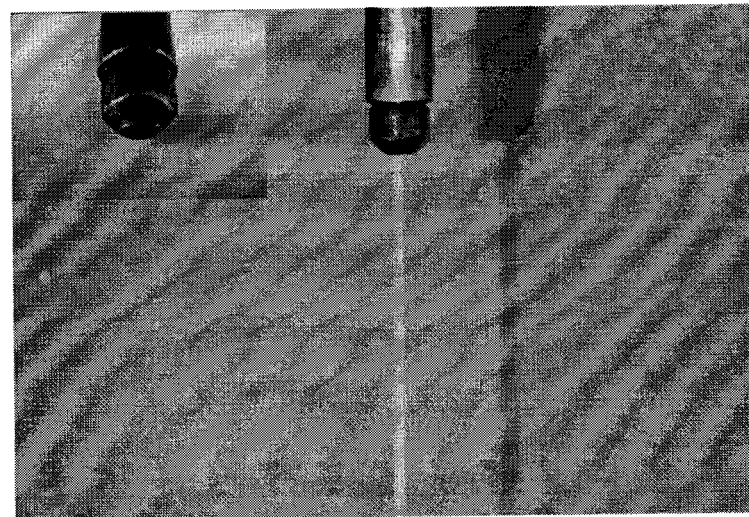
(2) อุปกรณ์ดักฝุ่นแบบเบิกกนิดอีเจ็คเตอร์ (Ejector scrubber) ใช้หลักการทำงาน เหมือนกับ นิดคอกอด ต่างกันที่ การสเปรย์น้ำฉีดมีลักษณะเป็นลำ ใช้ความดันน้ำฉีดในการทำงาน สูงกว่า นิดคอกอด โดยขนาดของอุปกรณ์ดักฝุ่นแบบเบิกกทั้ง 2 แบบ ดังภาพที่ 3.3 ส่วนลักษณะการ สเปรย์น้ำฉีดของหัวฉีด และลักษณะของหัวฉีดที่ใช้ในการทดลอง ของอุปกรณ์ดักฝุ่นแบบเบิกกทั้ง 2 แบบ ดังภาพที่ 3.4 – 3.5 ส่วนขนาดและวัสดุของหัวสเปรย์น้ำที่ใช้ในการทดลอง ดังตารางที่ 3.2

(a) Venturi scrubber(b) Ejector scrubber

ภาพที่ 3.3 ขนาดของอุปกรณ์ดักฝุ่นแบบเบิกกนิดคอกอด (a) และอุปกรณ์ดักฝุ่นแบบเบิกกนิดอีเจ็คเตอร์ (b)



ภาพที่ 3.4 ลักษณะของการสเปรย์น้ำฉีดและลักษณะของหัวฉีดสำหรับอุปกรณ์ดักฝุ่นแบบเปียก ชนิดคอกอด



ภาพที่ 3.5 ลักษณะของการสเปรย์น้ำฉีดและลักษณะของหัวฉีดสำหรับอุปกรณ์ดักฝุ่นแบบเปียก ชนิดอีจีคเตอร์

ตารางที่ 3.2 ขนาดและวัสดุของหัวสเปรย์น้ำฉีด

ชนิดคอกอด		ชนิดอีจีคเตอร์	
มุนฉีด Orifice size	120° 9.5 mm	มุนฉีด ϕ หัวฉีด	0° 3 mm
ϕ Nozzle	4.8 mm	วัสดุ	Brass (JIS) H3250 C3604
วัสดุ	SUS304		

3.1.3 ชุดอุปกรณ์เก็บตัวอย่างฝุ่น น้ำมันดินและสารปนเปื้อน

งานวิจัยนี้ จะทำการทดลองหาประสิทธิภาพในการใช้งานจริงของอุปกรณ์ดักฝุ่นทั้ง 2 แบบ ในระบบผลิตก้าชซีมวล ต้องวัดปริมาณฝุ่น น้ำมันดินและสารปนเปื้อน ที่อุปกรณ์ดักฝุ่น สามารถดักจับไว้ได้ ดังนั้นต้องสร้างชุดอุปกรณ์ตรวจวัดเพื่อหาค่าปริมาณฝุ่น น้ำมันดินและสารปนเปื้อน ซึ่งจะดำเนินการสร้างตามวิธีการตรวจวัดมาตรฐาน US.EPA Method 5 [56] โดยแบ่ง ชุดอุปกรณ์ออกเป็น 4 ส่วน ดังภาพที่ 3.7 มีรายละเอียด ดังนี้

ส่วนที่ 1 ชุดอุปกรณ์เก็บฝุ่น ประกอบด้วย

(1) ยีตเตอร์รัดท่อขนาด 2" Model:IES/B 2" x 100 mm (220VAC 600W)

(2) Thermocouple Type k Model:TH-04 6x50 mm เกลี่ยwa 1/2" NPT

สปริงสายสแตนเลสถักยาว 1 m

(3) กระดาษกรองความละเอียด 3 μm ขนาดเส้นผ่านศูนย์กลาง 90 mm

ส่วนที่ 2 ชุดอุปกรณ์เก็บน้ำมันดินและสารปนเปื้อน ประกอบด้วย

(1) ขวดขมพู่ จุกยาง หลอดแก้วนำก้าช ทอยางซิลิโคน

(2) สารละลายไอโซเพfanอล (C_3H_8O)

ส่วนที่ 3 ชุดอุปกรณ์ควบคุมการทำงาน ประกอบด้วย

(1) "Linking" Temp-Controller Model:LT400-101-000

(2) Digital counter Cl4-RC60

ส่วนที่ 4 ชุดอุปกรณ์ดูดก้าช ประกอบด้วย

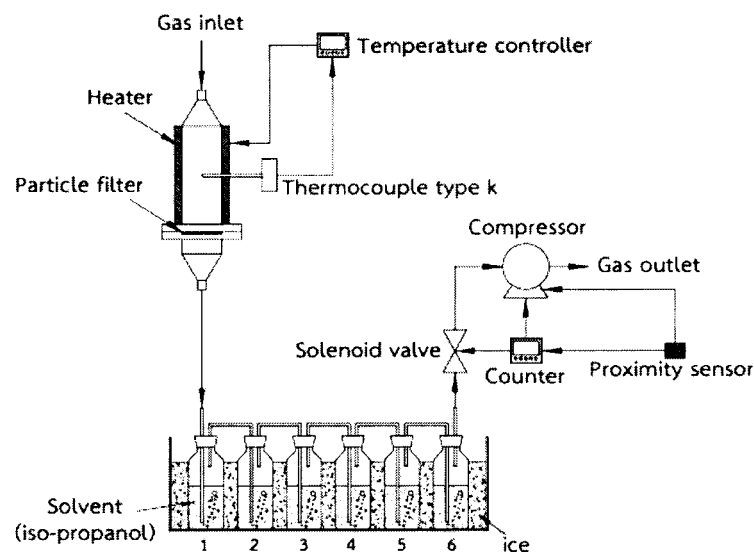
(1) หัวปั๊มลม PUMA 1/4 HP

(2) มอเตอร์ 1/2 HP

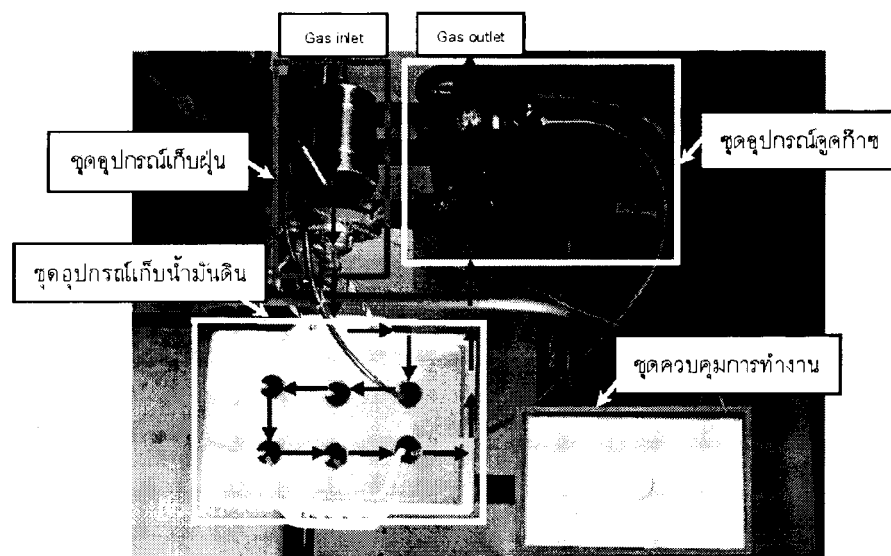
(3) Proximity sensor PSC1206-N (Sensor Riko NPN, Dia 12 m sence 6 mm)

(4) Solenoid valve

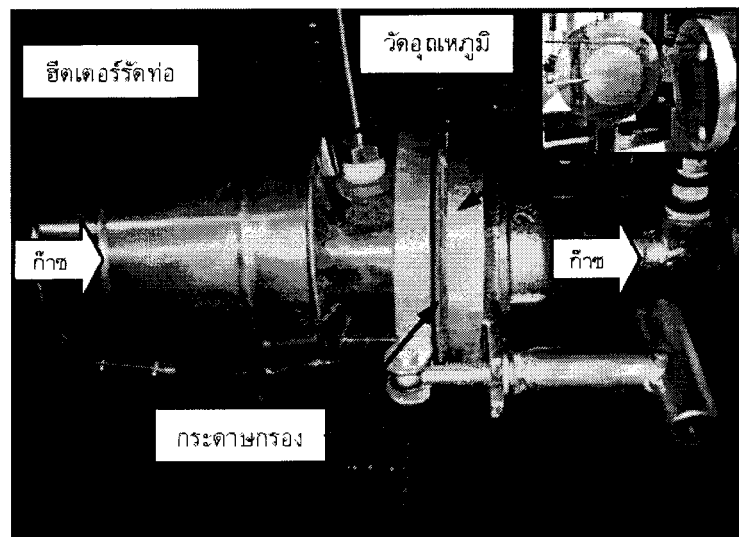
ขั้นตอนการทำงานของชุดอุปกรณ์ตรวจวัดเพื่อหาค่าปริมาณฝุ่น น้ำมันดินและสารปนเปื้อน เริ่มจากก้าชตัวอย่างให้ผ่านชุดอุ่นก้าช ดังภาพที่ 3.8 ทำหน้าที่ให้ความร้อนด้วยยีตเตอร์ เพื่อให้น้ำมันดินระเหยกลายเป็นไอ ด้วยอุณหภูมิ 200 °C ควบคุมการทำงานด้วยชุดควบคุมอุณหภูมิ หลังจากนั้นก้าชตัวอย่างให้ผ่านกระดาษกรอง ความละเอียด 3 μm ทำหน้าที่ดักจับฝุ่น และให้เข้า มากับชุดเก็บตัวอย่างน้ำมันดินและสารปนเปื้อน ด้วยการให้ผ่านสารละลายไอโซเพfanอล (C_3H_8O) ที่อุณหภูมิ 0 - 5 °C ทำหน้าที่ในการละลายน้ำมันดินออกจากก้าชตัวอย่าง ซึ่งก้าชตัวอย่าง จะถูกดูดเข้ามาอย่างชุดอุปกรณ์เก็บตัวอย่างฝุ่น น้ำมันดินและสารปนเปื้อนด้วยปั๊มลูกสูบ ดังภาพที่ 3.6



ภาพที่ 3.6 ผังชุดอุปกรณ์เก็บตัวอย่างฝุ่น น้ำมันดินและสารปนเปื้อน



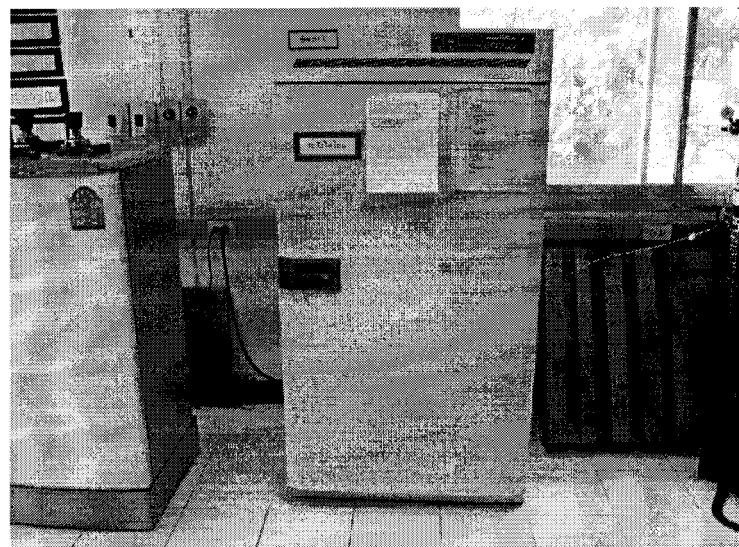
ภาพที่ 3.7 ชุดอุปกรณ์เก็บตัวอย่างฝุ่น น้ำมันดินและสารปนเปื้อน



ภาพที่ 3.8 ชุดอุปกรณ์และส่วนติดตั้งกระดาษกรอง

3.1.4 ตู้อบ

การทดลองจะอบกระดาษกรองก่อนและหลังการเก็บตัวอย่างผุ่น เพื่อระเหยความชื้น ก่อนนำไปซึ่งน้ำหนัก และอบระเหยสารละลายไอโซพรพานอล (C_3H_8O) เพื่อซึ่งน้ำหนักน้ำมันดิน และสารปนเปื้อน จะใช้ตู้อบ Hot Air Oven (Model TS8000) ดังภาพที่ 3.9 สามารถกำหนดค่า ได้ตั้งแต่ $8 - 200^{\circ}\text{C}$



ภาพที่ 3.9 ตู้อบ Hot Air Oven (Model TS8000)

3.1.5 เครื่องซั่งน้ำหนัก

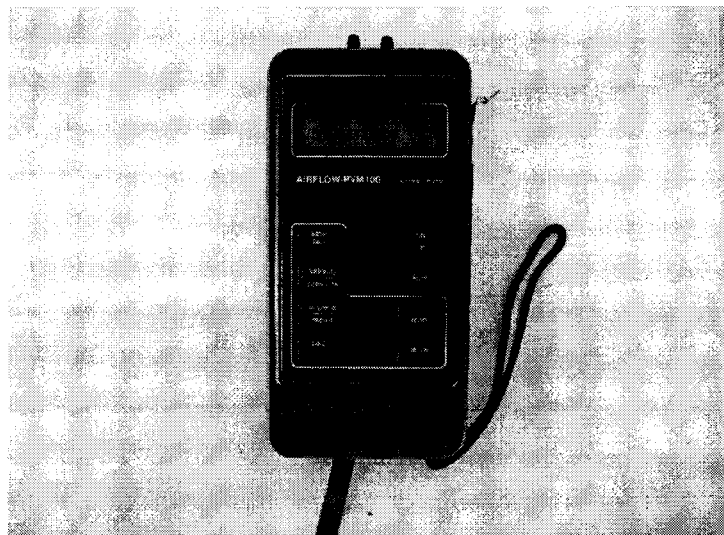
การซั่งน้ำหนักเพื่อวัดปริมาณผุ้น น้ำมันดินและสารปนเปื้อนของการทดลอง จะใช้เครื่องซั่งทศนิยม 4 ตำแหน่ง รุ่น AB204-S ดังภาพที่ 3.10 มีค่าการวัดต่ำสุด 10 mg และมีค่าการวัดสูงสุด 220 g



ภาพที่ 3.10 เครื่องซั่งน้ำหนักทศนิยม 4 ตำแหน่ง Mettler-Toledo รุ่น AB204-S

3.1.6 อุปกรณ์วัดความดันตกคร่อง

การหาค่าความดันตกคร่องของอุปกรณ์ตักผุ้นทั้ง 2 แบบ จะใช้อุปกรณ์วัด Digital micro manometer รุ่น Airflow-PVM100 ดังภาพที่ 3.11 ข้อมูลทางเทคนิคของอุปกรณ์ ดังตารางที่ 3.3



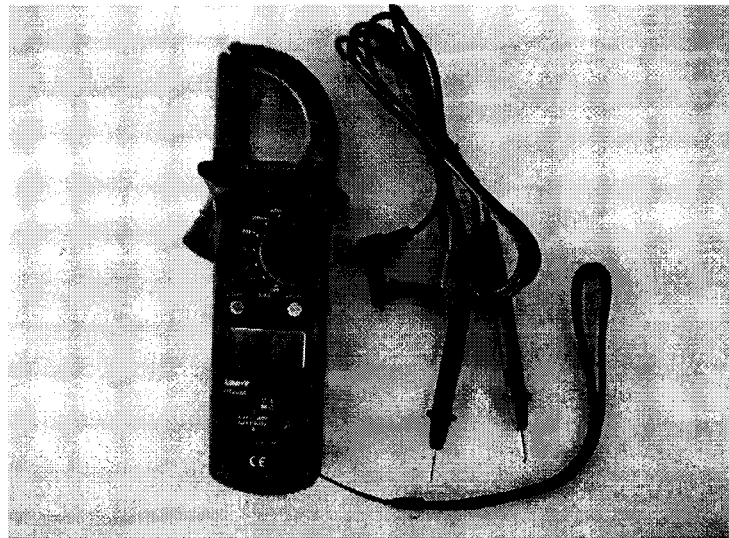
ภาพที่ 3.11 อุปกรณ์วัด Digital micro manometer

ตารางที่ 3.3 ข้อมูลทางเทคนิคของอุปกรณ์วัดความดันตอกคร่อม

Parameter	Metric mode
Velocity range	0-76 m/s
Pressure range	0-3,500 Pa
Pressure resolution	1 Pa

3.1.7 อุปกรณ์วัดพลังงานไฟฟ้า

การหาค่าการใช้พลังงานไฟฟ้าของอุปกรณ์ดักผู้นั้ง 2 แบบ (ปีมน้ำและพัดลมดูดก๊าซ) จะใช้อุปกรณ์ Digital Clamp Multimeters รุ่น UT200 ดังภาพที่ 3.12 ส่วนข้อมูลทางเทคนิคของอุปกรณ์ ดังตารางที่ 3.4 การวัดค่าการใช้พลังงานไฟฟ้าของอุปกรณ์ จะวัดกระแสและแรงดันไฟฟ้าของแต่ละการทดลอง และนำมาคำนวณตามสมการที่ 2.15 และ 2.16 ได้พลังงานไฟฟ้า (kWh)



ภาพที่ 3.12 อุปกรณ์วัด Digital Clamp Multimeters รุ่น UT200

ตารางที่ 3.4 ข้อมูลทางเทคนิคของอุปกรณ์วัดพลังงานไฟฟ้า

Basic functions	Range	Basic accuracy
DC voltage	600V	± (1.5%+5)
AC voltage	600V	± (1.0%+3)
Effective value of sine wave		40Hz ~ 400Hz
AC Current	2 / 20A / 200A	± (1.5%+5)
RMS sine wave		50Hz ~ 60Hz
Resistance	20k Ω	± (1.0%+4)

3.1.8 ตัวแปรในการคำนวณและวัดค่าสำหรับการทดลองในบทที่ 3

3.1.8.1 ปริมาณฝุ่น

ปริมาณฝุ่นหรืออนุภาคฝุ่นที่ปนเปื้อนในก้าชชีมวล ขึ้นกับตัวแปรต่างๆ ได้แก่ ชนิดของเชื้อเพลิง ประเภทของเครื่องผลิตก้าชชีมวล อัตราการผลิตก้าชชีมวล และอุณหภูมิในชั้นเผาไหม้ ในการทดลองจะวัดปริมาณฝุ่นที่มากับก้าชชีมวลที่ผลิตได้จากเตา จะวัดปริมาณฝุ่นก่อนเข้าอุปกรณ์และหลังเข้าอุปกรณ์ เพื่อนำน้ำหนักฝุ่นที่ซึ่งได้มาหาประสิทธิภาพในการดักจับฝุ่น ของอุปกรณ์ทั้ง 2 แบบ ของแต่ละการทดลอง ปริมาณฝุ่นที่ดักจับได้ขึ้นของอุปกรณ์ดักฝุ่นแบบเปลี่ยกทั้ง 2 แบบ หาได้จากการสมการที่ 2.13

ประสิทธิภาพในการดักเก็บอนุภาค (Collecting efficiency) หมายถึง อัตราส่วนของอนุภาคที่สามารถดักเก็บไว้ได้ต่ออนุภาคทั้งหมดที่ผ่านเข้ามาในระบบของอุปกรณ์ดักฝุ่นแบบเปลี่ยก โดยสามารถหาประสิทธิภาพของอุปกรณ์ดักฝุ่นแบบเปลี่ยก ได้จากการคำนวณในความสัมพันธ์ในสมการที่ 2.14

3.1.8.2 ปริมาณน้ำมันดิน (tar) และสารปนเปื้อน

น้ำมันดินและสารปนเปื้อน คือ สารประกอบเชิงซ้อนที่เกิดจากการควบแน่นสารไฮโดรคาร์บอนและสารประกอบเชิงซ้อนอื่นที่เกิดขึ้นในขั้นตอนของการกระบวนการสลายตัวด้วยความร้อนในระหว่างกระบวนการผลิตก้าชเชื้อเพลิง น้ำมันดินประกอบด้วยสารองค์ประกอบต่างๆ มากกว่า 10 ชนิด ทั้งที่เป็นสารอินทรีย์ที่ไม่บริสุทธิ์ สารอินทรีย์ที่ไม่บริสุทธิ์ ฝุ่น และก้าชต่างๆ รวมทั้งก้าชเชื้อเพลิงที่เผาไหม้ได้และก้าชเชื้อเพลิงที่เผาไหม้ไม่ได้ ในการทดลองวัดค่าปริมาณน้ำมันดิน และสารปนเปื้อน ก่อนเข้าอุปกรณ์และหลังเข้าอุปกรณ์ เพื่อนำน้ำหนักที่ซึ่งได้มาหาประสิทธิภาพในการดักจับน้ำมันดินและสารปนเปื้อนของอุปกรณ์ทั้ง 2 แบบ ของแต่ละการทดลอง ปริมาณน้ำมันดินและสารปนเปื้อนที่ดักจับได้ขึ้นของอุปกรณ์ทั้ง 2 แบบ หาได้โดยใช้สมการที่ 2.13 ส่วนประสิทธิภาพในการดักจับน้ำมันดินและสารปนเปื้อนของอุปกรณ์ หาได้จากการคำนวณในความสัมพันธ์ในสมการที่ 2.14 โดยนำน้ำหนักปริมาณน้ำมันดินและสารปนเปื้อนที่วัดได้มาแทนที่น้ำหนักปริมาณฝุ่น (ปริมาณน้ำมันดินและสารปนเปื้อนในการทดลอง คือ ปริมาณน้ำมันดินและฝุ่นที่มีอนุภาคเล็กกว่า 3 μm)

3.1.8.3 ความดันตgcร่อม

ในระบบผลิตก้าชชีมวลจะประกอบด้วยอุปกรณ์ต่างๆ ได้แก่ เตาผลิตก้าชชีมวล อุปกรณ์ทำความสะอาดก้าชชีมวล ถังเก็บก้าช ท่อก้าช เป็นต้น ทำให้เกิดความดันตgcร่อมในระบบของกระบวนการผลิตก้าชชีมวล ซึ่งอุปกรณ์ดักฝุ่นแบบเปลี่ยกเป็นอุปกรณ์หนึ่งในระบบที่เกิดค่าความดันตgcร่อมที่สูง เนื่องจากใช้การสเปรย์น้ำในการทำความสะอาดก้าชชีมวล ผ่านบริเวณคอกอด ในการทดลองจะวัดค่าความดันตgcร่อมของอุปกรณ์ก่อนเข้าและหลังเข้าอุปกรณ์ทั้ง 2 แบบ ของแต่ละการทดลอง

3.1.8.4 พลังงานที่ใช้

สำหรับพลังงานที่ใช้ไปของอุปกรณ์ดักฝุ่นทั้ง 2 แบบ หมายถึงพลังงานไฟฟ้าที่ใช้ไปทั้งระบบผลิตก้าชชีมวล ประกอบด้วย 2 ส่วน คือ ปั๊มน้ำและพัดลมดูดก้าช ซึ่งจะวัดกระแส

และแรงดันไฟฟ้าด้วยอุปกรณ์วัด Clamp Meter ของแต่ละการทดลอง นำมาหาการใช้พลังงานของ อุปกรณ์ตักผุน ได้จากการที่ 3.1 และ 3.2

$$P = EI \quad (3.1)$$

โดยที่	$P = \text{กำลังไฟฟ้า (W)}$
	$E = \text{แรงดัน (V)}$
	$I = \text{กระแส (A)}$

$$W = Pt \quad (3.2)$$

โดยที่	$W = \text{พลังงานไฟฟ้า (kWh)}$
	$P = \text{กำลังไฟฟ้า (kW)}$
	$t = \text{เวลา (h)}$

3.2 วิธีการทดลอง

3.2.1 วิธีเดินระบบเผาผลิตก๊าซชีวมวล มีขั้นตอนการปฏิบัติดังนี้

3.2.1.1 เดิมเชื้อเพลิงชีวมวลไม้ ขนาด $2'' \times 2'' \times 2''$ เข้าสู่ระบบผลิตก๊าซชีวมวล

3.2.1.2 กดปุ่ม Start เดินระบบผลิตก๊าซชีวมวล (เปิด瓦ล์วและพัดลมดูดก๊าซ)

3.2.1.3 ปรับอัตราการไหลก๊าซที่ $6.21 \text{ m}^3/\text{min}$ โดยใช้ Inverter ปรับรอบของพัดลมดูดก๊าซ

3.2.1.4 จุดเตา Gasifier

3.2.1.5 เดินระบบผลิตก๊าซชีวมวล ประมาณ 30 min

3.2.1.6 เปิดระบบ้น้ำอุปกรณ์ตักผุน (เปิดปั๊มน้ำ Muti stage centrifugal pump)

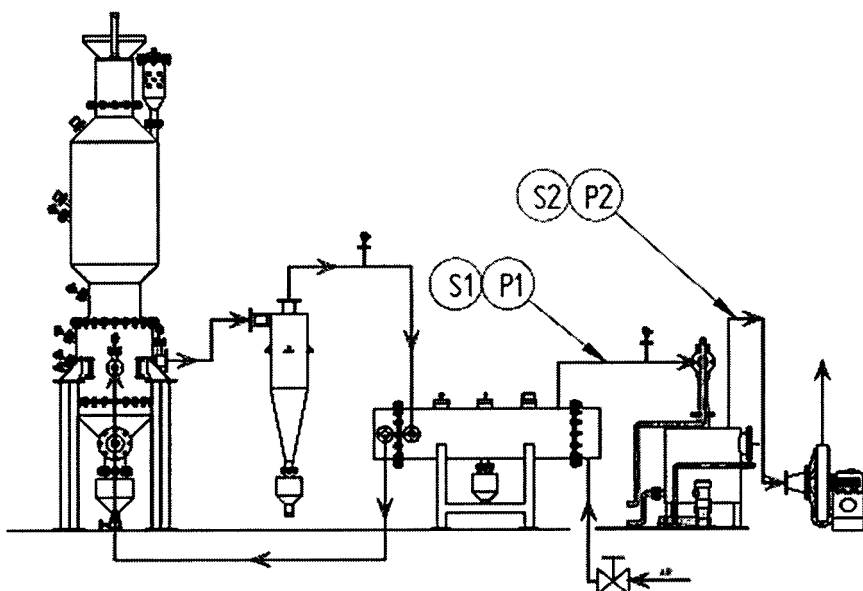
3.2.1.7 ควบคุมความดันน้ำฉีดตามเงื่อนไขการทดลอง ดังตารางที่ 3.5

3.2.1.8 เก็บตัวอย่างก๊าซชีวมวลhabriman ผ่านน้ำมันตินและสารปนเปื้อน วัดความดัน ตักคร่อม และวัดพลังงานการใช้ไฟฟ้า ของแต่ละการทดลอง

สำหรับทิศทางการไหลของกระแสก๊าซชีวมวลที่ผลิตออกจากเตา Gasifier ก่อนจะเข้ามายังอุปกรณ์ตักผุน จะผ่านอุปกรณ์ไซโคลน (Cyclone) และอุปกรณ์แลกเปลี่ยนความร้อน (Heat exchanger) ด้วยพัดลมดูดก๊าซชีวมวล ดังภาพที่ 3.13

ตารางที่ 3.5 เงื่อนไขการทดลองช่วงความดันของน้ำมัน

ลำดับที่	ชนิดคอกอต (bar)	ชนิดอีจีคเตอร์ (bar)
1	0.25	1.00
2	0.50	2.00
3	0.75	3.00
4	1.00	4.00
5	-	5.00
6	-	6.00



ภาพที่ 3.13 ผังทิศทางการไหลของกระเสก้าชในการทดลอง

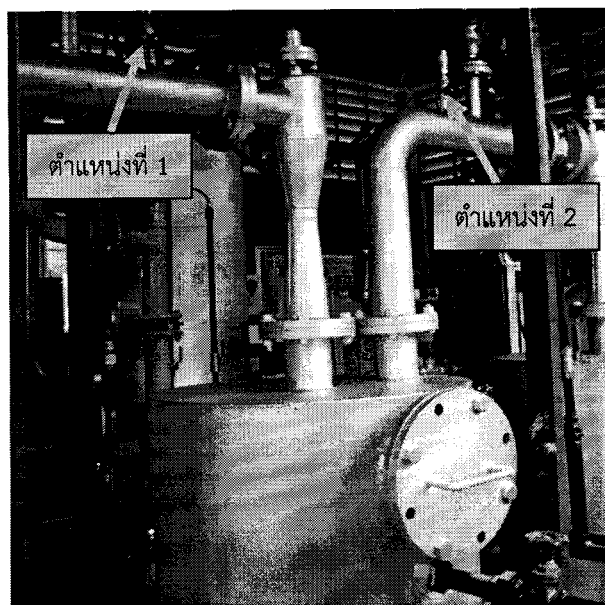
3.2.2 วิธีเก็บตัวอย่างการทดลอง

3.2.2.1 วิธีการเก็บตัวอย่างฝุ่น น้ำมันดินและสารปนเปื้อน

ในส่วนของการเก็บตัวอย่างเพื่อหาค่าปริมาณฝุ่น น้ำมันดินและสารปนเปื้อนในการทดลอง มีการดำเนินงาน 3 ขั้นตอน ได้แก่

1) วิธีการเตรียมจุดเก็บตัวอย่างก้าชชีมวล

ในการทดลองจะต้องเตรียมจุดเก็บตัวอย่างก้าชชีมวล 2 ตำแหน่ง คือ ตำแหน่งที่ 1 เป็นตำแหน่งสำหรับเก็บตัวอย่างปริมาณฝุ่น น้ำมันดินและสารปนเปื้อนก่อนเข้าอุปกรณ์ดักฝุ่น และตำแหน่งที่ 2 เป็นตำแหน่งสำหรับเก็บตัวอย่างปริมาณฝุ่น น้ำมันดินและสารปนเปื้อนหลังเข้าอุปกรณ์ดักฝุ่น ดังภาพที่ 3.14



ภาพที่ 3.14 ตัวแน่นเก็บตัวอย่างการทดลอง

2) วิธีการเตรียมอุปกรณ์เก็บตัวอย่างก้าชชีมวล

การเตรียมอุปกรณ์เก็บตัวอย่างก้าชชีมวล อุปกรณ์ประกอบด้วย ขวดซมพ์ จุกยาง หลอดแก้ว สายซิลิโคนทนความร้อน กล่องโพเม น้ำแข็ง ชีตเตอร์ กระดาษกรอง ปืนสูบ ดูดก้าช และเกลือ การเตรียมอุปกรณ์เก็บตัวอย่างก้าชชีมวล จะแบ่งออกเป็น 2 ขั้นตอน ดังนี้

2.1) การเตรียมอุปกรณ์เก็บฝุ่น เริ่มจากนำกระดาษกรองที่มีความละเอียด 3 μm ขนาดเส้นผ่าศูนย์กลาง 90 mm ไปอบแห้งที่อุณหภูมิ 105 °C ด้วยตู้อบ Hot Air Oven (Model TS800) เป็นเวลา 1 ชั่วโมง จากนั้นนำกระดาษกรองออกมาทิ้งไว้ให้เย็น เอาเข้าในตู้ดูด ความชื้น 12 ชั่วโมง ตั้งภาพที่ 3.15 หลังจากนั้น นำกระดาษกรองไปชั่งน้ำหนัก ดังภาพที่ 3.16 จะได้ น้ำหนักกระดาษกรองก่อนการเก็บฝุ่นในการทดลอง นำกระดาษกรองที่ได้ไปประกอบเข้ากับ ชุดอุปกรณ์เก็บตัวอย่างฝุ่น



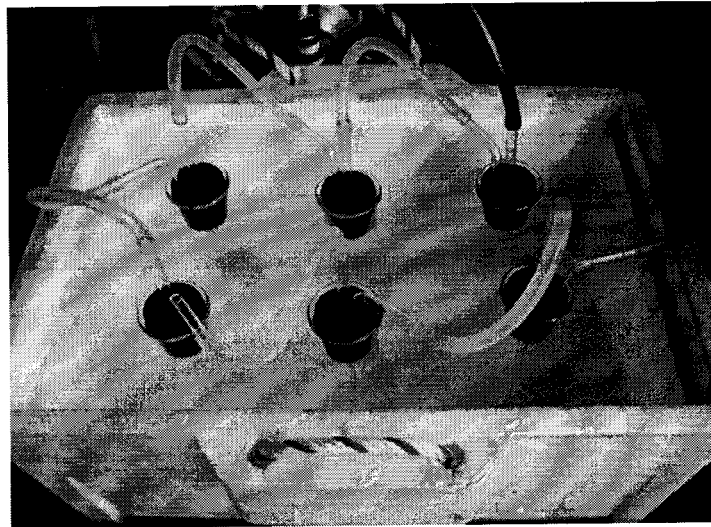
ภาพที่ 3.15 ตัวอย่างการดูดความชื้นกระดาษกรอง



ภาพที่ 3.16 ตัวอย่างการซึ่งน้ำหนักกระดาษกรอง

2.2) การเตรียมอุปกรณ์เก็บตัวอย่างน้ำมันดินและสารปนเปื้อน การเตรียมอุปกรณ์ทำโดยเตรียมขวดชนพู่ และบรรจุสารละลายไอโซโพราโนล (C_3H_8O) ลงในขวดชนพู่ขนาด 50 ml จำนวน 6 ขวด เพื่อลดเลี้ยงน้ำมันดินออกจากการก้าชชีวมวล จากนั้นนำขวดชนพู่ที่บรรจุสารละลายไอโซโพราโนล (C_3H_8O) ทั้ง 6 ขวด มาวางต่อกันแบบอนุกรมด้วยสายซิลิโคนทนความร้อน นำขวดชนพู่ทั้ง 6 ขวดที่เตรียมไว้แล้ว นำไปวางแซในกล่องโฟนที่บรรจุน้ำแข็งสมเกลือเพื่อให้อุณหภูมิประมาณ 0 - 5 °C ดังภาพที่ 3.17 แล้วนำไปต่อเข้ากับชุดอุปกรณ์เก็บตัวอย่างผุน ตรงทางเข้า และต่อกับชุดอุปกรณ์ดูดก้าชตรงทางออกของชุดอุปกรณ์เก็บตัวอย่างน้ำมันดินและสารปนเปื้อน ตัวอย่างก้าชชีวมวลจะถูกดูดออกจากท่อ ก้าชในระบบผลิตก้าชชีวมวล เข้าไปยัง

ชุดอุปกรณ์เก็บตัวอย่างฝุ่นและชุดอุปกรณ์เก็บตัวอย่างน้ำมันดินและสารปนเปื้อน ด้วยชุดอุปกรณ์ดูดก๊าซ (ปั๊มลูกสูบ)



ภาพที่ 3.17 การเชื่อมต่ออุปกรณ์ด้วยสายชิลลิโคนทนาความร้อนของชุดเก็บตัวอย่างน้ำมันดิน และสารปนเปื้อน

3) วิธีการเก็บตัวอย่างฝุ่น น้ำมันดินและสารปนเปื้อน

การเก็บตัวอย่างก๊าซชีวมวล จะเริ่มดำเนินการหลังจากที่ได้เดินระบบผลิต ก๊าซชีวมวลไปประมาณ 30 min โดยมีขั้นตอนการปฏิบัติ ดังนี้

3.1) ควบคุมความดันน้ำมันดินของอุปกรณ์ดักฝุ่นตามเงื่อนไขการทดลอง มีวิธีการดังนี้ จากรูปที่ 3.18

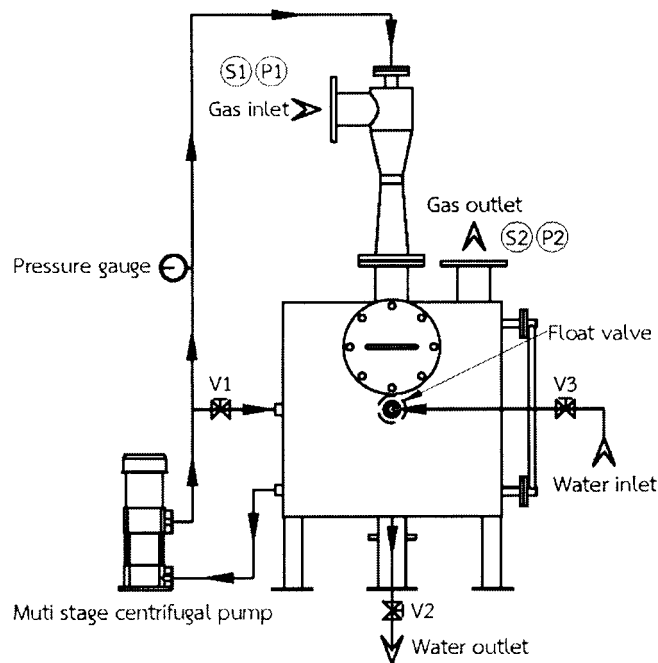
3.1.1) เปิดวาล์วปล่อยน้ำ (V1) ผ่านทางท่อ Bypass เข้าสู่ถังพักเพื่อลดความดันน้ำมันดินตามเงื่อนไขการทดลอง ดูค่าความดันน้ำมันดินได้จาก Pressure gauge

3.1.2) เปิดวาล์วน้ำทิ้ง (V2) ด้านล่างของถังในกรณีที่อุณหภูมน้ำ สูงขึ้นจนเกินค่าที่กำหนด และน้ำจะถูกเติมเข้ามาทางวาล์วถุงลม (V3) เพื่อรักษาอุณหภูมิของน้ำ

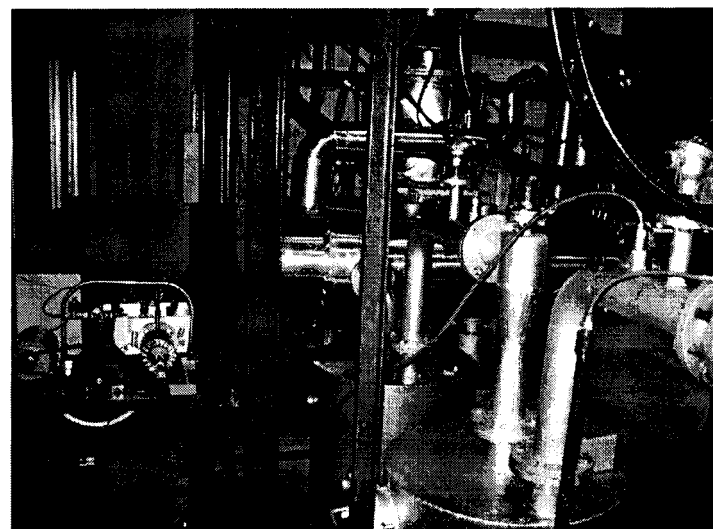
3.2) เชื่อมต่อสายยางทนาความร้อนเข้ากับชุดที่จะเก็บตัวอย่างก๊าซชีวมวล เข้ากับชุดอุปกรณ์เก็บตัวอย่างฝุ่น น้ำมันดินและสารปนเปื้อน ดังรูปที่ 3.19

3.3) ทำการตั้งค่าเครื่องดูดก๊าซให้ดูดก๊าซผ่านเข้าในชุดเก็บตัวอย่างฝุ่น ชุดเก็บตัวอย่างน้ำมันดินและสารปนเปื้อน ด้วยปั๊มลูกสูบจากตู้ควบคุมการทำงาน การทดลองในงานวิจัยนี้ จะทำการเก็บตัวอย่างก๊าซชีวมวล ที่ปริมาตร 0.5 m^3

3.4) เปิดระบบการทำงานชุดเก็บตัวอย่างฝุ่น น้ำมันดินและสารปนเปื้อน



ภาพที่ 3.18 ผังชุดอุปกรณ์ตักฝุ่น



ภาพที่ 3.19 ตัวอย่างการเชื่อมต่อชุดอุปกรณ์วัดปริมาณฝุ่น น้ำมันดินและสารปนเปื้อนหลังเข้า อุปกรณ์ตักฝุ่น

3.2.2.2 วิธีการวัดความดันต่อกรั่ม มีขั้นตอนดังนี้

- 1) เปิดการทำงานอุปกรณ์วัด Digital micro manometer และ Clear zero
- 2) เชื่อมต่อสายยางจากจุดที่จะวัดความดันเข้ากับอุปกรณ์วัด Digital micro manometer วัดความดันก่อนเข้าอุปกรณ์ตักฝุ่น (P1) และวัดความดันหลังเข้าอุปกรณ์ตักฝุ่น (P2) ดังภาพที่ 3.20 ของแต่ละการทดลอง ได้ค่าการวัดเป็น Pa

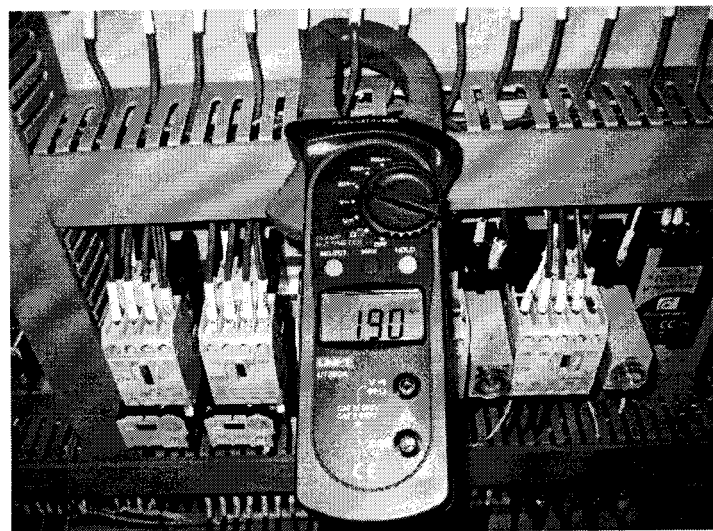
3) นำค่าที่วัดได้มาเบรียบเทียบ (P_1-P_2) จะได้ค่าความตันตกคร้อมของอุปกรณ์ดักผุน

3.2.2.3 วิธีการวัดพลังงานไฟฟ้า มีขั้นตอนดังนี้

1) เปิดการทำงานอุปกรณ์วัด Digital Clamp Multimeters ปิดสวิตช์ไปที่ตำแหน่ง 200A~ วัดกระแส และปิดสวิตช์ไปที่ตำแหน่ง V~ วัดแรงดัน

2) วัดพลังงานไฟฟ้าของบีบม่าน้ำและพัดลมดูดก๊าซที่ตู้ควบคุมการทำงาน ดังภาพที่ 3.21 วัดกระแสและแรงดันไฟฟ้าของแต่ละการทดลอง นำค่าที่ได้มาคำนวณพลังงานไฟฟ้า (kWh) จากสมการที่ 2.15 และ 2.16

3) นำพลังงานไฟฟ้า (kWh) ของบีบม่าน้ำและพัดลมดูดก๊าซมารวมกัน จะได้ พลังงานไฟฟาร่วมของอุปกรณ์ดักผุน



ภาพที่ 3.20 ตัวอย่างการวัดกระแสไฟฟ้าบีบม่าน้ำ

3.2.3 วิธีการวิเคราะห์ผล

3.2.3.1 วิธีหาปริมาณผุน มีขั้นตอนดังนี้

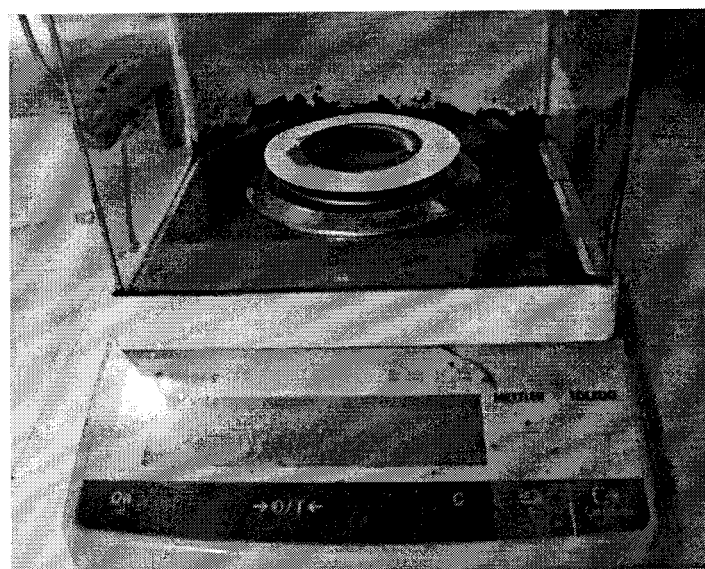
1) นำกระแสชากรองที่มีตัวอย่างผุนของแต่ละการทดลองไปอบแห้งในตู้อบ ที่อุณหภูมิ 105°C เป็นเวลา 1 ชั่วโมง

2) หลังจากนั้นนำกระแสชากรองไปเข้าตู้ดูดความชื้น 12 ชั่วโมง ดังภาพที่ 3.21

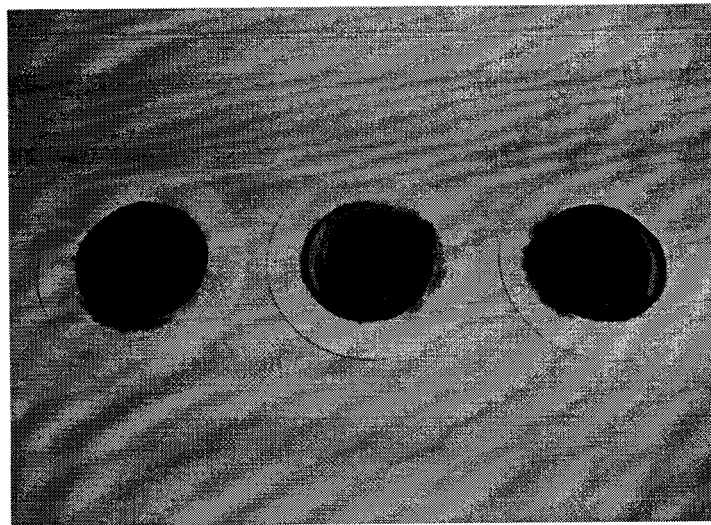
3) นำกระแสชากรองไปซึ่งน้ำหนัก ดังภาพที่ 3.22 จะได้ปริมาณผุนของแต่ละ การทดลอง



ภาพที่ 3.21 ตัวอย่างการดูดความชื้นกระดาษกรอง



ภาพที่ 3.22 ตัวอย่างการซั่งน้ำหนักกระดาษกรอง



ภาพที่ 3.23 ตัวอย่างปริมาณฝุ่นที่ติดบนกระดาษกรองก่อนเข้าอุปกรณ์

3.2.3.2 วิธีทำปริมาณน้ำมันดินและสารปนเปื้อน แบ่งออกเป็น 2 ขั้นตอน ดังนี้

1) ขั้นตอนการเตรียมอุปกรณ์ มีขั้นตอนดังนี้

1.1) ล้างทำความสะอาดถ้วยระเหยให้สะอาด

1.2) นำถ้วยระเหยไปเข้าตู้อบ อบถ้วยระเหยที่อุณหภูมิ 105°C เป็นเวลา

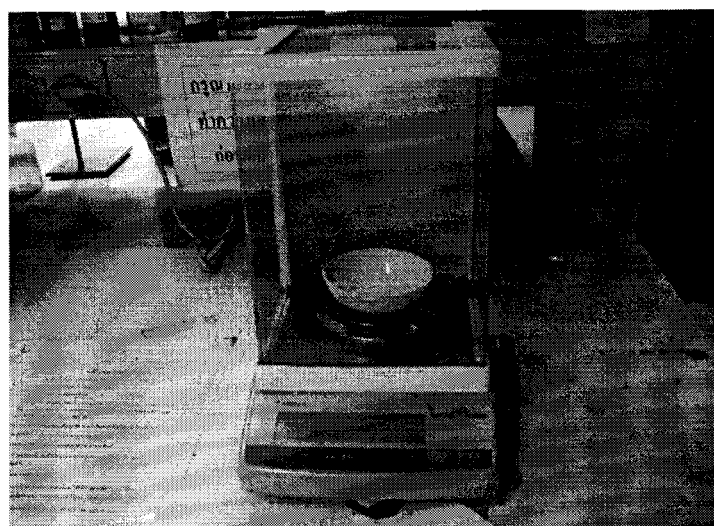
1 ชั่วโมง

1.3) นำถ้วยระเหยเข้าตู้ดูดความชื้น 12 ชั่วโมง ดังภาพที่ 3.24

1.4) นำถ้วยระเหยไปซั่งน้ำหนัก ดังภาพที่ 3.25 จะได้ถ้วยระเหยก่อนการทำบริมาณน้ำมันดินและสารปนเปื้อน



ภาพที่ 3.24 ตัวอย่างการดูดความชื้นถ้วยระเหย

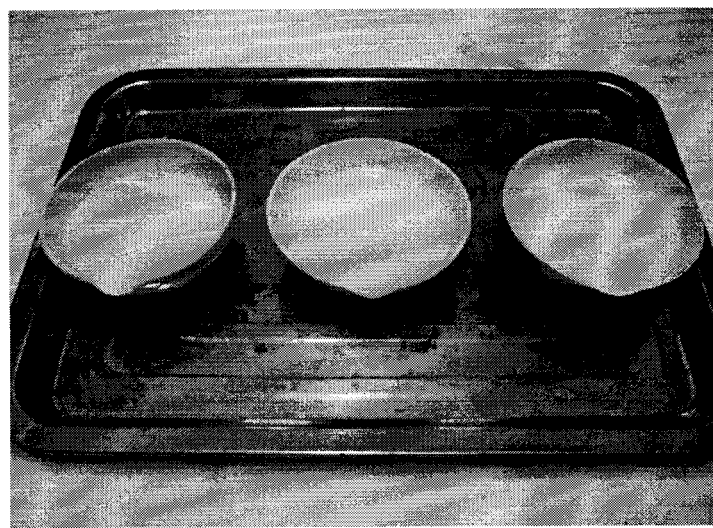


ภาพที่ 3.25 ตัวอย่างการซึ่งน้ำหนักถ้วยระเหย

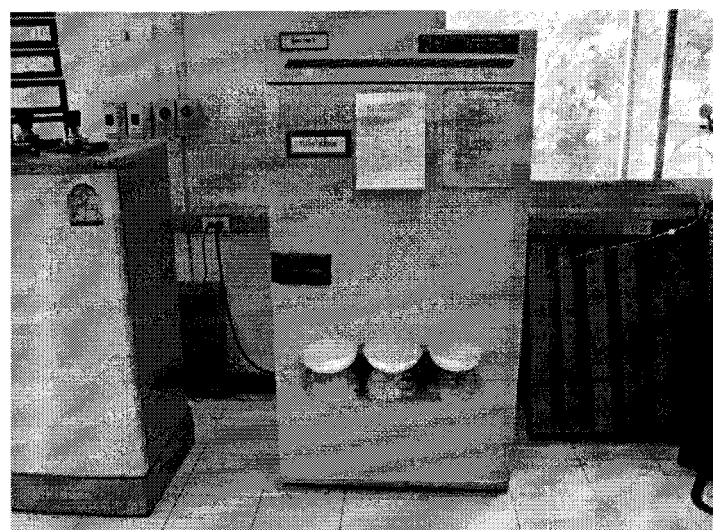
- 2) ขั้นตอนการวิเคราะห์ ซึ่งน้ำหนักน้ำมันดินและสารปนเปื้อน มีขั้นตอนดังนี้
 - 2.1) เทสารละลายไอโซโพพานอล (C_3H_8O) ที่มีนำมันดินและสารปนเปื้อนละลายอยู่ ลงในถ้วยระเหย ดังภาพที่ 3.26 สารละลายไอโซพานอล (C_3H_8O) ที่ใช้ในการทดลอง เป็นเคมีภัณฑ์เกรดสำหรับการวิเคราะห์ทดลองในห้อง Lab ซื้อจาก บริษัท เอ็น เค อินเตอร์แอคทีฟ จำกัด มีคุณสมบัติทางกายภาพและเคมี ดังตารางที่ 3.6
 - 2.2) นำถ้วยระเหยที่บรรจุสารละลายไอโซโพพานอล (C_3H_8O) เข้าตู้อบ ดังภาพที่ 3.27 เพื่อระเหยสารละลายไอโซโพพานอล (C_3H_8O) ออกจากนำมันดินและสารปนเปื้อน ที่อุณหภูมิ $82^{\circ}C$ เป็นเวลา 8 ชั่วโมง
 - 2.3) นำถ้วยระเหยที่มีตัวอย่างนำมันดินและสารปนเปื้อน เข้าตู้ดูดความชื้น เป็นเวลา 12 ชั่วโมง
 - 2.4) นำถ้วยระเหยที่มีนำมันดินและสารปนเปื้อน ไปซึ่งน้ำหนัก ดังภาพที่ 3.28 นำน้ำหนักถ้วยระเหยที่ซึ่งได้ไปเทียบค่ากับน้ำหนักถ้วยระเหยก่อนการหาปริมาณนำมันดินและสารปนเปื้อน จะได้ปริมาณนำมันดินและสารปนเปื้อนของแต่ละการทดลอง

ตารางที่ 3.6 คุณสมบัติทางกายภาพและเคมีสารละลายน้ำมันออยล์โพพานอล (C_3H_8O)

Physical and Chemical Properties	Volume
Boiling point	82-83 °C
Melting/freezing point	Typical -88 °C
Acidity/alkalinity (meq/g)	0.0001 meq/g
Assay (GC)	99.97%
Calcium (Ca)	<0.005 ppm
Colour	<5 APHA
Copper (Cu)	<0.002 ppm
C4 alcohols	0.0002%
C5 alcohols	Not Detected%
Ethanol	0.00008%
Iron (Fe)	<0.002 ppm
Lead (Pb)	<0.002 ppm
Magnesium (Mg)	<0.002 ppm
Methanol	0.00007%
Potassium (K)	<0.002 ppm
Propan-1-ol	0.0273%
Residue after evaporation (ppm)	0.51 ppm
Sodium (Na)	<0.02 ppm
Substances darkened by H ₂ SO ₄ (APHA)	<5 APHA
Substances reducing KMnO ₄	<0.0005%
Total phosphorus (P)	<0.01 ppm
Total silicon (Si)	<0.02 ppm
Total sulfur (S)	<0.05 ppm
Water	0.007%
Zinc (Zn)	<0.002 ppm



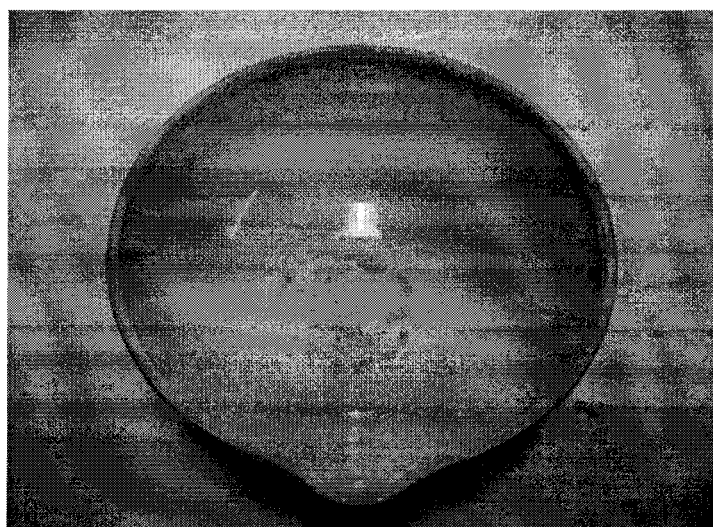
ภาพที่ 3.26 ตัวอย่างถ้วยระ夷บรรจุสารละลายน้ำโซดา (C₃H₈O)



ภาพที่ 3.27 ตัวอย่างการอบระ夷สารละลายน้ำโซดา (C₃H₈O)



ภาพที่ 3.28 นำถวยระเหยที่มีน้ำมันดินและสารปนเปื้อนชั่งน้ำหนัก



ภาพที่ 3.29 ตัวอย่างน้ำมันดินและสารปนเปื้อนในถวยระเหย

บทที่ 4

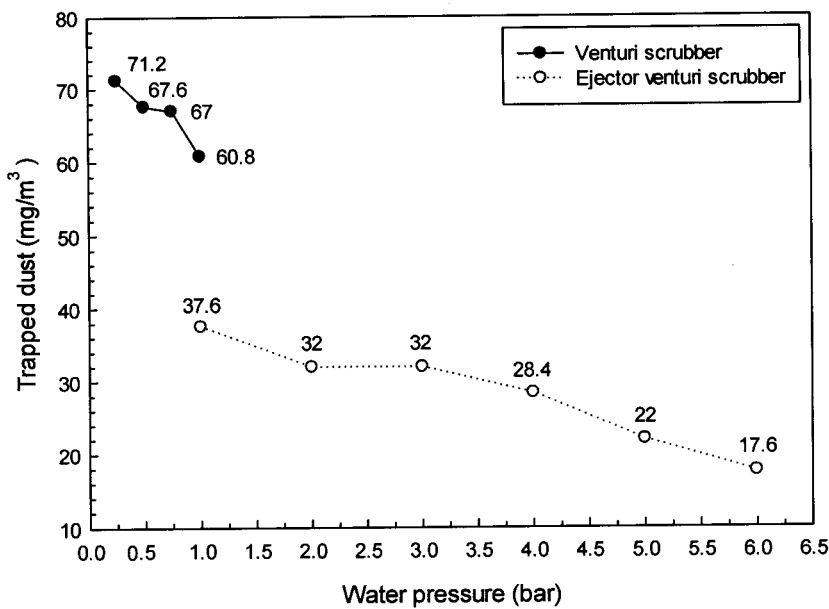
ผลการทดลองและวิเคราะห์

จากผลการทดลองอุปกรณ์ดักฝุ่นแบบเปียกทั้ง 2 แบบ ตามวิธีการทดลองในบทที่ 3 เมื่อนำผลการทดลองที่ได้มามาวิเคราะห์ผล สามารถนำเสนอออกเป็น 4 ประเด็น ดังนี้

4.1 ประสิทธิภาพการดักฝุ่น

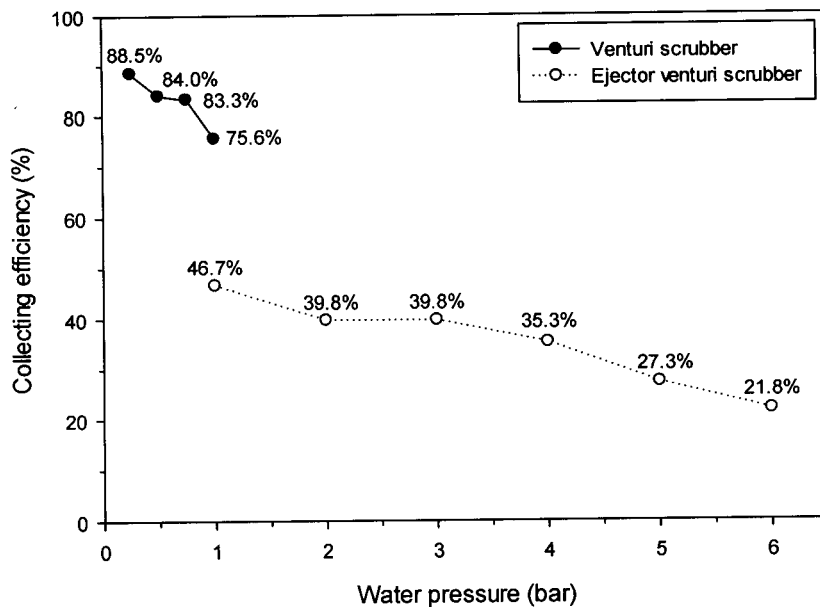
จากผลการทดลองพบว่า ปริมาณฝุ่นที่ดักจับได้เมื่อผ่านอุปกรณ์ดักฝุ่นชนิดคอกอดกับชนิดอีเจ็คเตอร์ มีแนวโน้มลดลง เมื่อมีการเพิ่มความดันของน้ำฉีดให้กับอุปกรณ์ ดังภาพที่ 4.1 เนื่องจาก เมื่อเพิ่มความดันของน้ำฉีดให้กับอุปกรณ์ดักฝุ่นทั้ง 2 แบบนั้น ทำให้ลำน้ำฉีดมีความเร็วเพิ่มมากขึ้น ส่งผลให้การสัมผัสน้ำกับกระแสงแก๊สในอุปกรณ์ เกิดขึ้นอย่างรวดเร็ว จึงเป็นผลทำให้การดักจับฝุ่น ดักจับได้น้อยลง อุปกรณ์ดักฝุ่นชนิดคอกอดดักจับฝุ่นได้ปริมาณมากสุด คือ 71.2 mg/m^3 ที่ความดันน้ำฉีด 0.25 bar และอุปกรณ์ดักฝุ่นชนิดอีเจ็คเตอร์ดักจับฝุ่นได้ปริมาณมากสุด คือ 37.6 mg/m^3 ที่ความดันน้ำฉีด 0.25 bar (ปริมาณฝุ่นที่วัดได้ก่อนเข้าอุปกรณ์ดักฝุ่นทั้ง 2 แบบ คือ 80.4 mg/m^3)

เมื่อนำผลการทดลองที่ได้มาเปรียบเทียบการดักจับฝุ่นของอุปกรณ์ดักฝุ่นทั้ง 2 แบบพบว่าอุปกรณ์ดักฝุ่นชนิดอีเจ็คเตอร์ ดักจับฝุ่นได้น้อยกว่าอุปกรณ์ดักฝุ่นชนิดคอกอด จะสังเกตได้ว่า อุปกรณ์ดักฝุ่นทั้ง 2 แบบ เมื่อมีการเพิ่มความดันน้ำฉีดสูงขึ้น ประสิทธิภาพในการดักจับฝุ่นน้อยลง ดังนั้นอุปกรณ์ดักฝุ่นจะดักจับฝุ่นได้ดีจะต้องมีการสเปรย์น้ำฉีดให้มีลักษณะเป็นละอองที่ความดันน้ำฉีดไม่สูงมาก จะให้ประสิทธิภาพในการดักจับฝุ่นที่สูงกว่า



ภาพที่ 4.1 ปริมาณฝุ่นที่ดักจับได้เมื่อผ่านอุปกรณ์ดักฝุ่นแบบเปลี่ยนชนิดคือดักกับชนิดอีเจ็คเตอร์ ที่ความดันน้ำฉีดต่างๆ

และจากข้อมูลการดักจับฝุ่นของอุปกรณ์ดักฝุ่นทั้ง 2 แบบ สามารถนำมาคำนวณหา ประสิทธิภาพรวมของอุปกรณ์ดักฝุ่นตามสมการที่ (2.14) ดังภาพที่ 4.2 โดยอุปกรณ์ดักฝุ่นชนิดคือดักให้ ประสิทธิภาพในการดักจับฝุ่นสูงสุด 88.5% ที่ความดันน้ำฉีด 0.25 bar ส่วนอุปกรณ์ดักฝุ่น ชนิดอีเจ็คเตอร์ให้ประสิทธิภาพในการดักจับฝุ่นสูงสุด 46.7% ที่ความดันน้ำฉีด 1 bar

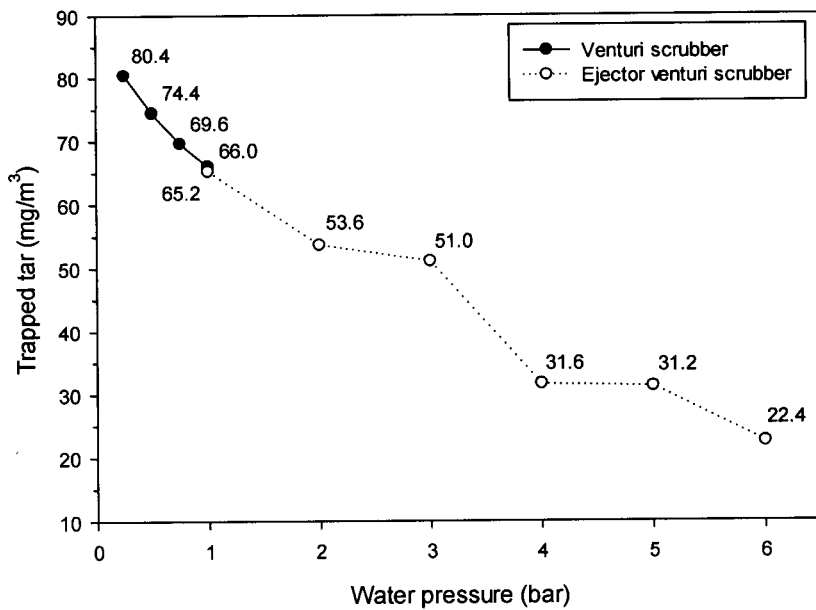


ภาพที่ 4.2 ประสิทธิภาพการดักจับฝุ่นของอุปกรณ์ดักฝุ่นแบบเปียกชนิดคอกอดกับชนิดอีเจ็คเตอร์ ที่ความดันน้ำฉีดต่างๆ

4.2 ประสิทธิภาพการดักจับน้ำมันดินและสารปนเปื้อน

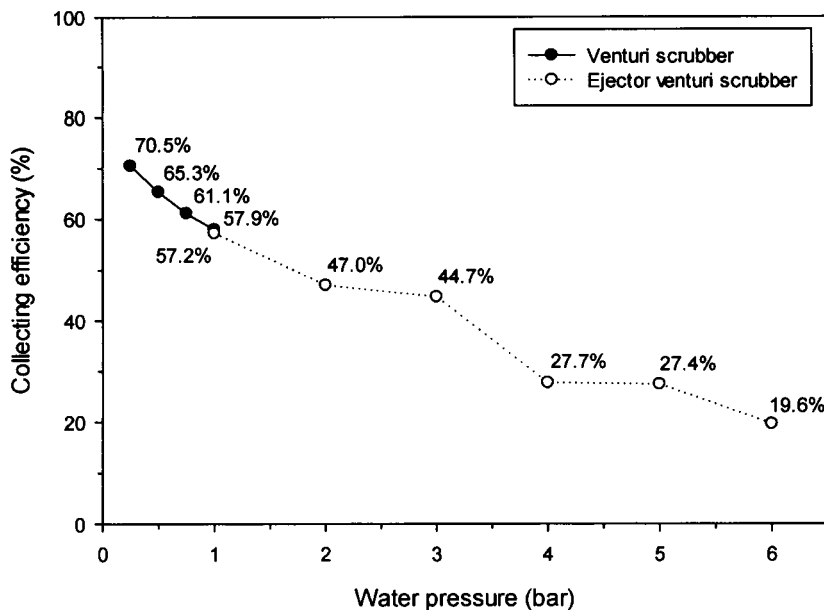
จากการทดลอง พบว่าปริมาณน้ำมันดินและสารปนเปื้อนที่ดักจับได้เมื่อผ่านอุปกรณ์ดักฝุ่นชนิดคอกอดกับชนิดอีเจ็คเตอร์ มีแนวโน้มลดลง เมื่อมีการเพิ่มความดันของน้ำฉีดให้กับอุปกรณ์ ดังภาพที่ 4.3 เนื่องจาก เมื่อมีการเพิ่มความดันของน้ำฉีดให้กับอุปกรณ์ ลักษณะของการสเปรย์น้ำไม่เป็นละออง จะมีลักษณะเป็นลำน้ำฉีดที่มีความเร็ว ส่งผลให้การสัมผัสนั้นระหว่างน้ำที่ใช้ในการทำความสะอาดกับระยะใกล้ ก็จะเกิดขึ้นอย่างรวดเร็ว ส่งผลทำให้การดักจับน้ำมันดินและสารปนเปื้อน ดักจับได้น้อยลง อุปกรณ์ดักฝุ่นชนิดคอกอดสามารถดักจับน้ำมันดินและสารปนเปื้อนได้ปริมาณมากสุด คือ 80.4 mg/m^3 ที่ความดันน้ำฉีด 0.25 bar และอุปกรณ์ดักฝุ่นชนิดอีเจ็คเตอร์ ดักจับน้ำมันดินและสารปนเปื้อนได้มากสุดที่ 65.2 mg/m^3 ที่ความดันน้ำฉีด 1 bar (ปริมาณน้ำมันดินและสารปนเปื้อนที่วัดได้ก่อนเข้าอุปกรณ์ดักฝุ่นทั้ง 2 แบบ คือ 114 mg/m^3)

เมื่อนำผลการทดลองที่ได้มาเปรียบเทียบการดักจับน้ำมันดินและสารปนเปื้อนของอุปกรณ์ดักฝุ่นทั้ง 2 แบบ พบร่วมกับอุปกรณ์ดักฝุ่นชนิดอีเจ็คเตอร์ ดักจับน้ำมันดินและสารปนเปื้อนได้น้อยกว่าอุปกรณ์ดักฝุ่นชนิดคอกอด จะสังเกตได้ว่า อุปกรณ์ดักฝุ่นทั้ง 2 แบบ เมื่อมีการเพิ่มความดันน้ำฉีดสูงขึ้น ประสิทธิภาพในการดักจับน้ำมันดินและสารปนเปื้อนน้อยลง ดังนั้นอุปกรณ์ดักฝุ่นจะดักจับน้ำมันดินและสารปนเปื้อนได้ดีจะต้องมีการสเปรย์น้ำฉีดให้มีลักษณะเป็นละอองที่ความดันน้ำฉีดไม่สูงมาก จะให้ประสิทธิภาพในการดักจับน้ำมันดินและสารปนเปื้อนที่สูงกว่า



ภาพที่ 4.3 ปริมาณน้ำมันดินและสารปนเปื้อนที่ตักจับได้เมื่อผ่านอุปกรณ์ตักผุ่นแบบเปียก ชนิดคอกอดกับชนิดอีเจ็คเตอร์ที่ความดันน้ำฉีดต่างๆ

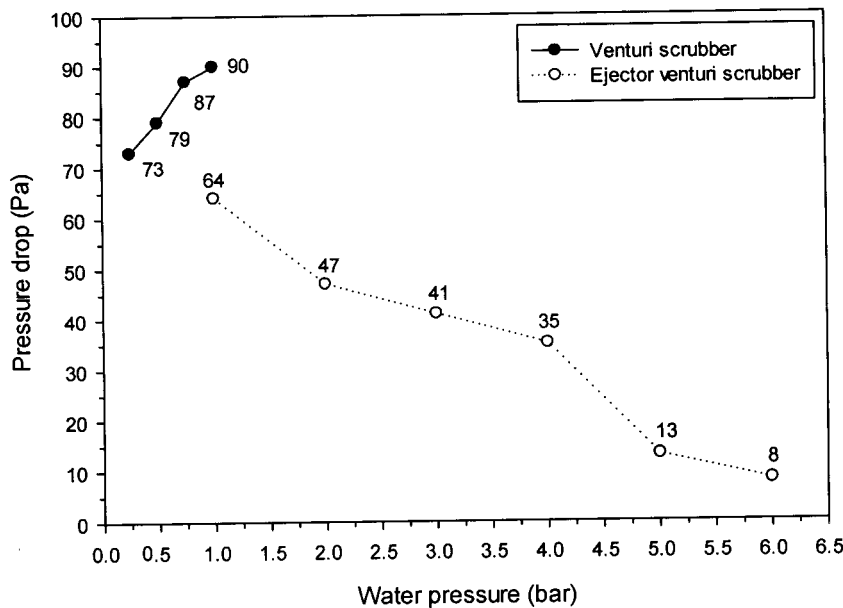
และจากข้อมูลการตักจับน้ำมันดินและสารปนเปื้อนของอุปกรณ์ตักผุ่นทั้ง 2 แบบ สามารถนำมาคำนวณประสิทธิภาพรวมของอุปกรณ์ตักผุ่นตามสมการที่ (2.14) โดยนำน้ำหนักปริมาณน้ำมันดิน และสารปนเปื้อนที่วัดได้มาแทนที่น้ำหนักปริมาณผุ่น ดังภาพที่ 4.4 โดยอุปกรณ์ตักผุ่นชนิดคอกอดให้ประสิทธิภาพในการตักจับน้ำมันดินและสารปนเปื้อนสูงสุด 70.5% ที่ความดันน้ำฉีด 0.25 bar ส่วน อุปกรณ์ตักผุ่นชนิดอีเจ็คเตอร์ให้ประสิทธิภาพในการตักจับน้ำมันดินและสารปนเปื้อนสูงสุด 57.2% ที่ความดันน้ำฉีด 1 bar



ภาพที่ 4.4 ประสิทธิภาพการดักจับน้ำมันดินและสารปนเปื้อนของอุปกรณ์ดักฝุ่นแบบเบี่ยง
ชนิดคอกอดกับชนิดอีเจ็คเตอร์ที่ความดันน้ำมีดีต่างๆ

4.3 ความดันต่อกรุ่ม

จากการทดลอง จากรูปที่ 4.5 พบว่าค่าความดันต่อกรุ่มของอุปกรณ์ดักฝุ่นชนิดคอกอด มีค่าความดันต่อกรุ่มเพิ่มสูงขึ้น เมื่อเพิ่มความดันของน้ำมีดีให้กับอุปกรณ์ เนื่องจากลักษณะการสเปรย์น้ำของอุปกรณ์ดักฝุ่นชนิดคอกอดเป็นละอองที่ความดันน้ำมีดีไม่สูง เมื่อเพิ่มความดันน้ำมีดีก็ยัง ทำให้การสเปรย์น้ำมีดีเป็นลำ ไปช่วงทิศทางการไหลของกระแสแก๊ส ส่งผลให้เกิดค่าความดันต่อกรุ่ม เพิ่มสูงขึ้น โดยอุปกรณ์ดักฝุ่นชนิดคอกอดมีค่าความดันต่อกรุ่มในอุปกรณ์มีค่าน้อยที่สุด คือ 73 Pa ที่ความดันน้ำมีดี 0.25 bar ส่วนค่าความดันต่อกรุ่มของอุปกรณ์ดักฝุ่นชนิดอีเจ็คเตอร์ มีค่าความดันต่อกรุ่มลดลงเมื่อมีการเพิ่มความดันของน้ำมีดีให้กับอุปกรณ์ ซึ่งจะแตกต่างจากอุปกรณ์ดักฝุ่นชนิดคอกอด เนื่องจากลักษณะการสเปรย์น้ำมีดีของอุปกรณ์มีลักษณะเป็นลำขนาดเล็ก เมื่อมีการเพิ่ม ความดันน้ำมีดีมากขึ้น ทำให้โมเมนตัมของลำน้ำมีดีเพิ่มสูงขึ้น สามารถเห็นได้ว่ากระแสแก๊สให้เหล่าน อุปกรณ์บริเวณคอกอดได้มากขึ้น ทำให้มีเพิ่มความดันน้ำมีดี ก็ยิ่งช่วยลดค่าความดันต่อกรุ่มให้กับ อุปกรณ์ได้มากขึ้น โดยค่าความดันต่อกรุ่มของอุปกรณ์ดักฝุ่นชนิดอีเจ็คเตอร์ มีค่าน้อยสุด คือ 8 Pa ที่ความดันน้ำมีดี 6 bar



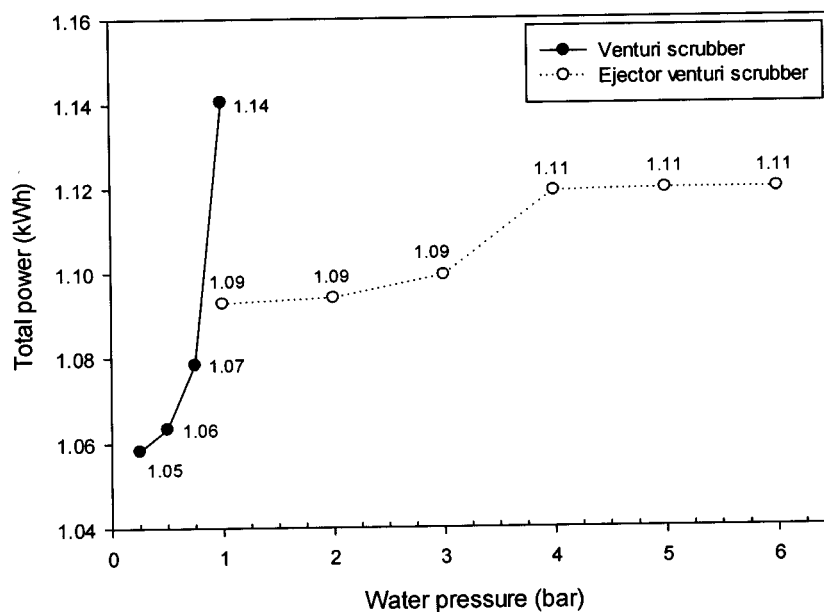
ภาพที่ 4.5 ความดันต่ำคร่อมของอุปกรณ์ดักฝุ่นแบบเปียกชนิดคอดกับชนิดอีเจ็คเตอร์ที่ความดันน้ำฉีดต่างๆ

4.4 การใช้พลังงานไฟฟ้า

สำหรับค่าพลังงานไฟฟ้ารวมในการทดลองของอุปกรณ์ดักฝุ่นทั้ง 2 แบบ หมายถึง พลังงานไฟฟ้าที่ใช้ไปทั้งระบบผลิตกําชีวมวล โดยมีแหล่งที่มาของพลังงานไฟฟ้า 2 แหล่ง ได้แก่ ปั๊มน้ำและพัดลมดูดกําชีวมวล ซึ่งจากการทดลองที่ได้พบว่า ค่าพลังงานไฟฟ้ารวมที่ใช้ไปของอุปกรณ์ดักฝุ่นชนิดคอด มีค่าพลังงานรวมที่เพิ่มสูงขึ้น เมื่อมีการเพิ่มความดันของน้ำฉีดให้กับอุปกรณ์ ดังภาพที่ 4.6 เนื่องจาก การเพิ่มความดันของน้ำฉีดให้กับอุปกรณ์ ปั๊มน้ำยิ่งใช้พลังงานไฟฟ้าสูงขึ้นตามความดันน้ำฉีด ซึ่งลักษณะการสเปรย์น้ำฉีดของอุปกรณ์ดักฝุ่นชนิดคอด มีลักษณะเป็นรูปทรงกรวย ทำให้ยิ่งไปทาง ทิศทางการไหลของกระแสกําชีว ส่งผลให้พัดลมดูดกําชีวที่ใช้พลังงานไฟฟ้าสูงขึ้นตามไปด้วย อุปกรณ์ ดักฝุ่นชนิดคอดมีค่าการใช้พลังงานไฟฟ้ารวมน้อยสุด คือ 1.05 kWh ที่ความดันน้ำฉีด 0.25 bar ส่วนค่าพลังงานไฟฟ้ารวมของอุปกรณ์ดักฝุ่นชนิดอีเจ็คเตอร์ มีแนวโน้มเพิ่มสูงขึ้นเช่นเดียวกับอุปกรณ์ ดักฝุ่นชนิดคอดเมื่อมีการเพิ่มความดันของน้ำฉีด เนื่องจากเมื่อมีการเพิ่มความดันของน้ำฉีดให้กับ อุปกรณ์ ปั๊มน้ำใช้พลังงานไฟฟ้าสูงขึ้น แต่จากช่วงความดันน้ำฉีดที่ 4-6 bar พลังงานรวมของอุปกรณ์ เริ่มมีค่าคงที่ เพราะว่าที่ความดันน้ำฉีดสูง อุปกรณ์ดักฝุ่นชนิดอีเจ็คเตอร์สามารถเหนี่ยวนำกระแสกําชีว ได้มากขึ้น ทำให้พัดลมดูดกําชีวทำงานน้อยลง

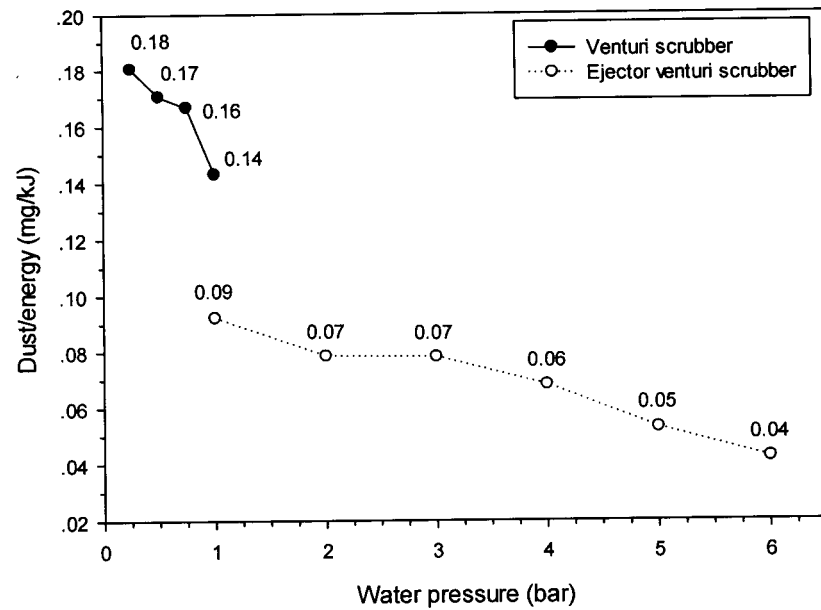
จากการเปรียบเทียบอุปกรณ์ดักฝุ่นทั้ง 2 แบบ พบว่า มีแนวโน้มการใช้พลังงานไฟฟ้ารวม เมื่อเทียบกัน คือ เมื่อมีการเพิ่มความดันน้ำฉีดให้กับอุปกรณ์ การใช้พลังงานไฟฟ้ารวมของอุปกรณ์ก็จะ เพิ่มสูงขึ้นตามไปด้วย เพราะว่า ปั๊มน้ำทำงานที่ความดันน้ำฉีดสูงขึ้นจะใช้พลังงานไฟฟ้าสูงขึ้นด้วย ซึ่งจะสังเกตได้ว่า ค่าพลังงานไฟฟ้ารวมของอุปกรณ์ดักฝุ่นชนิดคอด ที่ความดันน้ำฉีด 1 bar จะใช้ พลังงานไฟฟ้ารวมสูงสุดของทุกการทดลองของอุปกรณ์ดักฝุ่นทั้ง 2 แบบ เนื่องจากลักษณะการสเปรย์

น้ำฉีดของอุปกรณ์ดักฝุ่นชนิดคอกอด มีลักษณะเป็นรูปทรงกรวย เมื่อมีการเพิ่มความดันน้ำฉีด สเปรย์น้ำฉีดมีลักษณะเป็นลำ ยิ่งเกิดม่านน้ำทำให้ไปทางทิศทางการไหลของกระแสก๊าซ พัดลม ดูดก๊าซทำงานมากขึ้น ทำให้การใช้พลังงานไฟฟ้ารวมจึงมากกว่าทุกผลการทดลอง

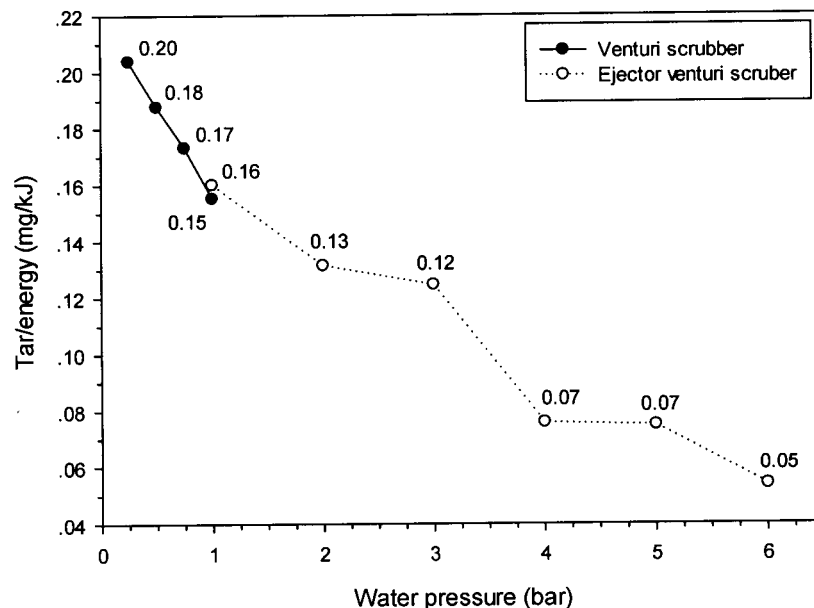


ภาพที่ 4.6 ค่าพลังงานไฟฟ้ารวมที่ใช้ไปของอุปกรณ์ดักฝุ่นแบบเบี่ยงชนิดคอกอด กับชนิดอี้เจ็คเตอร์ที่ความดันน้ำฉีดต่างๆ

จากการ 4.7 – 4.8 เป็นการคิดปริมาณฝุ่น น้ำมันดินและสารปนเปื้อนที่อุปกรณ์ดักฝุ่นทั้ง 2 แบบ ดักจับได้ต่อพลังงานที่ใช้ โดยปริมาณฝุ่น น้ำมันดินและสารปนเปื้อนที่ดักจับได้มีหน่วยเป็นปริมาณ (mg) ต่อพลังงานที่ใช้ไปของอุปกรณ์มีหน่วยเป็น (kJ) พบว่าค่าปริมาณฝุ่นต่อพลังงานของอุปกรณ์ ดักฝุ่นทั้ง 2 แบบ แปรผกผันกับความดันของน้ำฉีด โดยค่าสูงสุดของอุปกรณ์ดักฝุ่นชนิดคอกอด คือ $0.18 \text{ mg}/\text{kJ}$ ที่ความดันน้ำฉีด 0.25 bar ส่วนอุปกรณ์ดักฝุ่นชนิดอี้เจ็คเตอร์มีค่าสูงสุดคือ $0.09 \text{ mg}/\text{kJ}$ ที่ความดันน้ำฉีด 1 bar ส่วนปริมาณน้ำมันดินและสารปนเปื้อนที่ดักจับได้ต่อพลังงานของอุปกรณ์ ดักฝุ่นทั้ง 2 แบบ พบว่ามีแนวโน้มเช่นเดียวกันกับปริมาณฝุ่นที่ดักจับได้ต่อพลังงาน โดยค่าสูงสุดของ อุปกรณ์ดักฝุ่นชนิดคอกอด คือ $0.20 \text{ mg}/\text{kJ}$ ที่ความดันน้ำฉีด 0.25 bar ส่วนอุปกรณ์ดักฝุ่นชนิด อี้เจ็คเตอร์ มีค่าสูงสุด คือ $0.16 \text{ mg}/\text{kJ}$ ที่ความดันน้ำฉีด 1 bar จากผลการทดลองที่ได้นี้สรุปได้ว่า ผลการทดลองมีค่าสูงยิ่งดี หมายความว่า อุปกรณ์ดักฝุ่นสามารถดักจับฝุ่น น้ำมันดินและสารปนเปื้อน ได้มากและใช้พลังงานน้อย



ภาพที่ 4.7 ปริมาณฝุ่นที่ตักจับได้ต่อพลังงานของอุปกรณ์ตักฝุ่นแบบเบี่ยกชนิดคอกอด กับชนิดอีเจ็คเตอร์ที่ความดันน้ำมีดีต่างๆ



ภาพที่ 4.8 ปริมาณน้ำมันดินและสารปนเปื้อนที่ตักจับได้ต่อพลังงานของอุปกรณ์ตักฝุ่นแบบเบี่ยกชนิดคอกอดกับชนิดอีเจ็คเตอร์ที่ความดันน้ำมีดีต่างๆ

บทที่ 5

สรุปผลและข้อเสนอแนะ

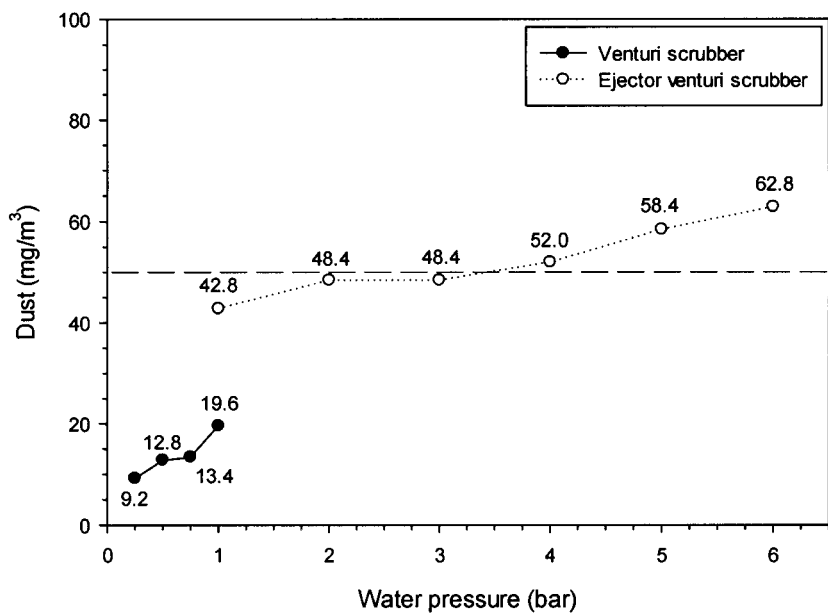
สรุปผลการทดลองการเปรียบเทียบคุณลักษณะการทำงานและสมรรถนะของอุปกรณ์ดักฝุ่นแบบเปียกชนิดอีจีคเตอร์กับชนิดคอกออด จากผลการทดลองที่ได้สามารถสรุปผลการศึกษาได้เป็น 4 ข้อดังนี้

5.1 ประสิทธิภาพการดักฝุ่น

(1) อุปกรณ์ดักฝุ่นชนิดคอกออดให้ประสิทธิภาพในการดักจับฝุ่นมากกว่าอุปกรณ์ดักฝุ่นชนิดอีจีคเตอร์ 89.36% ที่ประสิทธิภาพในการดักจับฝุ่นสูงสุดในการทดลองของอุปกรณ์ดักฝุ่นทั้ง 2 แบบ (อุปกรณ์ดักฝุ่นชนิดคอกออด มีประสิทธิภาพสูงสุด 88.5% ที่ความดันน้ำฉีด 0.25 bar และ อุปกรณ์ดักฝุ่นชนิดอีจีคเตอร์ มีประสิทธิภาพสูงสุด 46.7% ที่ความดันน้ำฉีด 1 bar)

(2) อุปกรณ์ดักฝุ่นทั้ง 2 แบบ มีค่าความสามารถในการดักจับฝุ่นสูงที่ความดันน้ำฉีดต่ำ โดยอุปกรณ์ดักฝุ่นชนิดคอกออดดักจับฝุ่นได้สูงสุด 71.2 mg/m^3 ที่ความดันน้ำฉีด 0.25 bar ส่วนอุปกรณ์ดักฝุ่นชนิดอีจีคเตอร์ดักจับฝุ่นได้สูงสุด 37.6 mg/m^3 ที่ความดันน้ำฉีด 1 bar (ปริมาณฝุ่นที่วัดได้ก่อนเข้าอุปกรณ์ดักฝุ่นทั้ง 2 แบบ คือ 80.4 mg/m^3)

(3) จากผลการทดลองที่ได้ เมื่อนำก้าชชีมวลที่ผ่านการทำความสะอาดจากอุปกรณ์ดักฝุ่นทั้ง 2 แบบ ไปประยุกต์ใช้งานในเครื่องยนต์สันดาปภายใน ในการผลิตไฟฟ้า จะต้องควบคุมคุณภาพ ก้าชชีมวลให้ได้ค่าไม่เกินค่ามาตรฐานที่กำหนด ซึ่งค่ามาตรฐานปริมาณฝุ่นสูงสุดในก้าชชีมวล ที่ยอมรับได้ในการนำไปประยุกต์ใช้งานในเครื่องยนต์สันดาปภายใน ปริมาณฝุ่นไม่ควรเกิน 50 mg/m^3 จากผลการทดลองพบว่า อุปกรณ์ดักฝุ่นชนิดคอกออดผ่านค่ามาตรฐานทุกช่วงความดันน้ำฉีด ส่วนอุปกรณ์ดักฝุ่นชนิดอีจีคเตอร์ผ่านค่ามาตรฐานที่ช่วงความดันน้ำฉีด 1-3 bar ดังภาพที่ 5.1



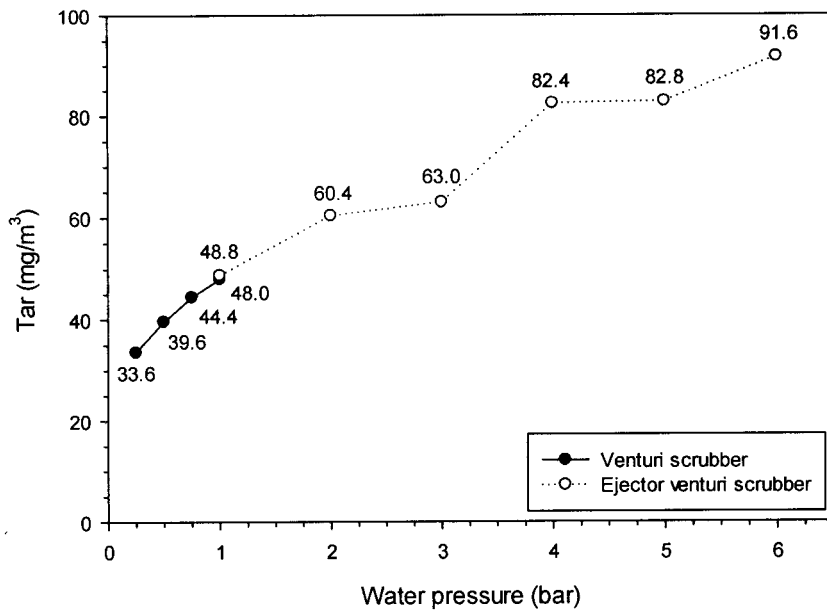
ภาพที่ 5.1 ปริมาณฝุ่นหลังออกของอุปกรณ์ดักฝุ่นแบบเปียกชนิดคอกอดกับชนิดอีเจ็คเตอร์ ที่ความดันน้ำฉีดต่างๆ

5.2 ประสิทธิภาพการดักจับน้ำมันดินและสารปนเปื้อน

(1) อุปกรณ์ดักฝุ่นชนิดคอกอดให้ประสิทธิภาพในการดักจับน้ำมันดินและสารปนเปื้อนมากกว่า อุปกรณ์ดักฝุ่นชนิดอีเจ็คเตอร์ 23.31% ที่ประสิทธิภาพในการดักจับน้ำมันดินและสารปนเปื้อนสูงสุดใน การทดลองของอุปกรณ์ดักฝุ่นทั้ง 2 แบบ (อุปกรณ์ดักฝุ่นชนิดคอกอด มีประสิทธิภาพสูงสุด 70.5% ที่ ความดันน้ำฉีด 0.25 bar และอุปกรณ์ดักฝุ่นชนิดอีเจ็คเตอร์ มีประสิทธิภาพสูงสุด 57.2% ที่ความดัน น้ำฉีด 1 bar)

(2) อุปกรณ์ดักฝุ่นทั้ง 2 แบบ มีค่าความสามารถในการดักจับน้ำมันดินและสารปนเปื้อนสูง ที่ความดันน้ำฉีดต่ำ โดยอุปกรณ์ดักฝุ่นชนิดคอกอดดักจับน้ำมันดินและสารปนเปื้อนได้สูงสุด $80.4 \text{ mg}/\text{m}^3$ ที่ความดันน้ำฉีด 0.25 bar ส่วนอุปกรณ์ดักฝุ่นชนิดอีเจ็คเตอร์ดักจับน้ำมันดิน และสารปนเปื้อนได้สูงสุด $65.2 \text{ mg}/\text{m}^3$ ที่ความดันน้ำฉีด 1 bar (ปริมาณน้ำมันดินและสารปนเปื้อน ที่วัดได้ก่อนเข้าอุปกรณ์ดักฝุ่นทั้ง 2 แบบ คือ $114 \text{ mg}/\text{m}^3$)

(3) จากผลการทดลองที่ได้ เมื่อนำก้าชชีมวลที่ผ่านการทำความสะอาดจากอุปกรณ์ดักฝุ่นทั้ง 2 แบบ ไปประยุกต์ใช้งานในเครื่องยนต์สันดาปภายใน ในการผลิตไฟฟ้า จะต้องควบคุมคุณภาพ ก้าชชีมวลให้ได้ค่าไม่เกินค่ามาตรฐานที่กำหนด ซึ่งค่ามาตรฐานปริมาณน้ำมันดินสูงสุดในก้าชชีมวล ที่ยอมรับได้ในการนำไปประยุกต์ใช้งานในเครื่องยนต์สันดาปภายใน ปริมาณน้ำมันดินไม่ควรเกิน $100 \text{ mg}/\text{m}^3$ จากผลการทดลองพบว่า อุปกรณ์ดักฝุ่นทั้ง 2 แบบ ผ่านค่ามาตรฐานทุกช่วงความดัน น้ำฉีด ตั้งภาพที่ 5.2



ภาพที่ 5.2 ปริมาณน้ำมันดินและสารปนเปื้อนหลังออกของอุปกรณ์ดักฝุ่นแบบเปลี่ยนน้ำมันดีค็อกอด กับชนิดอีเจ็คเตอร์ที่ความดันน้ำฉีดต่างๆ

5.3 ความดันตกรรomatic

(1) อุปกรณ์ดักฝุ่นชนิดอีเจ็คเตอร์มีค่าความดันตกรรomaticน้อยกว่าอุปกรณ์ดักฝุ่นชนิดค็อกอด 89.04% ที่ค่าความดันตกรรomaticน้อยที่สุดในการทดลองของอุปกรณ์ดักฝุ่นทั้ง 2 แบบ (อุปกรณ์ดักฝุ่นชนิดค็อกอด มีค่าความดันตกรรomaticน้อยที่สุด 73 Pa ที่ความดันน้ำฉีด 0.25 bar และอุปกรณ์ดักฝุ่นชนิดอีเจ็คเตอร์ มีค่าความดันตกรรomaticน้อยที่สุด 8 Pa ที่ความดันน้ำฉีด 6 bar)

(2) อุปกรณ์ดักฝุ่นชนิดค็อกอดมีค่าความดันตกรรomaticเพิ่มสูงขึ้นเมื่อเพิ่มความดันน้ำฉีด โดยมีค่าความดันตกรรomaticน้อยที่สุด 73 Pa ที่ความดันน้ำฉีด 0.25 bar ส่วนอุปกรณ์ดักฝุ่นชนิดอีเจ็คเตอร์มีค่าความดันตกรรomaticน้อยลงเมื่อเพิ่มความดันน้ำฉีด โดยมีค่าความดันตกรรomaticน้อยที่สุด 8 Pa ที่ความดันน้ำฉีด 6 bar

5.4 การใช้พลังงานไฟฟ้า

(1) อุปกรณ์ดักฝุ่นทั้ง 2 แบบ ใช้พลังงานไฟฟ้าเพิ่มขึ้นเมื่อมีการเพิ่มความดันน้ำฉีด ซึ่งอุปกรณ์ดักฝุ่นชนิดอีเจ็คเตอร์ใช้พลังงานไฟฟ้ามากกว่าอุปกรณ์ดักฝุ่นชนิดค็อกอด 3.26% (พลังงานไฟฟ้ารวมที่ใช้ไปของอุปกรณ์ ที่ประสิทธิภาพสูงสุดในการดักจับฝุ่น น้ำมันดินและสารปนเปื้อนในการทดลอง ซึ่งอุปกรณ์ดักฝุ่นชนิดค็อกอดที่ความดันน้ำฉีด 0.25 bar และอุปกรณ์ดักฝุ่นชนิดอีเจ็คเตอร์ที่ความดันน้ำฉีด 1 bar)

(2) อุปกรณ์ดักฝุ่นชนิดค็อกอดใช้พลังงานไฟฟ้าน้อยสุด คือ 1.05 kWh ที่ความดันน้ำฉีด 0.25 bar ส่วนอุปกรณ์ดักฝุ่นชนิดอีเจ็คเตอร์ใช้พลังงานไฟฟ้าน้อยสุด คือ 1.09 kWh ที่ความดันน้ำฉีด 1 bar และที่ช่วงความดันน้ำฉีด 4 – 6 bar ค่าการใช้พลังงานไฟฟ้าของอุปกรณ์คงที่ เนื่องจาก

ที่ความดันน้ำมีดีในช่วงนี้ อุปกรณ์ชนิดอีเจ็คเตอร์สามารถเห็นยาน้ำก้าชชีมวลได้มาก ทำให้พัฒนาดูดก้าชใช้พลังงานไฟฟ้าน้อยลง

(3) ปริมาณผู้ที่ดักจับได้ (m_3) ต่อพลังงานที่ใช้ (kJ) อุปกรณ์ดักจับผู้ชนิดคงดักจับผู้ได้มาก และใช้พลังงานน้อยกว่าอุปกรณ์ดักจับผู้ชนิดอีเจ็คเตอร์ 95.65% ที่ประสิทธิภาพในการดักจับผู้สูงสุด ในการทดลองของอุปกรณ์ดักจับผู้ทั้ง 2 แบบ

(4) ปริมาณน้ำมันดินและสารปนเปื้อนที่ดักจับได้ (m_3) ต่อพลังงานที่ใช้ (kJ) อุปกรณ์ดักจับผู้ชนิดคงดักจับน้ำมันดินและสารปนเปื้อนได้มาก และใช้พลังงานน้อยกว่าอุปกรณ์ดักจับผู้ชนิดอีเจ็คเตอร์ 27.5% ที่ประสิทธิภาพในการดักจับน้ำมันดินและสารปนเปื้อนสูงสุดในการทดลองของอุปกรณ์ดักจับผู้ทั้ง 2 แบบ

5.5 ข้อเสนอแนะและปัญหาที่ควรวิจัยต่อไป

จากผลการทดลองที่ได้ สรุปได้ว่า อุปกรณ์ดักจับผู้ชนิดอีเจ็คเตอร์เป็นอุปกรณ์ที่มีความดันต่ำคร่อม ในอุปกรณ์น้อย ใช้พลังงานสูง ให้ประสิทธิภาพในการดักจับผู้ น้ำมันดินและสารปนเปื้อนต่ำ เนื่องจากพื้นที่การสัมผัสนั้นระหว่างน้ำกับกระแทกกระแทกน้อยและเกิดขึ้นอย่างรวดเร็ว ส่วนอุปกรณ์ดักจับผู้ชนิดคงดักจับเป็นอุปกรณ์ที่มีความดันต่ำคร่อมในอุปกรณ์สูง ใช้พลังงานน้อย ให้ประสิทธิภาพในการดักจับผู้ น้ำมันดินและสารปนเปื้อนสูง โดยประสิทธิภาพการดักจับผู้และความดันต่ำคร่อมของอุปกรณ์ดักจับผู้ชนิดคงดักจับมีความสอดคล้องกันกับงานวิจัยที่ผ่านมา สิ่งที่แตกต่างจากงานวิจัยอื่น จากการทดลองที่ได้ คือ การเพิ่มอัตราส่วนน้ำต่ออัตราการไหลของก้าชในอุปกรณ์ที่มากนั้น ไม่มีผลต่อประสิทธิภาพในการดักจับผู้ แต่การสเปรย์น้ำมีดีที่ดี หรือเป็นละอองขนาดเล็ก จะให้ประสิทธิภาพในการดักจับผู้ที่สูงกว่า

ในส่วนของงานวิจัยที่ควรจะทำต่อในอนาคต ควรนำข้อดีของอุปกรณ์ดักจับผู้ทั้ง 2 แบบ มาปรับใช้ในการออกแบบใหม่ในระบบแก๊สซิฟิเคชั่น ให้มีประสิทธิภาพการดักจับผู้ น้ำมันดินและสารปนเปื้อนที่สูง แต่ยังมีความดันสูงเสียน้อย และควรศึกษาอิทธิพลของรูปแบบลำพูงของน้ำที่ใช้ในการสเปรย์รวมทั้งระยะติดตั้งและขนาด Area ratio ที่เหมาะสมของอุปกรณ์ดักจับผู้ทั้ง 2 แบบ

เอกสารอ้างอิง

เอกสารอ้างอิง

- [1] กรมพัฒนาพลังงานทดแทนและอนุรักษ์พลังงาน กระทรวงพลังงาน. คู่มือฝึกอบรม เทคโนโลยี พลังงานทดแทน Renewable Energy Technology. อุบลราชธานี: ศิริธรรมอฟเช็ท, 2553.
- [2] Basu, P. **Biomass Gasification and Pyrolysis: Practical Design and Theory**. USA: Elsevier, 2010.
- [3] Jan Baptist Van Helmont. (1644). “The Leuven Local Heroes in Thermal Sciences and Engineering”, **Identifie gases as a substance (1579-1644)**. http://people.mech.kuleuven.be/~erik/local_heroes.html. 2 May, 2014.
- [4] Reed, T.B. **A Survey of Biomass Gasification**. New Jersey: Solar Energy Research Institute, 1981.
- [5] Larson, E.D. (1998). “Small-Scale Gasification-Based Biomass Power Generation”, **Biomass Workshop**. https://www.princeton.edu/pei/energy/publications/texts/Small_scale_gasification.pdf. 20 May, 2014.
- [6] Intelligent Energy for Europe Programme. (2009). “Guideline for Safe and Eco-Friendly Biomass Gasification”, **Energy**. http://www.gasification-guide-eu/gsg_uploads/documenten/D10_Final-Guideline.pdf. 5 March, 2014.
- [7] Smith, E.W. “Modern gas producers”, **Journal of the Society of Chemical Industry**. 42(41): 993-993, 1923.
- [8] มหาวิทยาลัยอุบลราชธานี. รายงานฉบับสมบูรณ์โครงการศึกษาพัฒนาระบบกําชีวมวลใน การสูบน้ำเพื่อการเกษตร. รายงานต่อกรมพัฒนาพลังงานทดแทนและอนุรักษ์พลังงาน กระทรวงพลังงาน, 2553.
- [9] วนุช แจ้งสว่าง. พลังงานหมุนเวียน. กรุงเทพฯ: สำนักพิมพ์แห่งจุฬาลงกรณ์มหาวิทยาลัย, 2553.
- [10] Boyle, G. **Renewable Energy Power for a Sustainable Future**. United Kingdom: Alden University, 1996.
- [11] Thoms B. Reed and Agua Das. **Handbook of Biomass Downdraft Gasifier Engine Systems**. Colorado: Solar Technical Information Program, 1988.
- [12] Reed, T.B. Levie, B. and Markson, M.L. “A Mathematical Model for Stratified Downdraft Gasification”, **Fuel**. 28(5): 410-420, 1983.
- [13] วนุช แจ้งสว่าง. เทคโนโลยีการผลิตแก๊สเชื้อเพลิงจากชีวมวล. กรุงเทพฯ: บริษัทเดนเน็กซ์ อินเตอร์คอร์ปอเรชัน จำกัด, 2556.

ເອກສາຣອ້າງອີງ (ຕ່ອ)

- [14] Hasler, P. Buehler, R. and Nussbaumer, Th. “Evaluations of Gas Cleaning Technologies for Biomass Gasification”, **10th European Conference and Technology Exhibition**. Germany: Wurzburg, 1998.
- [15] Kaupp, A. and Goss, J.R. **Small Scale Gas Producer-Engine Systems**. Germany: Springer Fachmedien Wiesbaden, 1984.
- [16] J.H.A. Kiel et al. “Primary measures to reduce tar formation in fluidised-bed biomass gasifiers”, **Sustainable Energy**. 4(14): 09-12, 2004.
- [17] Susanto, H. and A.A.C.M. beenackers. “A moving-bed gasifier with internal recycle of pyrolysis gas”, **Fuel**. 75(11): 1339-1347, 1996.
- [18] Lopamudra Devi, Krzysztof J. Ptasinski, Frans J.J.G. Janssen. “A review of the primary measures for tar elimination in biomass gasification processes”, **Biomass and Bioenergy**. 24(2): 125-140, 2003.
- [19] Mojtabaei W. Ylitalo M. Maunula T. and Abbasian J. “Catalytic decomposition of ammonia in fuel gas produced in pilot scale pressurized fluidized bed gasifier”, **Fuel Processing Technology**. 45(3): 221-236, 1995.
- [20] Narvaez, I. Corella, J. and Orio, A. “Fresh tar (from a biomass gasifier) elimination over a commercial steam-reforming catalyst. Kinetics and effect of different variables of operation”, **Ind. Eng. Chem. Res.** 36(2): 317-327, 1997.
- [21] Corella, J. Aznar, MP. Gil, J. and Caballero, MA. “Biomass gasification in fluidized bed: Where to locate the dolomite to improve gasification”, **Energy and Fuels**. 13(6): 1122-1127, 1999.
- [22] Milne, T.A., Abatzoglou, N., and Evans, R.J. **Biomass Gasifiers “Tas”: Their Nature Formation and Conversion**. Colorado: National Renewable Energy Laboratory, 1988.
- [23] Bui, T. Loof, R. and Bhattacharya, S. “Multi-stage reactor for thermal gasification of wood”, **Energy**. 19(4): 397-404, 1994.
- [24] Bridgwater, A.V. “The technical and economic feasibility of biomass gasification for power generation”, **Fuel**. 74(5): 631-653, 1995.
- [25] BTG biomass technology group BV. **Cleaning of hot producer gas in a catalytic, reverse flow reactor**. Netherlands: NOVEM, 1995.
- [26] Hasler P. and Nussbaumer Th. “Gas cleaning for IC engine applications from fixed bed biomass gasification”, **Biomass and Bioenergy**. 16(6): 385-395, 1999.

เอกสารอ้างอิง (ต่อ)

- [27] Brown, A.E. "Producer gas quality requirements for IGCC gas turbine use", **Biomass Technology Group BV**. The Netherlands. NOVEM EWAB Report 9603, 1996.
- [28] Aigner, M. "LCV Gas-turbine requirements", **Ananlysis and Coordination of the activities concerning gasification of biomass**. (AIR3-CT94-2284), 1996.
- [29] ฉัตรชัย นิมล. ระบบกำจัดฝุ่นและการระบายอากาศ. กรุงเทพฯ: สมาคมส่งเสริมเทคโนโลยี (ไทย-ญี่ปุ่น), 2550.
- [30] Robert Jennings Heinsohn and John M. Cimbala. **Indoor Air Quality Engineering**. New York: Marcel Dekker, 2003.
- [31] ยองไย หอมนาน. การศึกษาประสิทธิภาพในการกำจัดฝุ่น Spray Tower. วิทยานิพนธ์ปริญญาศึกษาศาสตรมหาบัณฑิต: มหาวิทยาลัยเกษตรศาสตร์, 2547.
- [32] Joseph, G. and Beachler, D. (1998). "Scrubber Systems Operation Review", **Flue Gas Desulfurization (Acid Gas Removal) Systems**.
[http://yosemite.epa.gov/oaqps/eogtrain.nsf/b81bacb527b016d78525e4a004c0393/d4ec501f07c0e03a85256b6c006caf64/\\$FILE/si412c_lesson9.pdf](http://yosemite.epa.gov/oaqps/eogtrain.nsf/b81bacb527b016d78525e4a004c0393/d4ec501f07c0e03a85256b6c006caf64/$FILE/si412c_lesson9.pdf).
10 May, 2014.
- [33] Books, L. **Liquid-Phase and Gas-Phase Contacting Scrubbers: Cyclonic Spray Scrubber, Mechanically Aided Scrubber, Baffle Spray Scrubber**. USA: General Books LLC, 2010.
- [34] สามารถ พรเจริญ. การจับเก็บฝุ่นขนาดเล็กด้วยไซโคลนscrubber. วิทยานิพนธ์ปริญญาศึกษาศาสตรมหาบัณฑิต: มหาวิทยาลัยเทคโนโลยีพระจอมเกล้าธนบุรี, 2546.
- [35] ศิริกัญญา สุวิจิตทานนท์ และคณะ. มลภาวะอากาศ. กรุงเทพฯ: สำนักพิมพ์มหาวิทยาลัยเกษตรศาสตร์, 2544.
- [36] Japanese Standard Association. **Method of Measuring Performance for Dust Collector**. JIS B 9910, 1977.
- [37] X. Garmisans, M. Sarra and F. Javier. "Gas pollutants removal in a single and two-stage ejector venturi scrubber", **Journal of Hazardous Materials**. 90(3): 251-266, 2002.
- [38] Johnstone, H.F. and M.H. Roberts. "Deposition of aerosol particles from moving gas streams", **Industrial and Engineering Chemistry**. 41(11): 2417-2423, 1949.
- [39] C. David Cooper and F.C. Alley. **Air Pollution Control: A Design Approach**. Illinois: Waveland Press, 2002.

เอกสารอ้างอิง (ต่อ)

- [40] สุทธิพงศ์ นิมเจริญ และสมรรถพร อุนจะนำ. การกำจัดฝุ่นโรงงานไม้ผ้าด้วยไอซ์โคลนและสครับเบอร์แบบเปียก. ภาควิชาวิศวกรรมเกษตรและอาหาร คณะวิศวกรรมเกษตรและอาหาร คณะวิศวกรรมและอุตสาหกรรมเกษตร: มหาวิทยาลัยแม่โจ้, 2545.
- [41] บันเทิง เจ้าป่าด และชินรักษ์ เอียรพงษ์. “การหาประสิทธิภาพในการยึดจับฝุ่นในช่วงขนาดต่างๆ ของเครื่องเก็บฝุ่นแบบเปียกชนิดคอกอด”, ในการประชุมวิชาการเครือข่าย วิศวกรรมเครื่องกลแห่งประเทศไทย ครั้งที่ 18. น. AMM23. ขอนแก่น: โรงเรียน โซฟิเทล ราชอาออร์คิด ขอนแก่น, 2547.
- [42] มา楠ะ ออมกิจบำรุง และสามารถ พรเจริญ. “การพัฒนาไอซ์โคลนสครับเบอร์ประสิทธิภาพสูง”, ในการประชุมวิชาการวิศวกรรมเคมีและเคมีประยุกต์แห่งประเทศไทย ครั้งที่ 15. น. 122. ชลบุรี: โรงเรียนจอมเทียนปาล์ม บีช รีสอร์ท พัทยา, 2548.
- [43] Bonnington, S.T. and King, A.L. **Jet Pumps and Ejectors-A State of the Art Review and Bibliography.** London: BHRA Fluid Engineering, 1972.
- [44] Cunningham, R.G. and Dopkin, R.J. “Jet Breakup and Mixing Throat Lengths for the Liquid Jet Gas Pump”, **Journal of fluids engineering.** 96(3): 216-226, 1974.
- [45] Power R.B. **Steam jet ejectors for the process industries.** New York: McGraw-Hill, 1993.
- [46] Kijowsky, N. “Wet scrubber for opening gases”, **Chemical Abstract.** 103(55809w): 102, 1985.
- [47] Mayinger, F., and Lehner, M. “Operating results and aerosol deposition of a venturi scrubber in self-priming operation”, **Chemical Engineering and Processing.** 34(3): 283-288, 1995.
- [48] Schwarting, G. “Depositions of aerosols and fine dusts from flue gases”, **Fuel and Energy Abstracts.** 37(2): 136-136, 1996.
- [49] Loftus, Peter J., David B. Stickler, and Richard C. Diehl. “A Confiner Vortex Scrubber for Fine Particulate Removal Form Flue Gases”, **Environmental Progress.** 11(1): 27-32, 1992.
- [50] Hanly, James, and John J. Petchonka. “Equipment Selection for Solid Gas Separation”, **Chemical Engineering.** 100(7): 83-85, 1993.
- [51] Devster, E.V., Mensing, A., Jiang, MX. And Majdeski, H. “Cleaning of five Gas From Solid Waste Inoinomotor Plants by Wet/Semi-Dry Process”, **Environmental Progress.** 13(2): 149-153, 1994.
- [52] Marshall, D.A., Summer, R.J. and Shook, C.A. “Removal of SiO₂ Particles with an Ejector Venturi Scrubber”, **Environmental Progress.** 14(1): 28-32, 1995.

เอกสารอ้างอิง (ต่อ)

- [53] Kim, H.T., Jong, C.H., H, S.N. and Lee, K.W. "Particle Removal Efficiency of Gravitational Wet Scrubber Considering Diffusion, Interception, and Impaction", *Environmental Engineering Science*. 18(2): 125-136, 2001.
- [54] ทรงวุฒิ ศรีสว่าง. การกำจัดถ้ากลอยด้วยเครื่องสครับเบอร์แบบหมุนวน. วิทยานิพนธ์ปริญญา วิทยาศาสตรมหาบัณฑิต: สถาบันเทคโนโลยีพระจอมเกล้าธนบุรี, 2540.
- [55] มหาวิทยาลัยอุบลราชธานี. รายงานฉบับสมบูรณ์โครงการออกแบบและผลิตต้นแบบอุปกรณ์ ด้านพลังงานทดแทนเพื่อการสาธิต. รายงานต่อกรมพัฒนาพลังงานทดแทนและอนุรักษ์ พลังงาน กระทรวงพลังงาน, 2557.
- [56] United States of Environmental Protection Agency. *Determination of Particulate Emission from Stationary Sources*. US. EPA method 5, 1995.

ภาคผนวก

ภาคผนวก ก
ผลงานทางวิชาการ

รายการบทความทางวิชาการ

ประชุมวิชาการระดับชาติ

อิทธิพล กุวงศ์, รนกฤต นนท์ชนะ และ กุลเชษฐ์ เพียรทอง. “ประสิทธิภาพการตักจับผู้นmaleและความตันตกร่วมของอุปกรณ์ตักผู้นmaleแบบเปียกชนิดอีเจ็คเตอร์กับชนิดคอนดอต” การประชุมวิชาการเครือข่ายวิศวกรรมเครื่องกลแห่งประเทศไทย ครั้งที่ 29, นครราชสีมา, 2558.

ETM-19

การประชุมวิชาการเครือข่ายวิชากรรมเครื่องกลแห่งประเทศไทย ครั้งที่ 29
30 มิถุนายน - 2 กรกฎาคม 2558 จังหวัดนนทบุรี

ME-NETT2015

**ประสิทธิภาพการตักจับฝุ่นและความตันตกร่วมของอุปกรณ์ตักจับฝุ่นแบบเบียกชนิดอี้เจ็คเตอร์
กับชานิดคอกออด**

**Dust Particle Removal Efficiency and Pressure Drop of Ejector Scrubber
and Venturi Scrubber**

อิทธิพล กุลวงศ์¹, ชนกฤต นนท์ชาน² และ ภูลเชษฐ์ เพียรทอง¹

¹ ภาควิชาวิศวกรรมเครื่องกล คณะวิศวกรรมศาสตร์ มหาวิทยาลัยอุบลราชธานี อ.วินิชาราน ช.อุบลราชธานี 34190

² ศูนย์วิจัยและบริการต้านเพลิงงาน ภาควิชาวิศวกรรมเครื่องกล คณะวิศวกรรมศาสตร์ มหาวิทยาลัยอุบลราชธานี อ.วินิชาราน ช.อุบลราชธานี 34190

*ติดต่อ: E-mail: itthipol13@gmail.com, โทร 045-353300, โทรสาร 045-35333

บทคัดย่อ

งานวิจัยนี้ศึกษาเบรี่ยบเปรียบประสิทธิภาพการตักจับฝุ่นและความตันตกร่วม ของอุปกรณ์ตักจับฝุ่นแบบเบียกชนิด อี้เจ็คเตอร์ (Ejector scrubber) กับชานิดคอกออด (Venturi scrubber) ในระบบแก๊สฟิฟิเเชร์น (Gasification) ขนาด 200 กิโลวัตต์ความร้อน ใช้เดาแบบ Double throat downdraft gasifier ใช้น้ำเป็นตัวกลางในการตักจับฝุ่น โดยอุปกรณ์ทั้ง 2 แบบ จะทำงานที่ช่วงความดันที่เหมาะสมสำหรับอุปกรณ์ ใช้น้ำแบบ Muti stage centrifugal pump ในการจ่ายน้ำ ในช่วงอัตราการไหลน้ำ 7 - 45 ลิตรต่อนาที โดยควบคุมอุณหภูมิ水ให้อยู่ที่ 30 องศาเซลเซียส ช่วงความดันของน้ำนี้ดีของ อุปกรณ์จะได้อี้เจ็คเตอร์และชานิดคอกออด คือ 1-6 bar และ 0.25-1 bar ตามลำดับ จากการทดลองพบว่า ความตันตกร่วม ของอุปกรณ์ชนิดอี้เจ็คเตอร์และชานิดคอกออด ลดความตันตกร่วมลงสูงสุดของอุปกรณ์ทั้ง 2 แบบ คือ 64 Pa และ 90 Pa ตามลำดับ ส่วนประสิทธิภาพ ในการตักจับฝุ่นของอุปกรณ์ชนิดอี้เจ็คเตอร์และชานิดคอกออด มีแนวโน้มแปรผันตามแรงดันน้ำนี้ดี มีประสิทธิภาพสูงสุด 46.7% และ 88.5% ตามลำดับ จากการศึกษานี้สรุปได้ว่า อุปกรณ์ตักจับฝุ่นแบบเบียกชนิดอี้เจ็คเตอร์เป็นอุปกรณ์ที่มีความตัน ตกร่วมน้อย แต่ให้ประสิทธิภาพในการตักจับฝุ่นต่ำ เนื่องจากพื้นที่สัมผัสของน้ำกับกากซัมอย ส่วนชนิดคอกออดเป็นอุปกรณ์ ที่มีแรงตันตกร่วมสูง เนื่องจากลักษณะของสเปรย์น้ำไปทางทิศทางการไหลของกาก แต่ให้ประสิทธิภาพในการตักจับฝุ่น สูงกว่า

คำหลัก: Ejector scrubber, Venturi scrubber, ความตันตกร่วม, ประสิทธิภาพการตักจับฝุ่น

Abstract

This research is a comparison study on the particle collecting efficiency and pressure drop between the ejector scrubber and the venturi scrubber operated with the 200 kW_{in} downdraft gasification system. Both scrubber use water as scrubbing fluid and operate at their suitable pressure ranges. The multi stage centrifugal pump is employed to supply high pressure water at flow rate of 7-45 liter/min and the water temperature is controlled at 30 °C. The ejector scrubber and the venturi scrubber are tested in pressure range of 1-6 bar and 0.25-1.0 bar, respectively. Results show that the pressure drop across the ejector scrubber is reversed to the water pressure but the pressure drop across the venturi scrubber is directly proportional to the water pressure. The maximum pressure drop of both scrubber are 64 Pa and 90 Pa, respectively. The particle collecting efficiency of the ejector scrubber and the venturi scrubber are proportional to water pressure. The maximum efficiency of the ejector scrubber and the venturi scrubber are 46.7% and 88.5%, respectively. From this study, it can be concluded that the ejector

การประชุมวิชาการเครือข่ายวิศวกรรมเครื่องกลแห่งประเทศไทย ครั้งที่ 29
30 มิถุนายน - 2 กรกฎาคม 2558 จังหวัดแพร่



ETM-19

scrubber usually operated with lower pressure drop, and has lower efficiency of dust particle removal, because of fewer gas-water contact areas. The venturi scrubber has higher pressure drop than that of the ejector scrubber because of the water sprays are deigned to obstruct the gas stream, but it gives a higher efficiency of dust particle removal.

Keywords: Ejector scrubber, Venturi scrubber, Pressure drop, Dust removal efficiency.

1. บทนำ

การดักจับสิ่งปนเปื้อนที่มากับก๊าซเชือเพลิงชีวนิวเคลียร์ในระบบแก๊สซิฟิเคชันก่อนที่จะนำไปใช้งาน จำเป็นต้องดักจับสิ่งปนเปื้อนอย่างให้ได้มากที่สุด เพราะสิ่งปนเปื้อนในก๊าซเชือเพลิง (บริษัทบุนเดนและน้ำมันดิน) ลักษณะเป็นน้ำๆ ไม่สามารถมาเกิดปฏิกิริยาทำให้อุปกรณ์ต่างๆ ในระบบและเครื่องยนต์ที่นำก๊าซเชือเพลิงชีวนิวเคลียร์ไปใช้งาน เกิดความเสียหายได้ดังนั้น อุปกรณ์ที่ใช้ในการทากำลังสะอาดก๊าซเชือเพลิงชีวนิวเคลียร์จึงเป็นหัวใจสำคัญในระบบแก๊สซิฟิเคชัน

อุปกรณ์ที่ใช้ทากำลังสะอาดก๊าซเชือเพลิงชีวนิวเคลียร์ที่มีประสิทธิภาพสูงและนิยมนำไปใช้งานในระบบแก๊สซิฟิเคชัน คือ การทากำลังสะอาดก๊าซเชือวนิวเคลียร์แบบเบี้ยก (Wet scrubber) ใช้หลักการทากำลัง คือ การพ่นละอองน้ำในทิศทางเดียวกันกับกระแสก๊าซ ผ่านบวิเวนด์ค็อกคอด (Venturi) โดยอนุภาคและสิ่งเจือปนจะถูกดักจับด้วยน้ำ และไหลงสู่ถังพักด้านล่าง ส่วนก๊าซที่ถูกทากำลังจะถูกทากำลังสะอาด แล้ว จะไหลออกไปทางด้านบน และจากการวิจัยของ X. Gamisans et al. [1] ศึกษาการทากำลังก๊าซพิเศษโดยการใช้ Venturi scrubber 2 ชั้นตอน พบร่วม เมื่อเพิ่มอัตราการไหลของน้ำ จะเกิดความสูญเสียความดันมากขึ้น แต่สามารถลดสารปนเปื้อนได้ดี Johnstone [2] ได้ออกแบบเครื่องดักอนุภาคและสิ่งเจือปนในก๊าซเชือเพลิง โดยใช้ Venturi scrubber โดยไอลิเซียกส์ส์เข้าไปโดยใช้ใบเวอร์จิงกิດการทดสอบระหว่างไอลิเซียกับละอองน้ำ และเกิดการไหลแบบบีบปูน ซึ่งเป็นผลต่อการลดสารก๊าซกับละอองน้ำ และเมล็ดสัมผัสกันมากขึ้น ในประเทศไทยบุรารักษ์ เจ้าป่า และคณะ [3] ได้ศึกษาตัวแปรที่มีผลต่อประสิทธิภาพในการยึดจับฝุ่นในช่วงขนาดต่างๆ ซึ่งตัวแปรที่สนใจ คือ ความเข้มข้นของอนุภาคสู��ในกระแสก๊าซ และอัตราส่วนน้ำต่ออัตราการไหลของก๊าซ พบร่วมประสิทธิภาพในการยึดจับอนุภาคจะสูงขึ้น เมื่ออนุภาคมีขนาดใหญ่ขึ้นและอัตราส่วนน้ำเพิ่มขึ้น

ทั้งนี้ในงานระบบแก๊สซิฟิเคชันนิยมน้ำอาอุปกรณ์ดักฝุ่นแบบเบี้ยกชนิดอิจิคเตอร์และอุปกรณ์ดักฝุ่น

แบบเบี้ยกชนิดค็อกคอด มาใช้เป็นอุปกรณ์หลักในการทากำลังฝุ่นและน้ำมันดิน แต่บังไม่มีการทดสอบถึงความแตกต่างของประสิทธิภาพและความตันตกระมของอุปกรณ์ทั้ง 2 แบบ ในระบบแก๊สซิฟิเคชัน ดังนั้นงานวิจัยนี้จึงเลือกศึกษาความตันตกระมและประสิทธิภาพของอุปกรณ์ดักฝุ่นแบบเบี้ยกชนิดอิจิคเตอร์ (Ejector Scrubber) กับชนิดค็อกคอด (Venturi Scrubber)

2. ทฤษฎี

ศรัณณบเนอัมเบิร์นเบี้ยก (Wet scrubber) เป็นอุปกรณ์ที่ใช้ดักจับอนุภาคสู��และเรียด โดยใช้หินดันน้ำหรือลมออกน้ำ เพื่อแยกอนุภาคสู��ออกจากกระแสก๊าซ โดยใช้น้ำหรือขยะเหลว สามารถทำได้ 3 วิธี คือ 1) ฉีดน้ำเป็นละอองฝอยผ่านไปยังกระแสก๊าซ 2) ปล่อยให้กระแสก๊าซไหลผ่านพินท์ล์ ของช่องเหลวหรือน้ำด้วยความเร็วสูง และ 3) ปล่อยให้กระแสก๊าซไหลผ่านแผ่นวัสดุที่มีช่องเหลวเคลือบที่ผิว เครื่องดักจับฝุ่นแบบเบี้ยกนอกจากจะสามารถดักจับฝุ่นขนาดเล็กที่ปะปื้นในกระบวนการสกัดกั่งได้แล้ว ยังช่วยลดอุณหภูมิของก๊าซได้ด้วย

2.1 กลไกการดักจับอนุภาคสู��ในเครื่องดักจับฝุ่นแบบเบี้ยก

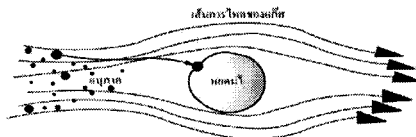
การดักจับอนุภาคสู��ภายในเครื่องดักจับฝุ่นแบบเบี้ยก อาศัยกลไกต่างๆ ที่เกิดขึ้นระหว่างอนุภาคสู�� กับกระแสก๊าซและน้ำ ซึ่งได้แก่ การกระทบและการแพร์

การดักจับอนุภาคสู��โดยใช้การกระทบกันระหว่างอนุภาคสู��กับละอองน้ำ เกิดขึ้นเมื่อฉีดหัวฝ่ายน้ำไปกับกระแสก๊าซ จากความแรงของกระแสน้ำที่ฉีด ไปกระทบอนุภาคสู�� จะทำให้อนุภาคสู��เบนออกจากกระแสก๊าซ และติดอยู่กับหัวดันน้ำ ไม่สามารถเคลื่อนที่ไปกับกระแสก๊าซได้ ขนาดของแรงกระทบจะมีค่าประมาณขนาดของอนุภาคสู�� โดยแรงกระทบจะมีค่ามากขึ้นเมื่ออนุภาคสู��มีขนาดใหญ่ขึ้น ดังรูปที่ 1

การประชุมวิชาการเครือข่ายวิศวกรรมเครื่องกลแห่งประเทศไทย ครั้งที่ 29
30 มิถุนายน - 2 กรกฎาคม 2558 จังหวัดนครราชสีมา

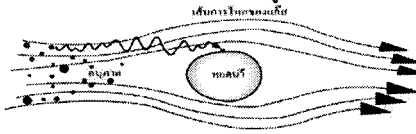
ME-NETT2015

ETM-19



รูปที่ 1 แรงกระแทกที่กระทำกับอนุภาคฝุ่นและละอองน้ำ [4]

การดักจับอนุภาคฝุ่นโดยใช้การพวย จะเกิดขึ้นในกรณีที่อนุภาคฝุ่นมีขนาดเล็กมาก น้อยกว่า 1 ไมครอน อนุภาคเหล่านี้จะเบาะและชนกันไม่เกิดขึ้นกับก้าชขณะเคลื่อนที่ในกระแสกําช การชนกันจะทำให่อนุภาคฝุ่นเคลื่อนที่ไปในทิศทางของการพวย ดังรูปที่ 2



รูปที่ 2 กลไกการดักจับอนุภาคฝุ่นโดยการพวย [4]

2.2 ขั้นตอนการดักจับอนุภาคฝุ่นในเครื่องดักจับฝุ่นแบบเปียก [5]

การดักจับอนุภาคฝุ่นโดยใช้เครื่องดักจับฝุ่นแบบเปียก มีขั้นตอนที่เกิดขึ้น 3 ขั้นตอน ได้แก่

ขั้นตอนที่ 1 การดักจับอนุภาคฝุ่น ขั้นตอนนี้อนุภาคฝุ่นที่อยู่ในกระแสกําชจะถูกดักจับด้วยหยดน้ำหรือฟลีมของของเหลว หรือแผ่นวัสดุที่มีของเหลวเคลือบผิว

ขั้นตอนที่ 2 การแยกหยดน้ำออกจากกระแสกําช ขั้นตอนนี้จะใช้เครื่องดักตะองน้ำที่ติดอยู่ด้านบนของเครื่องดักจับฝุ่นแบบเปียก เพื่อแยกหยดน้ำออกจากกระแสกําช

ขั้นตอนที่ 3 การป�นดักของเหลวที่จับฝุ่น ขั้นตอนนี้ของเหลวที่มีฝุ่นปนเปื้อนจะถูกดึงออกจากกระถางซึ่งจะต้องทำการป�นดักก่อนทิ้งลงท่อระบายน้ำทิ้ง

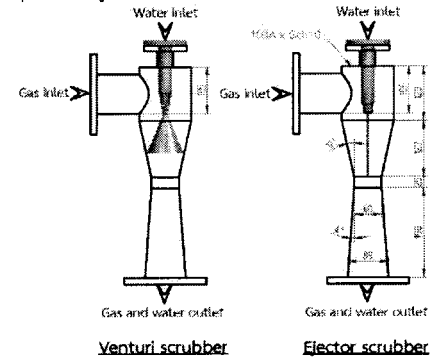
2.3 ประเภทของเครื่องดักจับฝุ่นแบบเปียก

อุปกรณ์ดักจับฝุ่นแบบเปียกที่นิยมนำไปใช้งานจะได้ประสิทธิภาพสูงในการดักจับตั้งปีนเมื่อน้ำกับกระแสกําชในระบบเกลี่ยฟลีชเช่น มี 2 แบบ ดังนี้

1. อุปกรณ์ดักจับฝุ่นแบบเปียกนิดคอกอต (Venturi scrubber) เป็นอุปกรณ์ที่ใช้หลักการทำงาน คือการสเปรย์น้ำสีดให้เป็นละอองรูปทรงกรวย ในทิศทางเดียวกันกับ

กระแสกําช ใช้แรงดันน้ำสีดไม่สูง โดยมีส่วนประกอบที่สำคัญ คือ ส่วนของหัวฉีดน้ำ ทางเข้าของกําช ห้องผสอน และส่วนท่อเวนตูรี (Venturi tube)

2. อุปกรณ์ดักจับฝุ่นแบบเปียกนิดอีจेकเตอร์ (Ejector scrubber) ใช้หลักการทำงานเหมือนกันกับนิดคอกอต ค่างกันที่ การสเปรย์น้ำสีดเป็นสี ใช้แรงดันน้ำสีดสูงกว่า นิดคอกอต ลักษณะการสเปรย์น้ำสีดและขนาดของอุปกรณ์ ดังรูปที่ 3



รูปที่ 3 ลักษณะการสเปรย์น้ำสีดและขนาดของอุปกรณ์ ดักจับฝุ่นแบบเปียกนิดคอกอตและนิดอีจेकเตอร์

ทั้งนี้อุปกรณ์ดักจับฝุ่นแบบเปียกทั้ง 2 แบบ จะมีช่วงความดันน้ำใช้งานต่างกัน โดยมีรายละเอียดดังตารางที่ 1

ตารางที่ 1 ช่วงความดันน้ำสีดของอุปกรณ์ดักจับฝุ่นแบบเปียกนิดคอกอตและนิดอีจेकเตอร์

Operating characteristics	Liquid-inlet pressure (P_L)
Venturi scrubber	7-100 kPa [6]
Ejector scrubber	100-830 kPa [6]

2.4 การคำนวณหาประสิทธิภาพในการดักเก็บอนุภาคของอุปกรณ์ดักจับฝุ่นแบบเปียก

ปริมาณฝุ่นที่ดักจับได้ของอุปกรณ์ดักจับฝุ่นแบบเปียกทั้ง 2 แบบ หาได้จากสมการที่ 1

$$M_C = M_I - M_T \quad (1)$$

M_C = ปริมาณฝุ่นที่อุปกรณ์ดักจับฝุ่นแบบเปียกสามารถดักจับได้ (mg)

การประชุมวิชาการเครือข่ายวิศวกรรมเครื่องกลแห่งประเทศไทย ครั้งที่ 29
30 มิถุนายน - 2 กรกฎาคม 2558 จังหวัดนนทบุรี

ME-NETT2015

ETM-19

$$\begin{aligned} M_1 &= \text{มวลของอนุภาคห้องหมุดที่ใช้อุปกรณ์ดัก} \\ &\text{ฝุ่นแบบเบี้ยก (mg)} \\ M_T &= \text{มวลของอนุภาคหลังออกอุปกรณ์ดักฝุ่น} \\ &\text{แบบเบี้ยก (mg)} \end{aligned}$$

ประสิทธิภาพในการดักเก็บอนุภาค (Collecting efficiency) หมายถึง อัตราส่วนของอนุภาคที่สามารถดักเก็บไว้ได้ต่ออนุภาคห้องหมุดที่ผ่านเข้ามาในระบบของอุปกรณ์ดักฝุ่นแบบเบี้ยก โดยสามารถหาประสิทธิภาพของอุปกรณ์ดักฝุ่นแบบเบี้ยก ได้จากการคำนวณในความสัมพันธ์ในสมการที่ 2 [7]

$$\eta_T = \frac{M_C}{M_1} \times 100 \quad (2)$$

โดยที่ η_T = ประสิทธิภาพของอุปกรณ์ดักฝุ่นแบบเบี้ยก

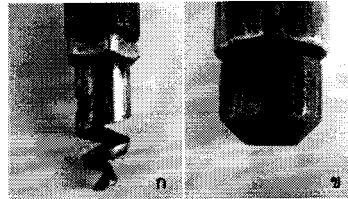
3. เครื่องมือและวิธีการทดสอบ

ในการทดสอบใช้อุปกรณ์ดักฝุ่นแบบเบี้ยกชนิดอิเจ็คเตอร์รับน้ำหนักด้วยต่อตัวเดียว Gasifier แบบ Double throat downdraft gasifier ขนาด 200 กิโลวัตต์ความร้อนทำการทดสอบที่อุณหภูมิ 6.21 ลูกบาศก์เมตร ต่อนาที อัตราการไหลน้ำซึ่ง 7-45 ลิตรต่อนาที โดยใช้ปั๊มน้ำแบบ Multi stage centrifugal pump และทำการควบคุมอุณหภูมิน้ำให้อยู่ที่ 30 องศาเซลเซียส จากช่วงความดันน้ำอัดที่เหมาะสมกับอุปกรณ์ดักฝุ่นทั้ง 2 แบบในตารางที่ 1 อุปกรณ์ดักฝุ่นแบบเบี้ยกทั้ง 2 แบบ จะทำการทดสอบในช่วงความดันของน้ำอัดที่เหมาะสมกับการออกแบบอุปกรณ์ดักฝุ่น ดังตารางที่ 2

ตารางที่ 2 เงื่อนไขการทดสอบช่วงความดันของน้ำอัด

ลำดับ ที่	ชนิดคอกออด (bar)	ชนิดอิเจ็คเตอร์ (bar)
1	0.25	1.00
2	0.50	2.00
3	0.75	3.00
4	1.00	4.00
5	-	5.00
6	-	6.00

ลักษณะของหัวฉีดทั้ง 2 แบบ ดังรูปที่ 4 ส่วนบน
และวัสดุของหัวสเปรย์น้ำอัดที่ใช้ในการทดสอบของ
อุปกรณ์ดักฝุ่นแบบเบี้ยกทั้ง 2 แบบ ดังตารางที่ 3

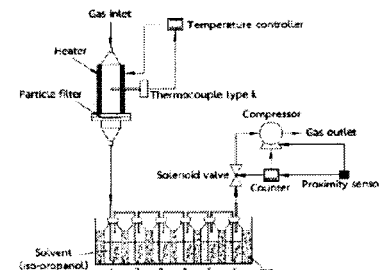


รูปที่ 4 ลักษณะของหัวฉีดทั้ง 2 แบบ (a) หัวฉีด
สำหรับอุปกรณ์ดักฝุ่นชนิดคอกออด (b) หัวฉีดสำหรับ
อุปกรณ์ดักฝุ่นชนิดอิเจ็คเตอร์

ตารางที่ 3 ขนาดและวัสดุของหัวสเปรย์น้ำอัด

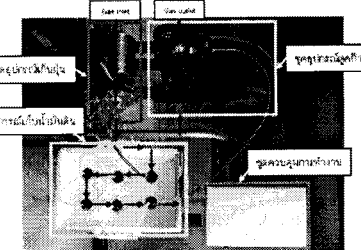
ชนิดคอกออด	ชนิดอิเจ็คเตอร์		
มุมเฉียง	120°	มุมเฉียง	0°
Office size	9.5 มม.	φ หัวฉีด	3 มม.
φ Nozzle	4.8 มม.	วัสดุ	Brass (JIS)
วัสดุ	SUS304.		H3250 C3604

วิธีเก็บฝุ่นและการสร้างอุปกรณ์ตรวจวัดเพื่อหาค่าปริมาณฝุ่น จะดำเนินการตามวิธีการตรวจวัดมาตรฐาน US.EPA Method 5 [8] จะแบ่งชุดอุปกรณ์ออกเป็น 4 ส่วน คือ ชุดอุปกรณ์เก็บตัวอย่างฝุ่น ชุดอุปกรณ์เก็บตัวอย่างน้ำมันเชิง (tar) ชุดอุปกรณ์ควบคุมการทำงาน และชุดอุปกรณ์จุดก๊าซ ดังรูปที่ 5-7

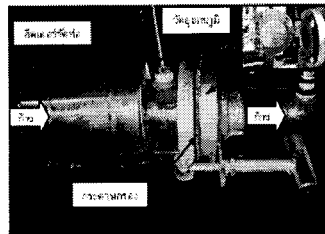


รูปที่ 5 ผังชุดอุปกรณ์เก็บตัวอย่างฝุ่น

ETM-19



รูปที่ 6 ภาพจำแนกชุดอุปกรณ์เก็บตัวอย่างฝุ่น



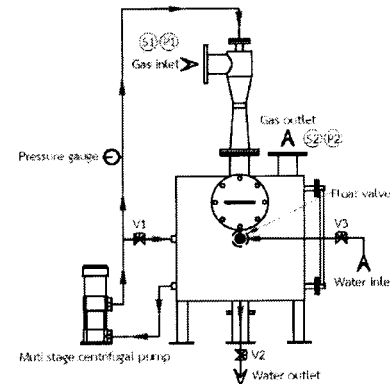
รูปที่ 7 ชุดอุ่นก๊าซและส่วนติดตั้งกระดาษกรอง

3.1 วิธีการทดลอง

3.1.1 วิธีการทดลองหาประสิทธิภาพการตักฝุ่นของอุปกรณ์ตักฝุ่นแบบเปียกชนิดอิเล็กเตอร์กัมชนิดค็อกด็อก

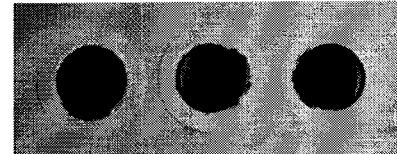
ในการทดลองจะควบคุมอัตราการไหลก๊าซให้คงที่ที่ 6.21 ลูกบาศก์เมตรต่อนาที โดยใช้ Inverter ปรับรวมของพัดลมดูดก๊าซ โดยรายละเอียดของกระบวนการคือ การทดลอง 2 อุปกรณ์ มีดังนี้ จากรูปที่ 8 ก๊าซจะถูกดูดผ่านอุปกรณ์ทั้ง 2 แบบ ด้วยพัดลมดูดก๊าซ และทำการจ่ายน้ำเพื่อสเปรย์น้ำในทิศทางเดียวกันกับกระแสก๊าซ ผ่านบริเวณค็อกด็อก โดยอนุญาตฝุ่นที่ถูกตักบันตัวขึ้นไปหลังสูตรดังพัดลมล่าง ซึ่งทำหน้าที่ในการแยกก๊าซและของเหลว (Gas liquid separator) ก๊าซที่ถูกทำความสะอาดแล้วจะไหลออกไปทางด้านบน วิธีการปรับแรงดันของน้ำฉีดในการทดลอง จะเป็นเวลาปล่อยน้ำ (V1) ผ่านทางห้อ bypass เข้าสู่ถุงพักเพื่อลดแรงดันน้ำนีด และจะเป็นเวลาปล่อยน้ำทิ้ง (V2) ด้านล่างของถุงในกรณีที่อุณหภูมน้ำสูงขึ้น

จะเกินค่าที่กำหนด และน้ำเติมจะถูกเติมเข้ามาทางวาล์วสูกตอย (V3) เพื่อข้ายากอุณหภูมิของน้ำ



รูปที่ 8 ผังชุดอุปกรณ์ตักฝุ่นแบบเปียก

ค่าปริมาณฝุ่นก่อนเข้าอุปกรณ์ตักฝุ่น จะเก็บตัวอย่างปริมาณฝุ่นก่อนเข้าอุปกรณ์ จำนวน 3 ตัวอย่าง เพื่อหาค่าเฉลี่ยปริมาณฝุ่นก่อนเข้าอุปกรณ์ โดยปริมาณฝุ่นที่ตัวได้ก่อนเข้าอุปกรณ์ คือ 80.4 มิลลิกรัมต่อลูกบาศก์เมตร หลังจากนั้นเก็บตัวอย่างปริมาณฝุ่นหลังเข้าอุปกรณ์ ของแต่ละการทดลอง แล้วนำไปร่วมกันที่ติดบนกระดาษกรองขนาดความละเอียด 3 ไมครอน ไปอบแห้งเพื่อให้ความชื้นและน้ำไปชั่งน้ำหนัก และคำนวณปริมาณฝุ่นที่อุปกรณ์ตักฝุ่นสามารถตักจับได้ดังสมการที่ 1 ด้วยวิธีการทดลองก่อนเข้าอุปกรณ์ตักฝุ่น ดังรูปที่ 9



รูปที่ 9 ตัวอย่างกระดาษกรองก่อนเข้าอุปกรณ์

ส่วนการหาค่าความดันต่อกล่องของอุปกรณ์ จะใช้อุปกรณ์วัด Digital micro manometer (Airflow-PVM100) โดยวัดค่าความดันก่อนเข้า (P1) และหลังเข้าอุปกรณ์ (P2) ของแต่ละการทดลอง

การประชุมวิชาการเครือข่ายวิชาวารมณ์เครื่องกลเพิ่มประสิทธิภาพ ครั้งที่ 29
30 มิถุนายน - 2 กรกฎาคม 2558 จังหวัดนนทบุรี

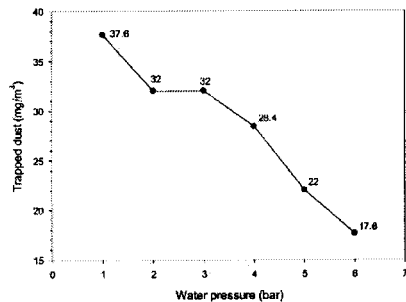


ETM-19

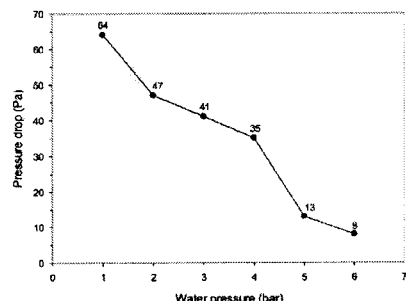
4. ผลกระทบของ

4.1 ปริมาณฝุ่นที่ตักจับได้และความดันตกคร่อมของอุปกรณ์ตักฝุ่นแบบเบิกชนิดอี้เจ็คเตอร์

จากผลการทดลอง พบว่า ปริมาณฝุ่นที่ตักจับได้มีแนวโน้มลดลง เมื่อมีการเพิ่มแรงดันของน้ำอีกด้วยรูปที่ 10 เนื่องจากเมื่อเพิ่มแรงดันน้ำอีกด้วย ทำให้สกัดน้ำมีความเร็วมากขึ้น สองผลให้การสัมผัสกันของน้ำกับก้าชเกิดขึ้นอย่างรวดเร็ว ทำให้การตักจับฝุ่นได้น้อย และค่าความดันตกคร่อมของอุปกรณ์ จะมีผลลดลงเมื่อมีการเพิ่มแรงดันของน้ำอีกด้วย ซึ่งมาจาก เมื่อเพิ่มแรงดันน้ำอีกด้วย ก้าชจะเคลื่อนตัวไปทางขวา ทำให้ไม่สามารถตักจับฝุ่นได้มากขึ้น ดังรูปที่ 11



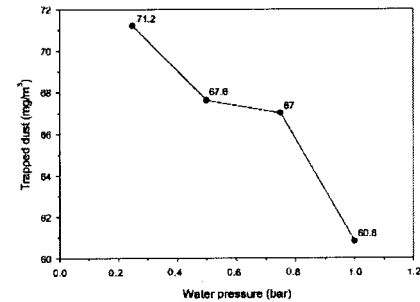
รูปที่ 10 ปริมาณฝุ่นที่ถูกตักจับได้เมื่อผ่านอุปกรณ์ตักฝุ่นแบบเบิกชนิดอี้เจ็คเตอร์ที่แรงดันน้ำอีกด้วยต่างๆ



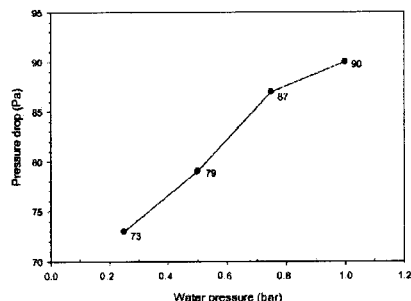
รูปที่ 11 ความดันตกคร่อมเมื่อผ่านอุปกรณ์ตักฝุ่นแบบเบิกชนิดอี้เจ็คเตอร์ที่แรงดันน้ำอีกด้วยต่างๆ

4.2 ปริมาณฝุ่นที่ตักจับได้และความดันตกคร่อมของอุปกรณ์ตักฝุ่นแบบเบิกชนิดคอกอคอด

จากการทดลอง พบว่าปริมาณฝุ่นที่ตักจับได้มีแนวโน้มลดลง เมื่อมีการเพิ่มแรงดันของน้ำอีกด้วยรูปที่ 12 เนื่องจากการสเปรย์น้ำอีกด้วยแรงดันสูงขึ้น ทำให้สเปรย์น้ำอีกมีความเร็วมากขึ้น ส่งผลให้การสัมผัสกันของน้ำกับก้าชเกิดขึ้นอย่างรวดเร็ว ทำให้ตักจับฝุ่นได้น้อย ส่วนความดันตกคร่อมของอุปกรณ์จะมีผลเพิ่มสูงขึ้น เมื่อเพิ่มแรงดันของน้ำอีกด้วย เนื่องจากสเปรย์น้ำอีกด้วยเป็นรูปทรงกรวย ไปข้างทิศทางการไหลของก้าช ดังรูปที่ 13



รูปที่ 12 ปริมาณฝุ่นที่ถูกตักจับได้เมื่อผ่านอุปกรณ์ตักฝุ่นแบบเบิกชนิดคอกอคอดที่แรงดันน้ำอีกด้วยต่างๆ



รูปที่ 13 ความดันตกคร่อมเมื่อผ่านอุปกรณ์ตักฝุ่นแบบเบิกชนิดคอกอคอดที่แรงดันน้ำอีกด้วยต่างๆ

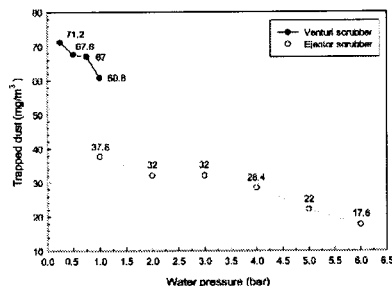
การประชุมวิชาการเครือข่ายวิศวกรรมเครื่องกลแห่งประเทศไทย ครั้งที่ 29
30 มิถุนายน - 2 กรกฎาคม 2558 จังหวัดกรุงเทพมหานคร

NETT2015

ETM-19

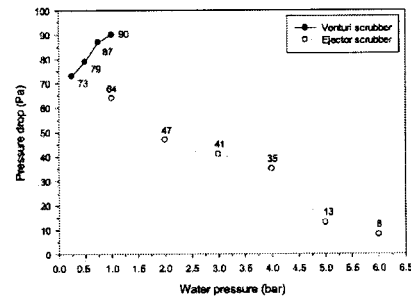
4.3 เปรียบเทียบอุปกรณ์ดักฝุ่นแบบเปียกชนิดอี้เจ็คเตอร์กับชนิดดอคดอค

เมื่อเปรียบเทียบการดักจับฝุ่นและความดันต่ำที่ต้องใช้ของอุปกรณ์ดักฝุ่นแบบเปียกทั้ง 2 แบบ พบว่า อุปกรณ์ดักฝุ่นชนิดอี้เจ็คเตอร์ดักจับฝุ่นได้น้อยกว่าชนิดดอคดอคดังรูปที่ 14 เมื่อจากสเปรย์น้ำของอี้เจ็คเตอร์มีลักษณะเป็นส้าน้ำจืดที่มีความเร็ว ทำให้การสัมผัสน้อยลงน้ำที่บрызгаетсяได้น้อย จึงดักจับฝุ่นได้น้อยกว่าชนิดดอคดอค ทั่วความดันต่ำที่ต้องใช้มีเพิ่มแรงดันของน้ำจืด เนื่องจากสำนักน้ำจืดมีความเร็วสูง สามารถเหนี่ยวไกระดับ ก้าวได้มากขึ้น แต่อุปกรณ์ดักฝุ่นชนิดดอคดอค มีความดันต่ำที่เพิ่มสูงขึ้นเมื่อเพิ่มแรงดันของน้ำจืด ดังรูปที่ 15 เมื่อจากการสเปรย์น้ำจืดเป็นรูปทรงกรวย ไปข้างทิศทางการไหลของน้ำ



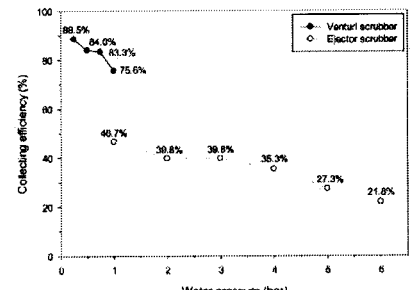
รูปที่ 14 ปริมาณฝุ่นที่ถูกดักจับได้เมื่อผ่านอุปกรณ์ดักฝุ่นแบบเปียกชนิดอี้เจ็คเตอร์รับน้ำจืดดอคดอคที่แรงดันน้ำจืด

ค่าๆ



รูปที่ 15 ความดันต่ำที่ต้องใช้ของอุปกรณ์ดักฝุ่นแบบเปียกชนิดอี้เจ็คเตอร์รับน้ำจืดดอคดอคที่แรงดันน้ำจืดต่างๆ

และจากข้อมูลการดักจับฝุ่นของอุปกรณ์ดักฝุ่นที่ໄใช้สามารถนำมาคำนวณประสิทธิภาพรวมและเพื่อนำมาเปรียบเทียบจะได้ผล ดังรูปที่ 16 โดยใช้สมการ 2



รูปที่ 16 ประสิทธิภาพการดักจับฝุ่นของอุปกรณ์ดักฝุ่นแบบเปียกชนิดอี้เจ็คเตอร์รับน้ำจืดดอคดอคที่แรงดันน้ำจืดต่างๆ

5. สรุปและวิเคราะห์ผลการทดลอง

จากการทดลองพบว่าประสิทธิภาพในการดักจับฝุ่นของอุปกรณ์ทั้ง 2 แบบ แปรผกผันกับแรงดันของน้ำจืด โดยชนิดอี้เจ็คเตอร์ มีประสิทธิภาพสูงสุดที่ 46.7% ที่ความดันน้ำจืด 1 bar ส่วนชนิดดอคดอค มีประสิทธิภาพสูงสุดที่ 88.5% ที่ความดันน้ำจืด 0.25 bar สำหรับความดันต่ำที่ต้องใช้ของชนิดอี้เจ็คเตอร์มีแนวโน้มลดลงเมื่อเพิ่มแรงดันของน้ำจืด โดยมีค่าต่ำสุด 8 Pa สำหรับชนิดดอคดอค มีความดัน

การประชุมวิชาการเครือข่ายวิศวกรรมเครื่องกลแห่งประเทศไทย ครั้งที่ 29
30 มิถุนายน - 2 กรกฎาคม 2558 จังหวัดนครราชสีมา



ETM-19

ผลกระทบเพิ่มสูงขึ้นเมื่อมีการเพิ่มแรงดันของน้ำเสีย และมีค่าต่ำสุด 73 Pa

จากผลการทดลองที่ได้ สรุปได้ว่า อุปกรณ์ดักฝุ่นแบบเปียกชนิดอี้เจ็คเทอร์เป็นอุปกรณ์ที่มีความดันต่ำกว่าร่วมกัน แต่ให้ประสิทธิภาพในการดักจับฝุ่นต่ำ เนื่องจากพื้นที่สัมผัสของน้ำกับก้าชันอยู่ ส่วนชนิดคอกออด เป็นอุปกรณ์ที่มีแรงดันต่ำกว่าร่วมสูง เนื่องจากลักษณะของสเปรย์ น้ำไปขวางทิศทางการไหลของก้าชัน แต่ให้ประสิทธิภาพในการดักจับฝุ่นสูง โดยประสิทธิภาพในการดักจับของอุปกรณ์ชนิดคอกออด มีความสอดคล้องกันกับงานวิจัย ที่ผ่านมา ซึ่งที่แตกต่างจากงานวิจัยอื่นจากผลการทดลอง ที่ได้ คือ การเพิ่มอัตราส่วนน้ำในอุปกรณ์ที่มากัน ไม่มีผล ต่อประสิทธิภาพในการดักจับฝุ่น และการสเปรย์น้ำเสียให้ เป็นระดับ จะให้ประสิทธิภาพในการดักฝุ่นที่สูงกว่า

ในส่วนของงานวิจัยที่ควรจะทำต่อในอนาคต ควร ศึกษาในเรื่องของพลังงานที่ใช้ไปของอุปกรณ์ดักฝุ่นทั้ง 2 แบบ เพื่อนำมาเป็นข้อมูลในการประเมินเทียบในด้านการ ลงทุน ความเหมาะสมสมารหารับการใช้งานในระบบ แก๊สซิฟิเคชัน น้ำซื้อซึ่งของอุปกรณ์ทั้ง 2 แบบ มาปรับ ในการออกแบบใหม่ ให้มีประสิทธิภาพการดักจับฝุ่นสูง แต่ยังมีค่าความตันสูงโดยอยู่ และควรศึกษาอิทธิพลของ รูปแบบสำรุ่งของน้ำที่ใช้สเปรย์ รวมทั้ง比率ติดตั้งและ ขนาด Area ratio ที่เหมาะสม

6. กิตติกรรมประกาศ

ขอขอบคุณภาควิชาการเครื่องกล คณะ วิศวกรรมศาสตร์ มหาวิทยาลัยอุบลราชธานี ที่ได้ให้การสนับสนุนงานวิจัย

ศูนย์วิจัยและบริการด้านพลังงาน ภาควิชา วิศวกรรมเครื่องกล คณะวิศวกรรมศาสตร์ มหาวิทยาลัย อุบลราชธานี ที่ได้ให้การสนับสนุนและเป็นที่ปรึกษา ในการทำงานวิจัย และศูนย์ทดสอบวิชาการพลังงาน ทดสอบและอนุรักษ์พลังงาน กรมพัฒนาพลังงานทดแทน และอนุรักษ์พลังงาน กระทรวงพลังงาน จังหวัดปทุมธานี ที่ได้ให้การสนับสนุนอุปกรณ์ เครื่องมือ รวมทั้งสถานที่ สำหรับท่องเที่ยวเชิง

7. เอกสารอ้างอิง

- [1] X. Gamisans, M. Sarra and F. Javier. (2002). Gas pollutants removal in a single- and two-stage ejector

venture scrubber. Journal of Hazardous Materials B90 (2002) 251-266

[2] Johnstone. (1949) Adjustable-throat venture scrubber with plunger.

[3] บันเกิง เจาะปาก. และ ชินรักษ์ เรืองพงษ์. (2547). การหาประสิทธิภาพในการดักจับฝุ่นในช่วงขนาดต่างๆ ของเครื่องเก็บฝุ่นแบบเปียกชนิดคอกออด. การประชุมวิชาการเครือข่ายวิศวกรรมเครื่องกลแห่งประเทศไทย ครั้งที่ 18 (2547)

[4] Joseph, G.T., and Beachler, D.S. (1998). Scrubber Systems Operation Review: Self Instruction Manual ATP Course SI 412C. North Carolina State University.

[5] วรนุช แจ้งสว่าง. (2556). เทคนิคในการดักจับฝุ่นโดยการเพิ่มจากชีวนะ. โภพิพพ์ บริษัทแคนเนอร์ อินเตอร์ คอร์ปอเรชัน จำกัด, พิมพ์ครั้งที่ 1 (2556) 116

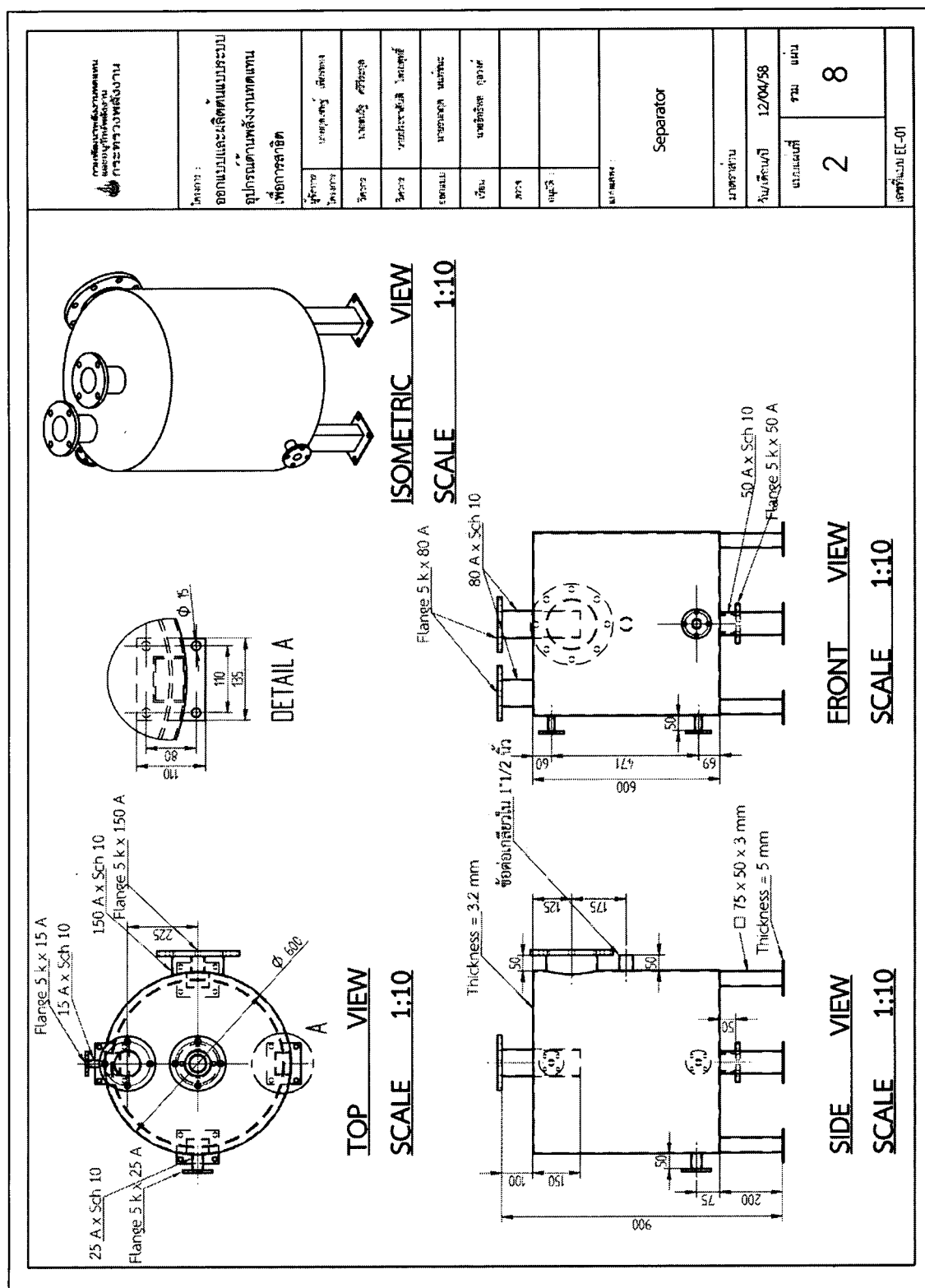
[6] Books, L., Liquid-Phase and Gas-Phase Contacting Scrubbers: Cyclonic Spray Scrubber, Mechanically Aided Scrubber, Baffle Spray Scrubber2010: General Books LLC.

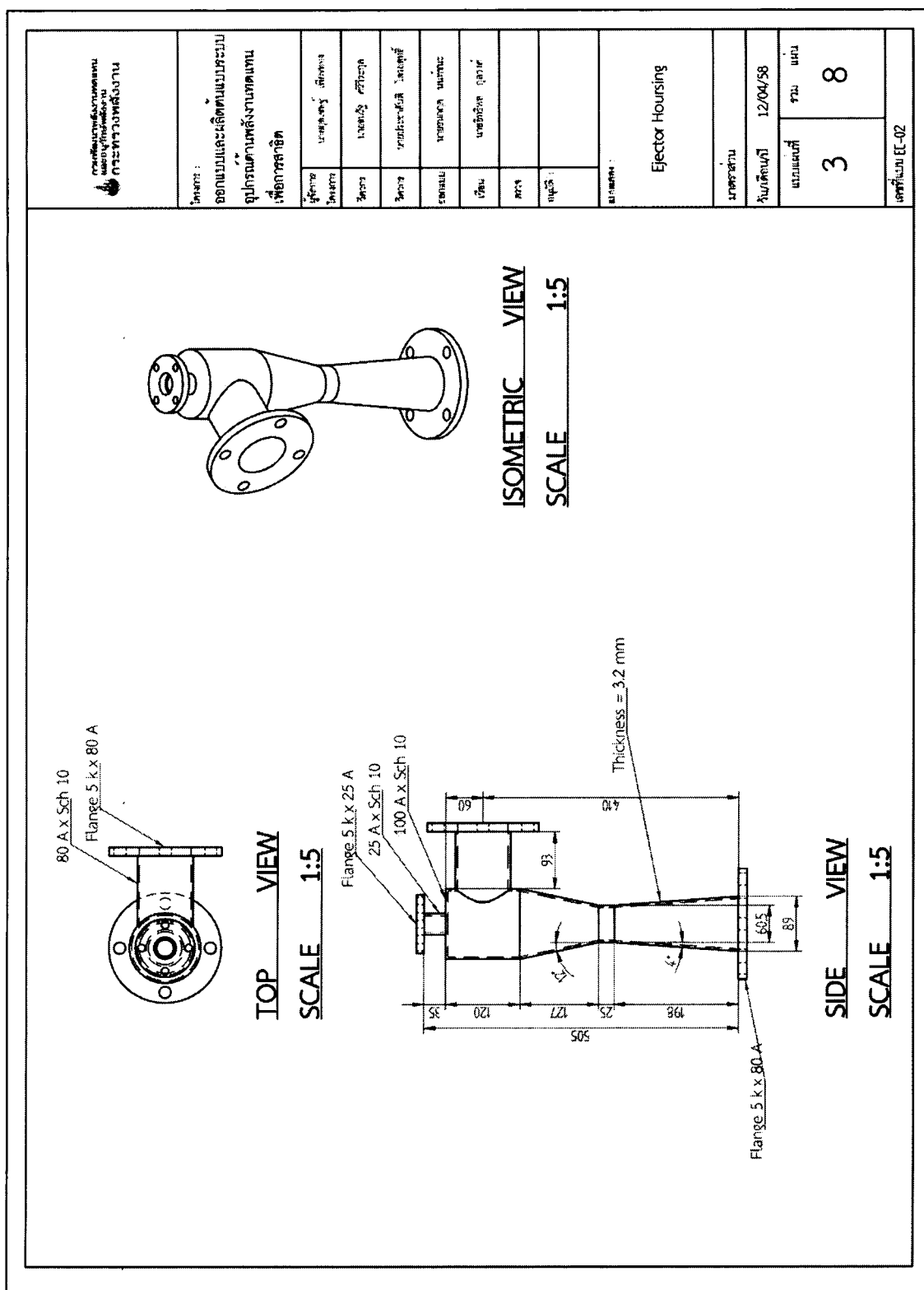
[7] JIS B 9910 (1977) . Method of Measuring Performance for Dust Collector, Japanese Standard Association

[8] US. EPA method 5 (Total Suspended Particulate). Determination of Particulate Emissions From Stationary Sources 371-442

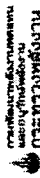
ภาคผนวก ข
แบบอุปกรณ์ตักผู้น

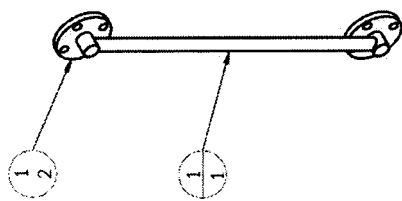
 ກະຊວງ: ຂອກນາມແລະ ດັບຕົກນາງການ ຄູ່ປະກາດນາງການທີ່ກະຊວງ ເພື່ອການຄ້າເຖິກ																																																																												
<p style="text-align: center;">ຮອດນາມແລະ ດັບຕົກນາງການທີ່ກະຊວງ</p> <p style="text-align: center;">ກະຊວງ</p>																																																																												
<table border="1"> <tr> <td>Item Number</td> <td>Document Number</td> <td>Title</td> <td>Material</td> <td>Quantity</td> </tr> <tr> <td>1</td> <td>EC-01</td> <td>Separator</td> <td>Steel</td> <td>1</td> </tr> <tr> <td>2</td> <td>EC-02</td> <td>Ejector Housing</td> <td>Steel</td> <td>1</td> </tr> <tr> <td>3</td> <td>EC-03</td> <td>Support Nozzle</td> <td>Steel</td> <td>1</td> </tr> <tr> <td>4</td> <td>EC-04</td> <td>Level Set</td> <td>Steel</td> <td>1</td> </tr> <tr> <td>5</td> <td>EC-05</td> <td>Blind Flange</td> <td>Steel</td> <td>1</td> </tr> <tr> <td>6</td> <td></td> <td>M16 x 50 BOLT</td> <td>Steel</td> <td>12</td> </tr> <tr> <td>7</td> <td></td> <td>M16 WASHER</td> <td>Steel</td> <td>12</td> </tr> <tr> <td>8</td> <td></td> <td>NUT M16</td> <td>Steel</td> <td>12</td> </tr> <tr> <td>9</td> <td></td> <td>M10 x 50 BOLT</td> <td>Steel</td> <td>8</td> </tr> <tr> <td>10</td> <td></td> <td>M10 WASHER</td> <td>Steel</td> <td>8</td> </tr> <tr> <td>11</td> <td></td> <td>NUT M10</td> <td>Steel</td> <td>8</td> </tr> <tr> <td>12</td> <td></td> <td>Gasket D150</td> <td></td> <td>1</td> </tr> <tr> <td>13</td> <td></td> <td>Gasket D80</td> <td></td> <td>1</td> </tr> <tr> <td>14</td> <td></td> <td>Gasket D15</td> <td></td> <td>2</td> </tr> </table>		Item Number	Document Number	Title	Material	Quantity	1	EC-01	Separator	Steel	1	2	EC-02	Ejector Housing	Steel	1	3	EC-03	Support Nozzle	Steel	1	4	EC-04	Level Set	Steel	1	5	EC-05	Blind Flange	Steel	1	6		M16 x 50 BOLT	Steel	12	7		M16 WASHER	Steel	12	8		NUT M16	Steel	12	9		M10 x 50 BOLT	Steel	8	10		M10 WASHER	Steel	8	11		NUT M10	Steel	8	12		Gasket D150		1	13		Gasket D80		1	14		Gasket D15		2
Item Number	Document Number	Title	Material	Quantity																																																																								
1	EC-01	Separator	Steel	1																																																																								
2	EC-02	Ejector Housing	Steel	1																																																																								
3	EC-03	Support Nozzle	Steel	1																																																																								
4	EC-04	Level Set	Steel	1																																																																								
5	EC-05	Blind Flange	Steel	1																																																																								
6		M16 x 50 BOLT	Steel	12																																																																								
7		M16 WASHER	Steel	12																																																																								
8		NUT M16	Steel	12																																																																								
9		M10 x 50 BOLT	Steel	8																																																																								
10		M10 WASHER	Steel	8																																																																								
11		NUT M10	Steel	8																																																																								
12		Gasket D150		1																																																																								
13		Gasket D80		1																																																																								
14		Gasket D15		2																																																																								
<p style="text-align: right;">ໃຫຍ່: 000004</p> <p style="text-align: right;">ມະນາຄາ: 1</p> <p style="text-align: right;">ວັນທີຮັບ: 12/04/58</p> <p style="text-align: right;">ວັນທີເລີ່ມ: 12/04/58</p> <p style="text-align: right;">ລາຍການເນັດ: 1</p> <p style="text-align: right;">ລາຍການເລີ່ມ: 8</p> <p style="text-align: right;">ເລີ່ມຕົ້ນ: EC-00</p>																																																																												

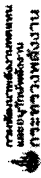


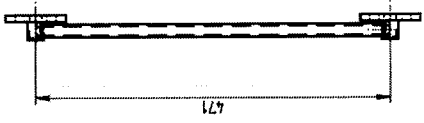


<p>กองบัญชาการกองทัพไทย กองบัญชาการกองทัพอากาศ</p>																			
<p>หมายเหตุ : อุปกรณ์นี้ประกอบด้วยตัวยึดแม่เหล็ก ถูกป่างานเดินเพลสลงบนหินเดิน เพื่อการซ่อมแซม</p>																			
<table border="1"> <tr> <td>ชื่อเรียก</td> <td>เครื่องยึดแม่เหล็ก</td> </tr> <tr> <td>วัสดุ</td> <td>เหล็ก</td> </tr> <tr> <td>ขนาด</td> <td>มาตรฐาน</td> </tr> <tr> <td>จำนวน</td> <td>1 ชุด</td> </tr> <tr> <td>น้ำหนัก</td> <td>ประมาณ 2 กิโลกรัม</td> </tr> <tr> <td>ขนาด</td> <td>กว้าง 150 มิลลิเมตร</td> </tr> <tr> <td>น้ำหนัก</td> <td>ประมาณ 2 กิโลกรัม</td> </tr> <tr> <td>วัสดุ</td> <td>เหล็ก</td> </tr> <tr> <td>หมายเหตุ</td> <td></td> </tr> </table>		ชื่อเรียก	เครื่องยึดแม่เหล็ก	วัสดุ	เหล็ก	ขนาด	มาตรฐาน	จำนวน	1 ชุด	น้ำหนัก	ประมาณ 2 กิโลกรัม	ขนาด	กว้าง 150 มิลลิเมตร	น้ำหนัก	ประมาณ 2 กิโลกรัม	วัสดุ	เหล็ก	หมายเหตุ	
ชื่อเรียก	เครื่องยึดแม่เหล็ก																		
วัสดุ	เหล็ก																		
ขนาด	มาตรฐาน																		
จำนวน	1 ชุด																		
น้ำหนัก	ประมาณ 2 กิโลกรัม																		
ขนาด	กว้าง 150 มิลลิเมตร																		
น้ำหนัก	ประมาณ 2 กิโลกรัม																		
วัสดุ	เหล็ก																		
หมายเหตุ																			
<p>ISOMETRIC VIEW</p> <p>SCALE 1:2</p>																			
<p>SECTION B-B</p> <p>M12 x 1.5 kg</p> <p>Flange 5 k x 25 A</p>																			
<p>SIDE VIEW</p> <p>SCALE 1:2</p> <p>52</p> <p>25</p>																			
<p>Support Nozzle</p>																			
<table border="1"> <tr> <td>หมายเหตุ</td> <td></td> </tr> <tr> <td>วันที่เขียน</td> <td>12/04/58</td> </tr> <tr> <td>ผู้ออกแบบ</td> <td>รานะ บุญเจต</td> </tr> <tr> <td>ผู้ตรวจสอบ</td> <td>รานะ บุญเจต</td> </tr> <tr> <td>ผู้รับ</td> <td>4</td> </tr> <tr> <td>ผู้รับ</td> <td>8</td> </tr> <tr> <td>หมายเหตุ</td> <td></td> </tr> </table>		หมายเหตุ		วันที่เขียน	12/04/58	ผู้ออกแบบ	รานะ บุญเจต	ผู้ตรวจสอบ	รานะ บุญเจต	ผู้รับ	4	ผู้รับ	8	หมายเหตุ					
หมายเหตุ																			
วันที่เขียน	12/04/58																		
ผู้ออกแบบ	รานะ บุญเจต																		
ผู้ตรวจสอบ	รานะ บุญเจต																		
ผู้รับ	4																		
ผู้รับ	8																		
หมายเหตุ																			

 <p>สถาบันเทคโนโลยีราชมงคลกรุงเทพ กรุงเทพฯ วิศวกรรมศาสตร์</p>																
<p>ห้องน้ำ : ห้องน้ำและดูดซับน้ำฝน ที่จัดทำตามที่ต้องการ เพื่อการใช้ชีวิต</p>																
<table border="1"> <tr> <td>ผู้ผลิต</td> <td>บริษัทฯ บริษัทฯ</td> </tr> <tr> <td>ผู้ขาย</td> <td>บริษัทฯ บริษัทฯ</td> </tr> <tr> <td>วิธีการ</td> <td>บริษัทฯ บริษัทฯ</td> </tr> <tr> <td>วัสดุ</td> <td>บริษัทฯ บริษัทฯ</td> </tr> <tr> <td>ขนาด</td> <td>บริษัทฯ บริษัทฯ</td> </tr> <tr> <td>จำนวน</td> <td>บริษัทฯ บริษัทฯ</td> </tr> <tr> <td>หมายเหตุ</td> <td>บริษัทฯ บริษัทฯ</td> </tr> </table>		ผู้ผลิต	บริษัทฯ บริษัทฯ	ผู้ขาย	บริษัทฯ บริษัทฯ	วิธีการ	บริษัทฯ บริษัทฯ	วัสดุ	บริษัทฯ บริษัทฯ	ขนาด	บริษัทฯ บริษัทฯ	จำนวน	บริษัทฯ บริษัทฯ	หมายเหตุ	บริษัทฯ บริษัทฯ	
ผู้ผลิต	บริษัทฯ บริษัทฯ															
ผู้ขาย	บริษัทฯ บริษัทฯ															
วิธีการ	บริษัทฯ บริษัทฯ															
วัสดุ	บริษัทฯ บริษัทฯ															
ขนาด	บริษัทฯ บริษัทฯ															
จำนวน	บริษัทฯ บริษัทฯ															
หมายเหตุ	บริษัทฯ บริษัทฯ															
<p>รายการสินค้า :</p> <table border="1"> <thead> <tr> <th>Item Number</th> <th>Document Number</th> <th>Title</th> <th>Material</th> <th>Quantity</th> </tr> </thead> <tbody> <tr> <td>1</td> <td>EC-04 (1)</td> <td>Support Level</td> <td>Steel</td> <td>2</td> </tr> <tr> <td>2</td> <td>EC-04 (2)</td> <td>ชุดยึด</td> <td></td> <td>1</td> </tr> </tbody> </table>		Item Number	Document Number	Title	Material	Quantity	1	EC-04 (1)	Support Level	Steel	2	2	EC-04 (2)	ชุดยึด		1
Item Number	Document Number	Title	Material	Quantity												
1	EC-04 (1)	Support Level	Steel	2												
2	EC-04 (2)	ชุดยึด		1												
<p>Level Set</p> <table border="1"> <tr> <td>รายการสินค้า</td> <td>จำนวน</td> </tr> <tr> <td>EC-04 (1)</td> <td>12/04/58</td> </tr> <tr> <td>EC-04 (2)</td> <td>5 ชุด</td> </tr> <tr> <td></td> <td>8 ชุด</td> </tr> </table>		รายการสินค้า	จำนวน	EC-04 (1)	12/04/58	EC-04 (2)	5 ชุด		8 ชุด							
รายการสินค้า	จำนวน															
EC-04 (1)	12/04/58															
EC-04 (2)	5 ชุด															
	8 ชุด															
<p>หมายเหตุ : EF-04</p>																

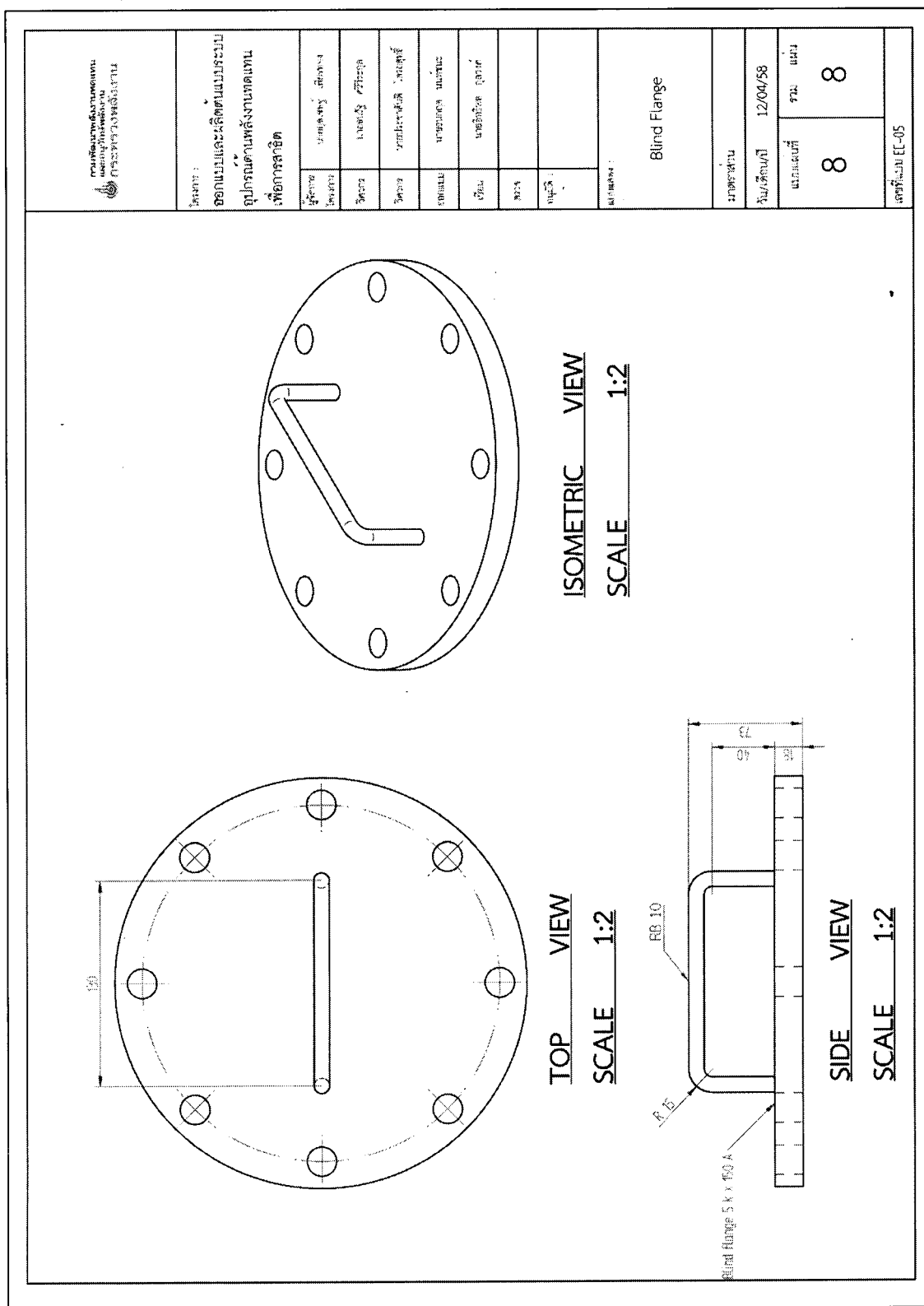


 <p>กองทัพเรือ ราชอาณาจักรไทย</p>	
<p>โครงการ : ออกแบบและผลิตเดินทางรบ ศูนย์รวมความรู้ของงานด้านการ เพื่อการซ่อมตัว</p>	
ผู้ออกแบบ	นายวิวัฒน์ ภู่ว่องไว
ผู้ตรวจสอบ	นายวิวัฒน์ ภู่ว่องไว
ผู้ตรวจ	นายวิวัฒน์ ภู่ว่องไว
วันที่ออกแบบ	10/04/58
วันที่ตรวจ	10/04/58
ผู้ตรวจ	
<p>ผู้ตรวจ : นายวิวัฒน์ ภู่ว่องไว</p>	
<p>Level</p>	
มาตรฐาน	มาตรฐาน
วันที่เขียน	12/04/58
ผู้ออกแบบ	7 คม
ผู้ตรวจ	8 คม
<p>เจรจาโดย : เจรจาโดย</p>	

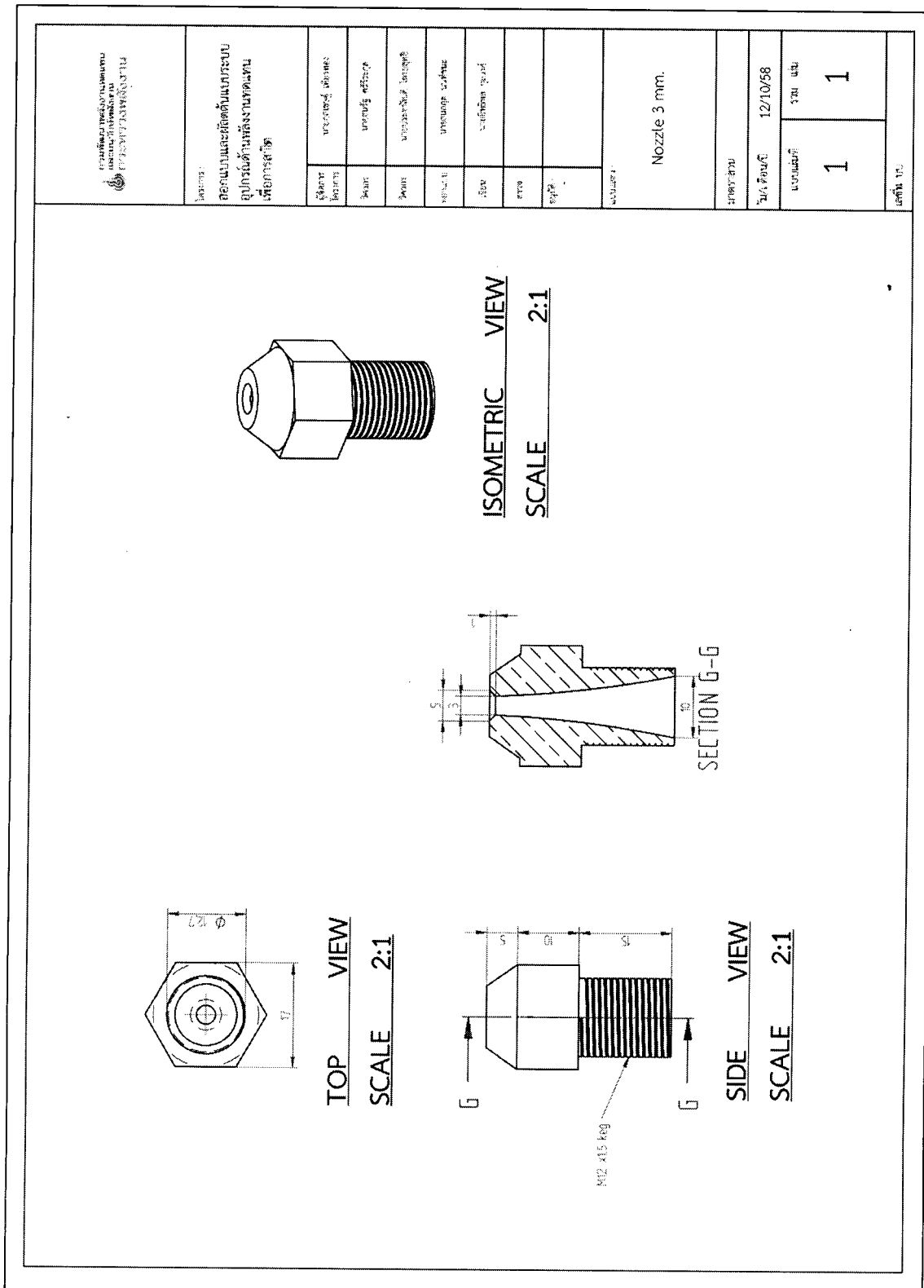


SIDE VIEW
SCALE 1:5

<p>ม.ช. สำนักงานคณะกรรมการการศึกษาและวิชาชีพ สำนักงานคณะกรรมการการศึกษาและวิชาชีพ</p>																	
<p>ห้องแม่: ห้องแม่ของเครื่องจักรกลเบอร์ ๗ ถูกออกแบบตามหลักทางเทคนิค เพื่อการใช้งานจริง</p>																	
<table border="1"> <tr> <td>ผู้ออกแบบ</td> <td>นายสมชาย ภู่ว่องไว</td> </tr> <tr> <td>ผู้校正</td> <td>นายวิวัฒน์ พัฒนาวงศ์</td> </tr> <tr> <td>ผู้ตรวจสอบ</td> <td>นายวิวัฒน์ พัฒนาวงศ์</td> </tr> <tr> <td>ผู้อนุมัติ</td> <td>นายวิวัฒน์ พัฒนาวงศ์</td> </tr> <tr> <td>วันที่ออกแบบ</td> <td>๑๘๐๔๒๕</td> </tr> <tr> <td>วันที่校正</td> <td>๑๘๐๔๒๕</td> </tr> <tr> <td>วันที่ตรวจสอบ</td> <td>๑๘๐๔๒๕</td> </tr> <tr> <td>วันที่อนุมัติ</td> <td>๑๘๐๔๒๕</td> </tr> </table>		ผู้ออกแบบ	นายสมชาย ภู่ว่องไว	ผู้校正	นายวิวัฒน์ พัฒนาวงศ์	ผู้ตรวจสอบ	นายวิวัฒน์ พัฒนาวงศ์	ผู้อนุมัติ	นายวิวัฒน์ พัฒนาวงศ์	วันที่ออกแบบ	๑๘๐๔๒๕	วันที่校正	๑๘๐๔๒๕	วันที่ตรวจสอบ	๑๘๐๔๒๕	วันที่อนุมัติ	๑๘๐๔๒๕
ผู้ออกแบบ	นายสมชาย ภู่ว่องไว																
ผู้校正	นายวิวัฒน์ พัฒนาวงศ์																
ผู้ตรวจสอบ	นายวิวัฒน์ พัฒนาวงศ์																
ผู้อนุมัติ	นายวิวัฒน์ พัฒนาวงศ์																
วันที่ออกแบบ	๑๘๐๔๒๕																
วันที่校正	๑๘๐๔๒๕																
วันที่ตรวจสอบ	๑๘๐๔๒๕																
วันที่อนุมัติ	๑๘๐๔๒๕																
<p>หมายเหตุ: ไม่มีรายละเอียดในหน้าที่</p>																	
<p>TOP VIEW SCALE 1:1</p>																	
<p>ISOMETRIC VIEW SCALE 1:1</p>																	
<p>SIDE VIEW SCALE 1:1</p>																	
<table border="1"> <tr> <td>หมายเลขร่าง</td> <td>๗</td> <td>๘</td> </tr> <tr> <td>วันที่ร่าง</td> <td>๑๘/๔/๒๕</td> <td>๑๙/๔/๒๕</td> </tr> <tr> <td>หมายเหตุ</td> <td colspan="2">แบบร่าง EC-04 (II)</td> </tr> </table>		หมายเลขร่าง	๗	๘	วันที่ร่าง	๑๘/๔/๒๕	๑๙/๔/๒๕	หมายเหตุ	แบบร่าง EC-04 (II)								
หมายเลขร่าง	๗	๘															
วันที่ร่าง	๑๘/๔/๒๕	๑๙/๔/๒๕															
หมายเหตุ	แบบร่าง EC-04 (II)																



ภาคผนวก ค
แบบหัวฉีดอุปกรณ์ตักผู้นชนิดอี้เจ็คเทอร์



ประวัติผู้วิจัย

ชื่อ	นายอิทธิพล กุลวงศ์
ประวัติการศึกษา	มหาวิทยาลัยเทคโนโลยีพระจอมเกล้าพระนครเหนือ พ.ศ. 2550 - 2552 อุตสาหกรรมศาสตรบัณฑิต (เทคโนโลยีเครื่องกล) ทุนสนับสนุนงานวิจัย ภาควิชาศิวกรรมเครื่องกล คณะศิวกรรมศาสตร์ มหาวิทยาลัยอุบลราชธานี
ประวัติการวิจัย	พ.ศ. 2552 – 2554 ตำแหน่งวิศวกร บริษัท อินโนแวลูส์ พريซิชั่น (ประเทศไทย) จำกัด นิคมอุตสาหกรรมไชยเดช ตำบลบ้านเลน อำเภอบางปะอิน จังหวัดพระนครศรีอยุธยา
ประวัติการทำงาน	พ.ศ. 2554 – 2555 ตำแหน่งเจ้าหน้าที่ด้านข้อมูล บริษัท ไอ.เอ็น.เอ็น. เรดิโอ จำกัด อำเภอวารินชำราบ จังหวัดอุบลราชธานี
ตำแหน่ง	พ.ศ. 2556 – ปัจจุบัน วิศวกรโครงการ
สถานที่ทำงานปัจจุบัน	ศูนย์วิจัยและบริการด้านพลังงาน ภาควิชาศิวกรรมเครื่องกล คณะศิวกรรมศาสตร์ มหาวิทยาลัยอุบลราชธานี

